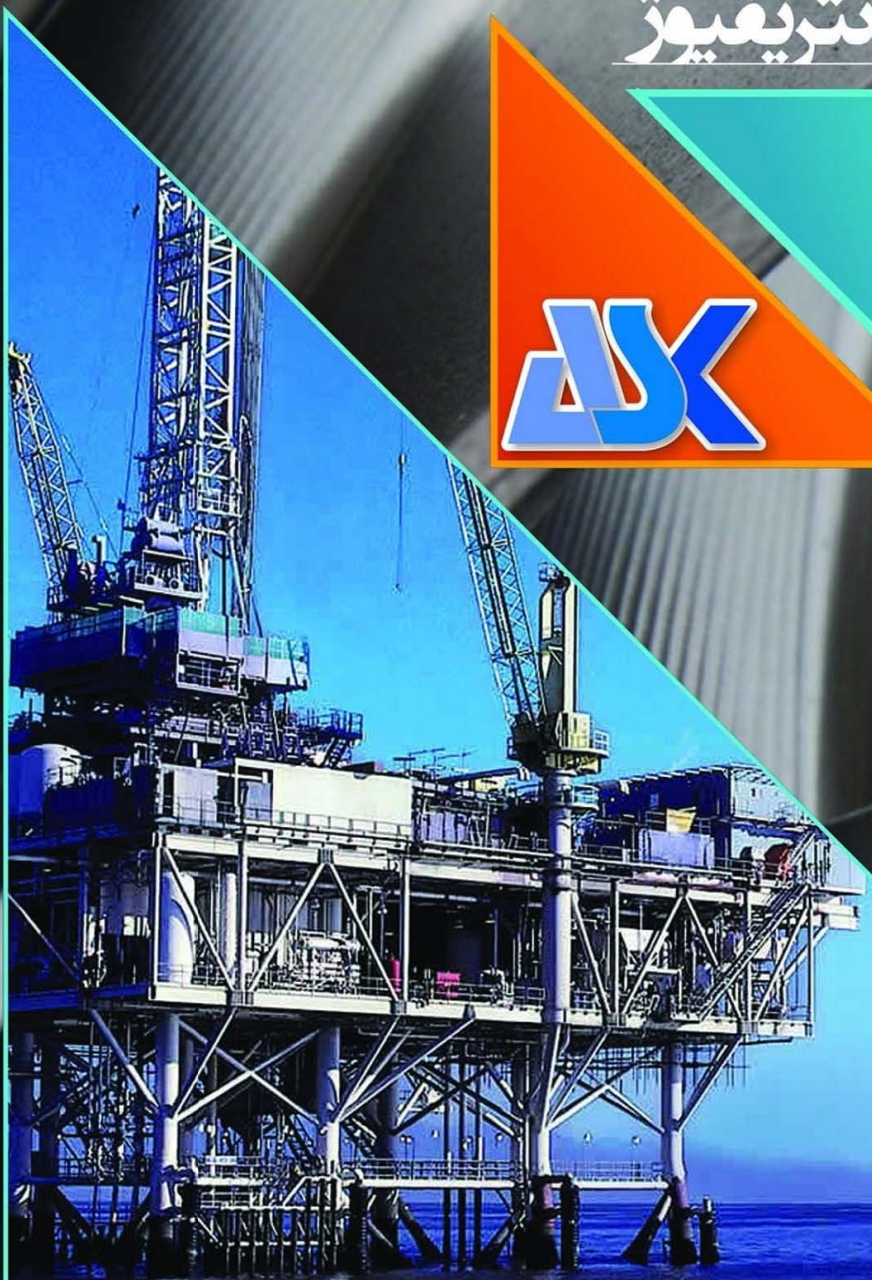




## پیمای سانتریفیوژ



نشریه تحقیق و توسعه شرکت آریا سپهر کیهان  
شماره ۱ سال ۲ زمستان ۹۲ اصفهان

## نشریه

# پمپ های سانتریفیوژ

نشریه تخصصی

سال سوم / شماره هشتم / زمستان ۱۳۹۲ / ۱۰۱ صفحه

۲ کسر مقاله

۳ هزینه‌ی تمام عمر پمپ (LCC)

۱۹ نکاتی پیرامون طراحی حلزونی

۳۷ نحوه صحیح جوشکاری و تست فولاد ریخته گری بر اساس استاندارد ASTM-A488

۵۹ مقدمه‌ای بر سیستم‌های اندازه‌گیری

۷۴ عملکرد پمپ سانتریفیوژ طی پمپاژ سیال لرج

۸۳ برخی مفاهیم بنیادی مکانیک

۸۹ مقدمه‌ای بر طراحی دیفیوzer

نشانی: تهران، میدان آرژانتین، خیابان الوند، کوچه برمک، پلاک ۴، طبقه دوم

تلفن: +۰۲۱-۸۸۸۱۳۴۶۴ فکس: +۰۲۱-۸۸۸۱۳۴۶۱

صاحب امتیاز: شرکت آریا سپهر کیهان

مدیر مسئول: آقای مهندس رسول پایدار نوبخت

سردبیر: آقای مهندس اردلان ملکی

## سرمقاله

بهاری دیگر آمده است

آری

اما بر آن زمستان ها که گذشت

نامی نیست ... نامی نیست

نشریه‌ی شماره‌ی ۸ پمپ‌های سانتریفیوژ که منتخبی از مقالات نگارش شده در زمستان ۹۲ است در آخرین روزهای سال منتشر شد. به بهانه‌ی پایان زمستان و فرا رسیدن بهار در ابتدا چند مصروعی از استاد احمد شاملو تقدیم گشت.

مانند شمارات پیشین، در این شماره نیز مقالات مرتبط با صنعت پمپ سازی ارائه شده است که در این بین بعضی از مقالات فوق تخصصی و برخی دیگر عمومی‌تر است. در این شماره تلاش شده است که برای هر مخاطبی مقاله‌ای نگارش یابد.

برای مخاطبین تخصصی تر از میان مقالات این شماره، دو مقاله با عنوان‌ی «نکاتی پیرامون طراحی حلزونی» و «مقدمه‌ای بر طراحی دیفیوژ» ارائه شده است که در واقع مکملی بر مقاله‌ای با عنوان «الگوریتم‌های طراحی پره»، منتشر شده در شماره‌ی ۷ همین نشریه، می‌باشد. با انتشار این دو مقاله فرآیند طراحی هیدرولیکی پمپ‌های سانتریفیوژ به میزان قابل قبولی شرح داده شده است.

از خوانندگان گرامی تقاضا دارم در صورت وجود هرگونه انتقاد یا پیشنهاد از طریق پست الکترونیکی با اینجانب در واحد تحقیق و توسعه در تماس باشند. در پایان لازم می‌دانم از حمایت‌های بی دریغ جناب آقای مهندس پایدار نوبخت، مدیر مسئول محترم این نشریه نهایت تشکر و قدردانی را داشته باشم.

و من الله توفيق

اردلان ملکی

مدیر واحد تحقیق و توسعه

## هزینه‌ی تمام عمر پمپ (LCC)

### ۱- مقدمه

#### ۱-۱- بررسی هزینه‌ی تمام عمر پمپ‌های صنعتی

صرف کنندگان و تولید کنندگان پمپ‌های صنعتی همواره اصرار به کاهش هزینه‌های تمام عمر (LCC<sup>۱</sup>) پمپ‌های صنعتی داشته و دارند. اگر سازمانی دارای بخش تدارکات حرفه‌ای و با دانشی باشد، هیچگاه به دنبال خرید پمپی با هزینه‌ی اولیه‌ی خرید و نصب پایینی نخواهد بود. بلکه در پی محاسبه‌ی هزینه‌ی تمام عمر (LCC) آن پمپ که حدوداً ۵ برابر هزینه‌ی اولیه‌ی خرید و نصب و راه اندازی آن است، خواهد بود.

هدف اصلی بررسی صورت گرفته در این مقاله مینیموم کردن هزینه‌ی تمام عمر (LCC) و ایجاد مصالحه بین اجزای آن خواهد بود. به عبارت دیگر، این مقاله به سوال زیر پاسخ خواهد گفت:

«صرفه جویی در هزینه‌ی اولیه‌ی خرید یک پمپ صنعتی با ارزش‌تر است یا صرفه جویی در هزینه‌های بعد از خرید آن (مثلاً هزینه‌ی نگهداری، تامین انرژی، بیکاری و ... )؟!»

#### ۱-۲- هزینه‌ی تمام عمر (LCC)

هزینه‌ی تمام عمر (LCC) به مجموعه هزینه‌های اطلاق می‌شود که از لحظه‌ی تدارک پمپ مورد نظر تا برچیدن و اتمام ماموریت آن به مالک تحمیل می‌شود. این پارامتر همچنین ابزار مفیدی برای مدیر واحد صنعتی است تا تشخیص دهد پمپ مورد نظر را تعمیر کند یا پمپ جدیدی جایگزین آن کند.

اگر فرض شود عمر مفید یک پمپ صنعتی ۲۰ سال است، جدول ۱ هزینه‌های محقق شده در این ۲۰ سال را مورد تجزیه و تحلیل قرار می‌دهد. از میان ۸ بخش هزینه‌های طول عمر، تنها دو بخش تعمیر و نگهداری و انرژی منجر به حدود نیمی از هزینه‌ها می‌شوند. این بخش‌ها را می‌توان بنا بر کنترل خریدار بر هزینه‌ها در سه بخش قرار داد:

۱. کنترل کم شامل هزینه‌های محیطی و اتمام ماموریت
۲. کنترل متوسط شامل هزینه‌های اولیه، عملکردی و نصب و راه اندازی
۳. کنترل زیاد شامل هزینه‌های بیکاری، تعمیر و نگهداری و انرژی

اغلب خریداران پمپ هزینه‌های اولیه‌ی خرید را فاکتور اصلی می‌دانند در صورتی که این هزینه تنها ۱۰ درصد از تمامی هزینه‌هایی است که پمپ مورد نظر برای آنها در پی دارد. به نظر می‌رسد بهترین راه یافتن یک نقطه‌ی مصالحة بین هزینه‌های اولیه

<sup>۱</sup> Life Cycle Cost

خرید و سایر هزینه هاست. به این ترتیب می توان با صرف کمی هزینه‌ی بیشتر هنگام خرید، هزینه‌های ناخواسته و غیر قابل پیش‌بینی را در طول عمر پمپ را کاهش داد.

شایان ذکر است که مدیریت بعضی از هزینه‌ها مانند هزینه‌های محیطی، اتمام ماموریت یا نصب و راه اندازی از عهده‌ی خریدار خارج است و به همین دلیل بیشترین کنترل هزینه روی بخش‌های نگهداری، انرژی و بیکاری (که بیشترین پتانسیل صرفه‌جویی در هزینه‌ها را دارند) انجام خواهد شد.

## ۲- مدل WIMEC برای محاسبه‌ی LCC پمپ‌های سانتریفیوژ

مدل WIMEC توسط کمپانی Waters برای محاسبه‌ی LCC پمپ‌های مختلف سانتریفیوژ تولید شده توسط کمپانی‌های مختلف ارائه شده است. همانطور که پیشتر بیان شد، LCC یک پمپ سانتریفیوژ از اجزای زیادی تشکیل شده است که این مدل همگی آنها را در بر نمی‌گیرد. دلیل عدم در نظر گرفتن مواردی همچون نصب، زمان بیکاری و اتمام ماموریت در این مدل، تشابه مقدار آنها در پمپ‌های با کاربرد مشابه تولید شده توسط کمپانی‌های مختلف است. به همین دلیل این مقادیر کمکی به درک تفاوت پمپ‌های مختلف نمی‌کند.

بنابراین موارد تاثیرگذار در این مدل عبارتند از:

۱. هزینه‌های اولیه (هزینه‌ی خرید پمپ)
۲. هزینه‌ی انرژی
۳. هزینه‌های نگهداری (برنامه ریزی شده و بی برنامه)

این مدل همچنین مقدار کربن را بر حسب الکتریسیته‌ی مصرفی و کربن درج شده توسط سازنده محاسبه می‌کند. هزینه‌های کربن به صورت جدا از هزینه‌های LCC محاسبه و ارائه می‌شود.

این مدل در یک فایل با پسوند **xlS** (فایل اکسل) نوشته شده است که فضای آن مشابه شکل ۳ است. جلوی بعضی از خانه‌ها حرف **P** و جلوی بعضی حرف **S** نوشته شده است. **P** یعنی توسط خریدار پر شود و **S** یعنی فروشنده اطلاعات را تکمیل نماید.

در قسمت **asset life** عمر مورد انتظار خریدار بر حسب سال درج می‌شود.

در قسمت **operation** خریدار اطلاعات پمپ درخواستی خود را درج می‌کند. این اطلاعات شامل دبی، هد و میزان کارکرد می‌شود. در همین قسمت فروشنده بازده پمپ و بازده الکتروموتور را وارد می‌کند. با وارد کردن این اطلاعات، سایر بخش‌ها از جمله توان، ساعت کارکرد و ... به صورت خودکار محاسبه می‌شود.

در قسمت **pump unit details** تولید کننده‌ی پمپ (فروشنده) باید اطلاعات پمپ پیشنهادی خود را وارد کند. این اطلاعات به خریدار کمک می‌کند که نزدیکی مشخصات پمپ به عملکرد دلخواه خود را بستجد. اگر پمپ در بازه‌ی ۸۰٪ تا ۱۰۵٪ بهترین نقطه‌ی عملکرد خود، مشخصات مورد نیاز خریدار را داشته باشد، ردیف دبی مورد نیاز خریدار در قسمت **operation** سبز خواهد شد. در غیر این صورت، ردیف دبی به رنگ قرمز در خواهد آمد.

جدول ۱

LCC	محیط	استهلاک ناشی از افت های ناشی از	7%
		بارهای ناشی از عملکرد خشن (بیش از حد مجاز)	
	اتمام ماموریت	از هم باز کردن اجزا	4%
		اتمام ماموریت	
	هزینه های عملکرد	کارگر نفر- ساعت	9%
		توقف تولید	
	انرژی	صرف سالانه ی انرژی ضرب در قیمت انرژی ضرب در طول عمر پمپ	32%
		انرژی مصرف شده توسط ادوات جانبی پمپ مانند کنترلر های سیستم	
	تعمیر و نگهداری	شارژ سالانه ی نگهداری ضرب در طول عمر پمپ	20%
		قطعات یدکی	
		ابزارها	
		کارگر نفر- ساعت	
	نصب و راه اندازی	کارگر	9%
		برقکاری و سیم کشی	
		آموختش	
	هزینه های اولیه	خرید	10%
		مهندسی	
		تست	
		بازرسی	

در قسمت LCC assessment خریدار تخفیف مورد نظر خود را درج می کند و تولید کننده جمع لیست قیمت اولیه ی کلیه خدمات را ارائه می کند. در بخش دیگر این قسمت باید اطلاعات مربوط به هزینه های انرژی توسط خریدار درج شود. برای خریدار در ایران، قیمت الکتروسیستمهای صنعتی به صورت میانگین ۴۵۵ ریال بر کیلووات ساعت است که معادل ۰/۰۱ پوند بر کیلووات ساعت

<sup>2</sup> Downtime

می باشد. با درج این اطلاعات، میزان و هزینه‌ی انرژی در طول عمر پمپ به صورت خودکار محاسبه می‌شود. شایان ذکر است که مقادیر به دست آمده با این فرض محاسبه شده اند که با گذشت زمان بازده پمپ ثابت می‌ماند.

اما در واقع با گذشت زمان بازده پمپ کاهش می‌یابد. به همین دلیل در قسمت drop-off in efficiency فروشنده باید درصدی را به عنوان مقدار کاهش بازده به ازای هر ۱۰۰۰ ساعت کارکرد وارد کند. با وارد کردن این مقدار، محاسبات مربوط به مقدار واقعی میزان و هزینه‌ی انرژی و مقدار کاهش بازده در طول عمر پمپ محاسبه می‌شود.

در بسیاری از موقوع، تولید کننده (فروشنده) پمپ میزان ساعتی را تعیین می‌کند که پس از آن جهت بهبود بازده، پمپ از مدار خارج و دی مونتاژ و تعمیر می‌شود. در این صورت، فروشنده باید در ردیف pump unit overhaul interval میزان ساعت دوره‌ی تعمیر را وارد کند. با وارد کردن این مقدار، مقادیر نهایی مربوط به انرژی و هزینه‌های آن به صورت خودکار محاسبه می‌شود.

فروشنده در قسمت Labor cost دستمزد یک ساعت کار نیروی تعمیرکار خود را در واحد پوند درج می‌کند. در سه بخش متوالی هزینه‌های تعمیر لیست می‌شود. در بخش اول هزینه‌های مربوط به تعمیرات برنامه‌ریزی شده‌ی بعد از ساعت کارکرد به خصوص، در بخش دوم هزینه‌های مربوط به تعمیرات برنامه‌ریزی شده‌ی هر چند ماه یک بار و در بخش سوم هزینه‌های مربوط به تعمیرات بدون برنامه لیست شده است. هر کدام از این بخش‌ها از ستون‌هایی تشکیل شده‌اند که فروشنده باید نام تعمیر، دوره‌ی تکرار (فاصله‌ی تعمیرات)، مدت زمانی که تعمیر طول می‌کشد، تعداد نیروی کاری و هزینه‌ی متریال مورد استفاده را در آنها درج کند. بعد از درج این اطلاعات هزینه‌ی هر تعمیر به صورت جداگانه و در انتهای کل هزینه‌ی تعمیرات محاسبه می‌شود.

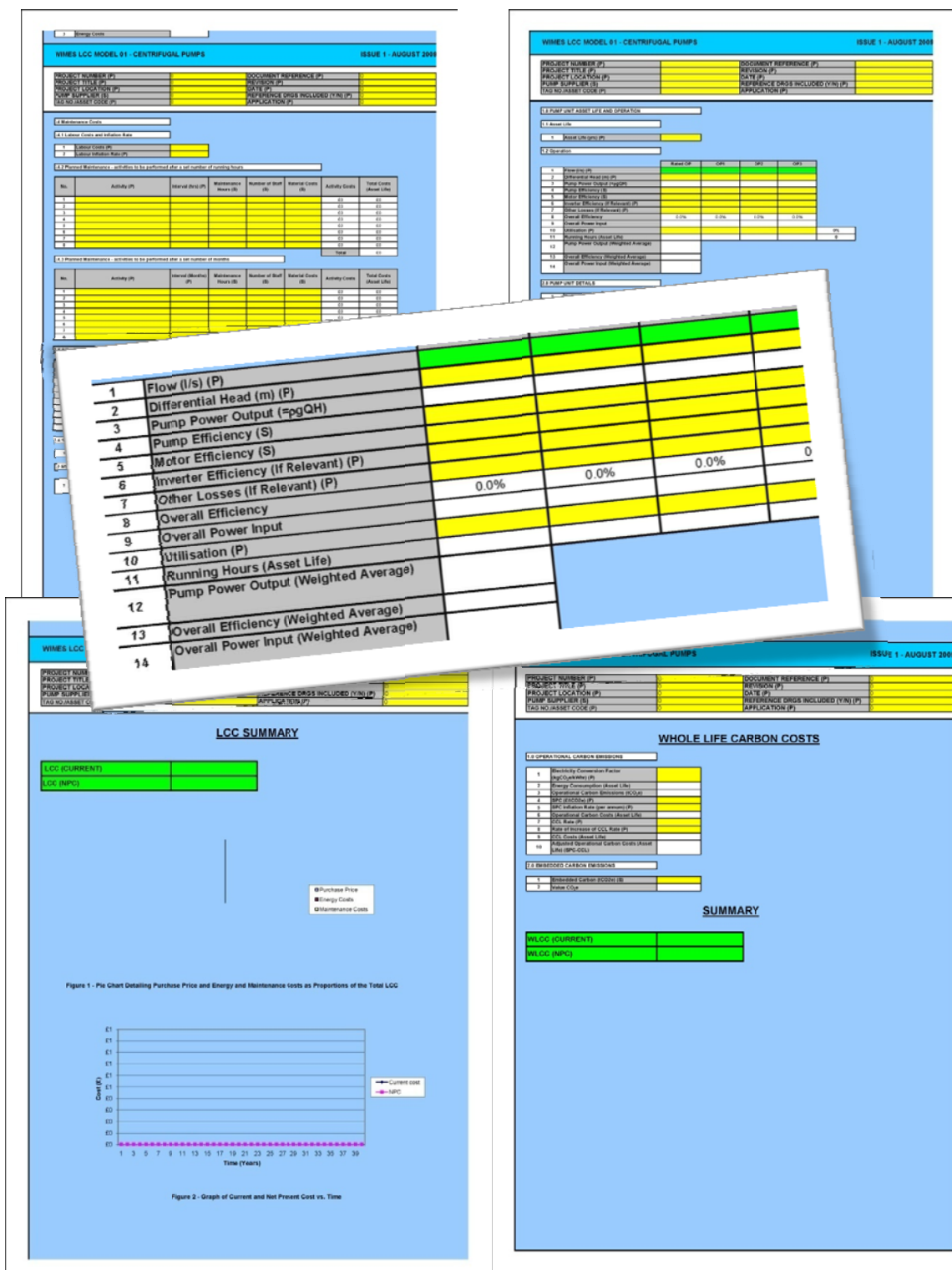
در آخرین قسمت سئوالی مطرح شده است که تولید کننده باید به آن با آری یا نه پاسخ دهد. اگر الکتروموتور مورد استفاده در زیر دسته‌ی EFF1 بود باید ۷ به نشانه‌ی آری قرار گیرد. و در غیر این صورت N به نشانه‌ی خیر.

پس طی مراحل فوق، دو نمودار و دو عدد توسط مدل به عنوان پاسخ نهایی ارائه می‌شود. دو عدد ارائه شده به شرح زیر است:

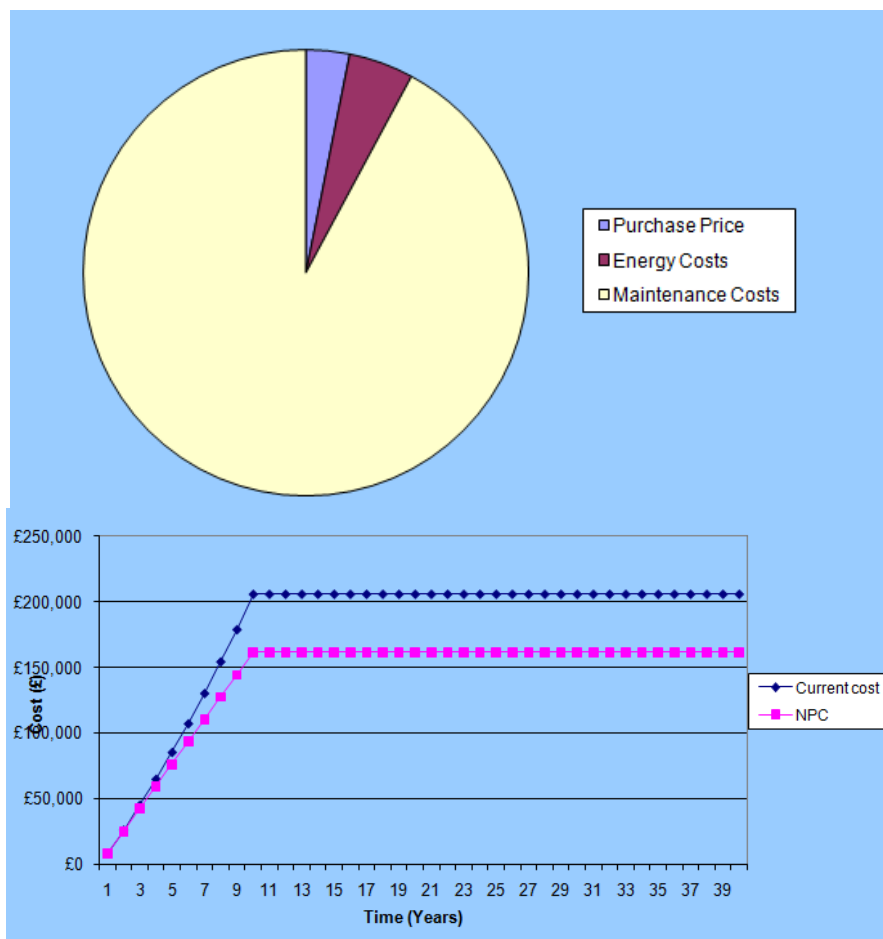
۱. LCC (Current) : بیانگر کل هزینه‌های در حال حاضر می‌باشد.
۲. LCC (NPC) : بیانگر کل هزینه‌های بعد از اعمال تخفیف می‌باشد.

نمودار دایره‌ای ارائه شده، سهم هر بخش را در هزینه‌های کل نشان می‌دهد. با توجه به این نمودار میزان سهم کم قیمت پمپ بیش از پیش جلوه می‌کند.

نمودار سال-هزینه‌ی ارائه شده نیز تفاوت هزینه‌های در سال‌های متمادی را نشان می‌دهد. نمونه‌هایی از این نمودارها در شکل ۴ ارائه شده است.



شكل ۳



شکل ۴

### ۳- روش های کاهش هزینه های نگهداری

معمولاً خریداران استراتژی نگهداری از پمپ را با توجه به نوع پمپ تعیین نمی کنند، بلکه روشهای را انتخاب کرده و در همه می شرایط و برای همه انواع پمپ از آن استفاده می کنند. به ترتیب سختگیرانه بودن، برای نگهداری پمپ<sup>۴</sup> استراتژی وجود دارد:

۱. استراتژی واکنشی<sup>۳</sup>
۲. استراتژی پیشگیری<sup>۴</sup>
۳. استراتژی پیشگویانه<sup>۵</sup>
۴. استراتژی پیش گستر<sup>۶</sup>

<sup>3</sup> Reactive

<sup>4</sup> Preventive

<sup>5</sup> Predictive

<sup>6</sup> Proactive

استراتژی واکنشی : طی این استراتژی، با توجه به مشکلاتی که در عملکرد و نگهداری پمپ به وجود می آید، تیمی برای تعمیر در نظر گرفته می شود.

استراتژی پیشگیرانه : طی این استراتژی، توسط پرسنل تست ها، بازرگانی ها، تعویض قطعات و تنظیمات جهت جلوگیری از اتفاق افتادن خطا در عملکرد پمپ انجام می شود.

استراتژی پیشگویانه : طی این استراتژی، شرایط قطعات و ابزارهای در حال کار از پیش مشخص می شود تا زمان نیاز به تعمیر و نگهداری آن قابل پیش بینی باشد. مهمترین پارامتر این استراتژی تخصیص زمان مناسب اصلاح سیستم جهت پرهیز از هر اتفاق غیر متوجه در آن است.

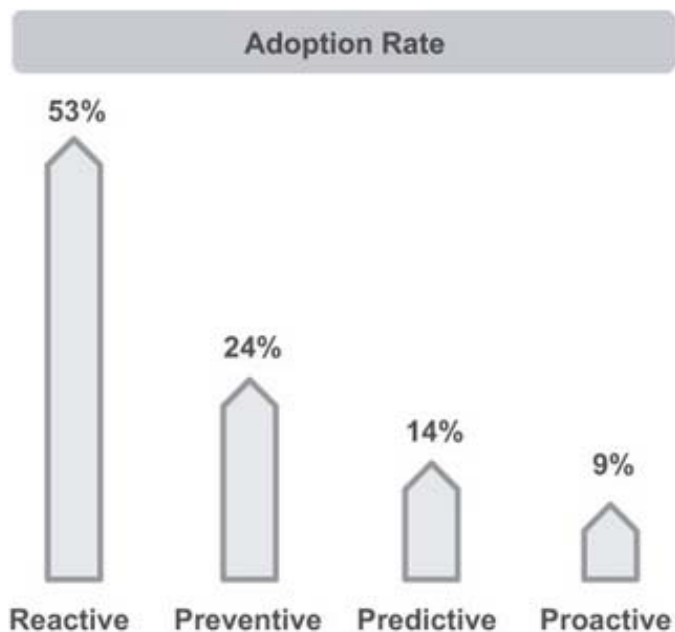
استراتژی پیش گسترنده : اعمال این استراتژی به معنای اعمال همزمان دو استراتژی پیشگیرانه و پیشگویانه است و طی آن زمان های مشخصی برای توقف تولید جهت تعمیر، بازرگانی و تست تخصیص داده می شود.

شکل ۵ نمودار گزارش شده توسط کارشناسان صنعتی پیرامون میزان پذیرش هر کدام از این استراتژی ها می باشد.

واضح است که هیچکدام از استراتژی ها بهترین استراتژی نیست. مثلا استفاده از استراتژی واکنشی برای کاهش هزینه های نگهداری همیشه بد نیست و استفاده از استراتژی های پیشگویانه و پیش گسترنده برای پمپ های غیر بحرانی مقرر نه صرفه نیست.

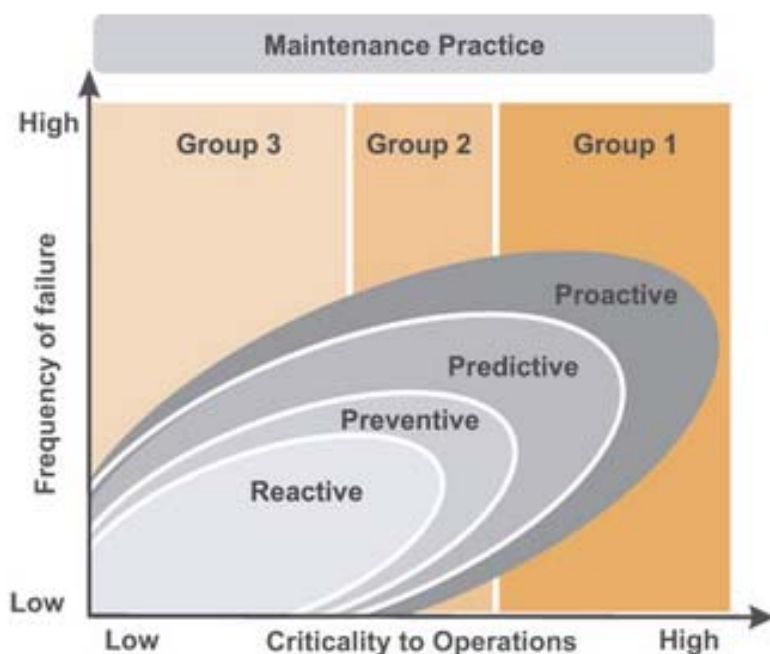
پمپ های صنعتی را بسته به تاثیر روی بهره وری واحد صنعتی می توان به سه دسته تقسیم کرد:

۱. پمپ های کم حجم، بحرانی و پر ارزش.
۲. پمپ هایی با حجم، بحران و ارزش متوسط.
۳. پمپ های پر حجم، غیر بحرانی و کم ارزش.



شکل ۵

با توجه به شکل ۶ محدوده‌ی استفاده از استراتژی‌های ۴ گانه مشخص شده است. با استفاده از هر استراتژی در موقعیت و نوع پمپ مناسب هزینه‌های نگهداری پمپ به صورت چشمگیری کاهش می‌یابد.



شکل ۶

### ۱-۳- کاهش هزینه‌ی انرژی

همانطور که از جدول ۱ پیداست، انرژی بیشترین سهم از هزینه‌ها در LCC است. خریداران اغلب به دنبال پمپی با بازده انرژی بالا می‌باشند تا این هزینه‌ها را کاهش دهند. اما علاوه بر بازده انرژی فاکتورهای دیگری نیز در مصرف انرژی تأثیر گذار است:

- نصب پمپ‌های بزرگ منجر به دبی حجمی بالاتر، افزایش مصرف انرژی و کاهش عمر مفید پمپ می‌شود.
- استفاده از لوله کشی پر پیچ و خم انرژی بیشتری از پمپ می‌گیرد.
- انرژی پمپاژ یک پمپ معین، بستگی به نوع مایع پمپ شده دارد. اگر ویسکوزیته‌ی مایع یا مقدار آن افزایش یابد، انرژی پمپاژ بیشتری مصرف می‌شود.
- خوردگی در دیواره‌های پمپ، انرژی مصرفی را افزایش می‌دهد.
- هنگامی که عملکرد پمپ کنترل و رصد نشود و به خوبی از آن نگهداری نشود، مصرف انرژی بالا می‌رود.
- هنگامی که پمپ خیلی دور از نقطه‌ی بهترین عملکرد (BEP) کار کند، مصرف انرژی به صورت چشمگیری افزایش می‌یابد.

برای بهبود مصرف انرژی باید موارد زیر را رعایت کرد:

- پمپ باید به صورت هوشمندانه با توجه به دبی و مشخصه‌های مهم سیال انتخاب شود.
- از پمپ‌های بسیار بزرگ یا بسیار کوچک استفاده نشود. بنا بر نیاز از دو یا چند پمپ به صورت موازی استفاده شود. با توجه به نیازهای سیستم، با جایگزینی آرایش موازی می‌توان تا ۲۰ درصد در مصرف انرژی صرفه جویی کرد.
- بهتر است از <sup>7</sup> VFD استفاده شود.

### ۲-۳- کاهش هزینه‌ی بیکاری

برای کاهش زمان بیکاری ماشین آلات، تمامی قطعات یدکی باید در محل نگهداری شود. معمولاً خریداران قطعات بحرانی را شناخته و تعداد زیادی از آنها را از پیش خریداری می‌کنند. در نتیجه، به تناوب علاقه به انبار کردن افزایش یافته و خریدار متحمل هزینه‌های انبار کردن بیشتری می‌شود. برای تولید کننده‌ی ادوات اورجینال پمپ، ۴۰ درصد سود کل در فروش یدکی هاست.

برای داشتن وضعیت برد-برد برای خریدار و تولید کننده بهترین راه حل ایجاد انبار امانات<sup>8</sup> است. انبار امانات انباری است که در محل واحد صنعتی خریدار ایجاد می‌شود و در آن قطعات یدکی انبار می‌شود. در حالی که این قطعات متعلق به تولید کننده است. خریدار تنها هنگامی که یک قطعه را از انبار امانات خارج می‌کند باید هزینه پردازد. به این ترتیب خریدار هر موقع که بخواهد قطعه‌ی یدکی خواهد داشت ولی هزینه اش را دیرتر پرداخت می‌کند.

<sup>7</sup> Variable Frequency Drive

<sup>8</sup> consignment stock

### ۳-۳- طراحی سیستم پمپاژ

طراحی سیستم پمپاژ مناسب، مهمترین بخش کاهش هزینه های LCC است. همه ای سیستم های پمپاژ از زیر سیستم های زیر تشکیل شده اند:

۱. یک پمپ
۲. یک محرک
۳. تاسیسات لوله کشی
۴. کنترلر های عملکرد

هر کدام از این زیر سیستم ها را می توان به صورت منفرد مورد بررسی قرار داد. یک طراحی مناسب باید بر هم کنش بین پمپ و سایر زیر سیستم ها و همچنین محاسبات نقطه (نقاط) عملکرد را در نظر بگیرد. مشخصه های سیستم لوله کشی باید منطبق بر عملکرد دلخواه پمپ طراحی شود.

مجموع هزینه های تهیه و هزینه های راه اندازی پمپ، کل هزینه ای نصب در طول عمر آن را مشخص می کند. مقدار هزینه های نصب و راه اندازی به صورت مستقیم به قطر لوله کشی و اجزای آن وابسته است. مقدار قابل توجهی از اتصالات فشار در شیرهای کنترلی به وجود می آید.

قطر لوله کشی با توجه به پارامتر های زیر تعیین می شود:

۱. شرایط اقتصادی کل تاسیسات (پمپ و سیستم)
۲. کمترین سرعت جریان مورد نیاز با توجه به کاربرد (جهت پرهیز از رسوب)
۳. کمترین قطر داخلی مورد نیاز با توجه به کاربرد (جهت انتقال ذرات جامد)
۴. کمترین سرعت جریان مورد نیاز جهت کمینه کردن خطر فرسایش لوله ها و اتصالات
۵. قطر استاندارد لوله ای واحد صنعتی

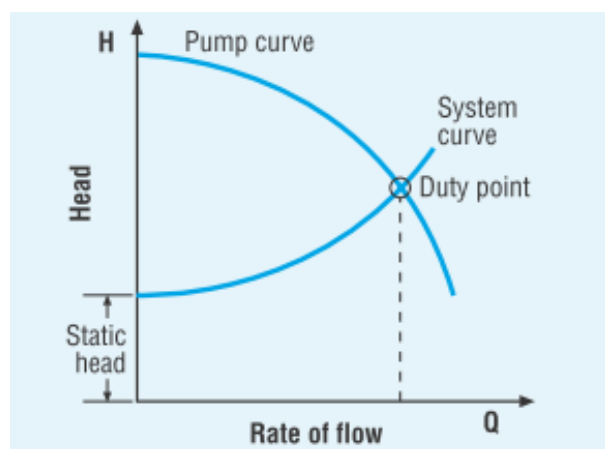
کم کردن قطر لوله ها تاثیرات زیر را در پی دارد:

۱. هزینه ای تهیه و نصب اجزای لوله کشی کاهش می یابد.
۲. هزینه های عملکرد پمپ در نتیجه افزایش اتصالات جریان و نیازهای متعاقب برای پمپ هایی با هد بالا و موتور های بزرگ تر، افزایش می یابد. در نتیجه هزینه ای الکتریسیته نیز افزایش می یابد.
۳. هزینه های عملکرد در نتیجه افزایش مصرف انرژی افزایش می یابد.

همانطور که مشخص است با کاهش قطر لوله کشی برخی از هزینه ها کاهش و برخی دیگر افزایش می یابند. در نتیجه یک قطر بهینه که با آن هزینه ای کل کمترین مقدار ممکن باشد قابل انتخاب است.

نقطه‌ی عملکرد پمپ از تلاقي منحنی پمپ و منحنی سیستم مطابق شکل ۷ به دست می‌آید. شایان ذکر است که ممکن است با توجه به کاربرد پمپ، نقاط عملکرد متعددی وجود داشته باشد که در این حالت بیشترین دبی و هد نقطه‌ی عملکرد را مشخص می‌کند.

در جدول ۲ چک لیست پیشنهادی برای بررسی موارد ممکن کاهش هزینه‌ها ارائه شده است.



شکل ۷

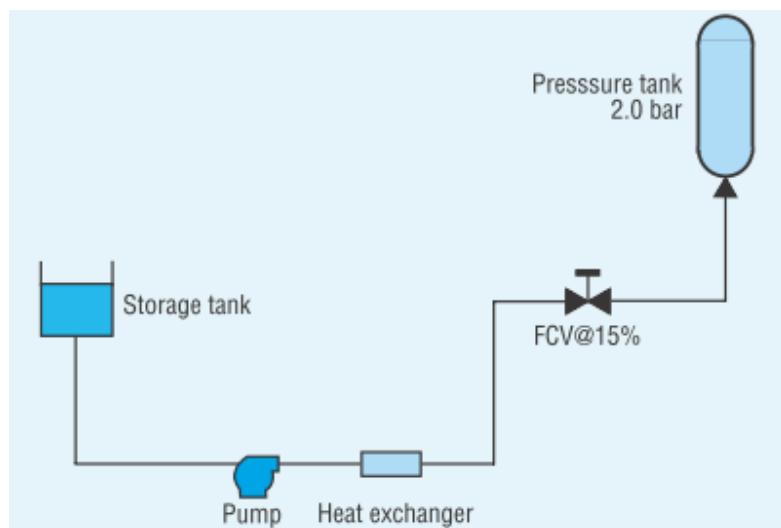
#### ۴- حل یک نمونه : سیستم پمپاژ با مشکلاتی در شیر کنترل

در این بخش برای تبیین مطالب بیان شده یک مثال از مشکلی در سیستم پمپاژ بیان می‌شود.

در سیستم مورد نظر، که در شکل ۸ نشان داده شده است، آنالیز‌های مربوط به LCC برای یک سیستم پمپاژ با شیر کنترل انجام می‌گیرد. سیستم مورد نظر، از یک پمپ تشکیل شده است که سیال کاری (که شامل ذرات جامدی است) را از تانکر مخزن به تانکر تحت فشار پمپاژ می‌کند. یک مبدل حرارتی به سیال گرمایی دهد و یک شیر کنترل مقدار دبی پمپاژ شده به تانکر تحت فشار را روی ۸۰ متر مکعب در ساعت تنظیم می‌کند.

## جدول ۲

<input type="checkbox"/>	تمامی هزینه های مربوطه جهت برآورد هزینه‌ی طول عمر پمپ محاسبه شود
<input type="checkbox"/>	با توجه به LCC در نظر گرفته شده پمپ و سیستم های آن تهیه شود
<input type="checkbox"/>	با توجه به هزینه های تهیه و راه اندازی پمپ بیان شده، کل هزینه ها بهینه شود
<input type="checkbox"/>	مقدار عملکرد هر پمپ به صورت جداگانه در نقطه‌ی عملکردش در نظر گرفته شود
<input type="checkbox"/>	تجهیزات منطبق بر نیازهای سیستم انتخاب شود
<input type="checkbox"/>	نوع پمپ مناسب با وظیفه‌ی آن انتخاب شود
<input type="checkbox"/>	پمپ بزرگتر از حد مورد نیاز انتخاب نشود
<input type="checkbox"/>	محرك با توجه به کاربرد انتخاب شود
<input type="checkbox"/>	از موتور های راندمان بالا استفاده شود
<input type="checkbox"/>	ادوات انتقال قدرت با توجه به ویقه‌ی پمپ انتخاب شود
<input type="checkbox"/>	کارائی سیستم ارزیابی شود
<input type="checkbox"/>	پمپ و سیستم های آن توسط کنترلر در حالت بیشترین سود نگهداری شوند
<input type="checkbox"/>	میزان انرژی اتلافی توسط شیرهای کنترلی در نظر گرفته شود
<input type="checkbox"/>	سرویس های جانبی با مهارت انجام شود
<input type="checkbox"/>	از روش نگهداری پیشگیرانه استفاده شود
<input type="checkbox"/>	لقی های داخلی پمپ مورد توجه باشد
<input type="checkbox"/>	به راهنمایی های موجود در دفترچه راهنمای هر موتور، پیرامون بازیچش موتور ها توجه شود
<input type="checkbox"/>	سیستم کنونی پمپ آنالیز شود تا فرصت های بهینه سازی پیش رو مشخص شود
<input type="checkbox"/>	از راهنمایی های بیان شده در دفترچه راهنمای هر پمپ به عنوان منبع ایده استفاده شود



شکل ۸

مهندس فرضی این مسئله در سایت با مشکلاتی پیرامون عملکرد شیر کنترل سیال مواجه است. به گونه‌ای که این شیر در اثر خوردگی ناشی از کاویتاسیون از عملکرد مطلوب خود خارج می‌شود. این شیر هر ۱۰ تا ۱۲ ماه خراب شده و هزینه‌ی تعمیر آن ۴۰۰ یورو می‌باشد. گزینه‌ای که مورد توجه قرار گرفته است، تعویض شیر با شیر دیگری است که مقاومت آن در مقابل خوردگی بیشتر باشد. مهندس پروژه‌ی فرضی این مسئله دیدگاه دیگری دارد. او می‌خواهد سیستم دقیقاً بررسی شود تا راه حل‌های جایگزین معرفی شود.

### سیستم چگونه عمل می‌کند؟

اولین گام این است که بدانیم سیستم چگونه عمل می‌کند و در واقع چه اتفاقی می‌افتد که در پی آن شیر از عملکرد مطلوبش خارج می‌شود. پس از این مرحله می‌توان به فکر راه حل بود.

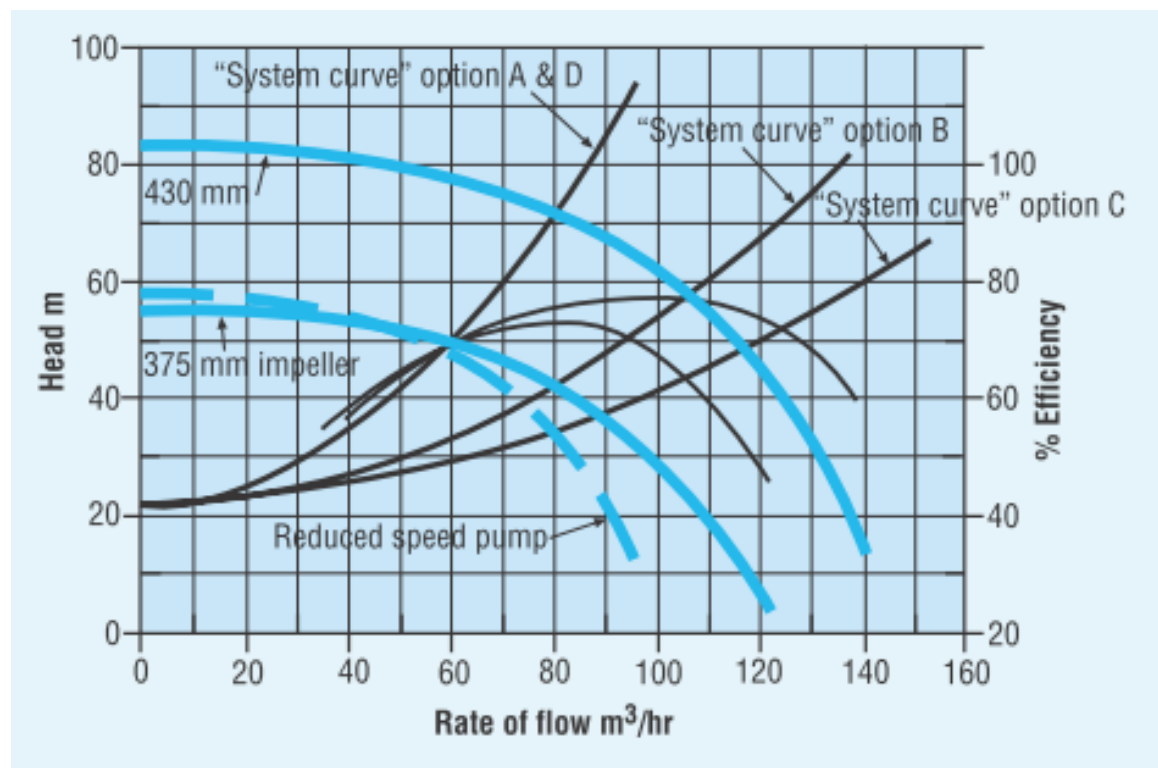
در این سیستم شیر در حالت بین ۱۵ الی ۲۰ درصد باز عمل می‌کند و تحت نویزهای ناشی از کاویتاسیون قرار می‌گیرد. این نویزها نشانه‌ی این است که شیر به درستی سایز نشده است. پس از بررسی دobarه‌ی محاسبات طراحی، مهندس فرضی به این نتیجه می‌رسد که پمپ بیش از اندازه بزرگ است. یعنی به جای دبی ۸۰ متر مکعب در ساعت، دبی ۱۱۰ متر مکعب در ساعت را می‌زند و در نتیجه در مقایسه با حالت طراحی شده، افت فشار بیشتری به شیر کنترل وارد می‌شود.

در اثر اختلاف فشار بسیار بزرگ در دبی عملکرد پمپ و این حقیقت که شیر در فواصل مشخص به دلیل کاویتاسیون خوب کار نمی‌کند، این نتیجه حاصل می‌شود که این شیر برای سیستم مناسب نیست. حال ۴ گزینه‌پیش روی مهندس فرضی این مسئله است:

- A. از یک شیر کنترل دیگر که برای عملکرد در افت فشار مذکور مناسب باشد استفاده شود.
- B. پره‌ی پمپ تراشکاری شود تا هد کمتری تولید کند و در نتیجه فشار کمتری به شیر موجود وارد شود.
- C. یک محرک فرکانس متغیر<sup>۹</sup> (VFD) به جای شیر کنترل جریان نصب شود. VFD می‌تواند دور پمپ را تغییر دهد و در نتیجه دبی مطلوب را تولید کند.
- D. سیستم را می‌توان همینگونه پذیرفت. یعنی هزینه‌ای برای تعمیر هر چندماهه‌ی آن در نظر گرفت.

قیمت یک شیر کنترل نو که با شرایط فشاری سازگار باشد ۵۰۰۰ یورو است. هزینه‌ی ایجاد تغییرات روی پمپ برای رسیدن به هد و دبی مطلوب ۲۲۵۰ یورو است. از طرفی فرآیند با دبی ۸۰ متر مکعب در ساعت، ۶۰۰۰ ساعت در سال ادامه می‌یابد. هزینه‌ی انرژی ۰/۰۸ یورو به ازای هر کیلووات ساعت بوده و بازده موتور ۹۰٪ است. در شکل ۹ منحنی‌های عملکرد هر کدام از ۴ حالت فوق نشان داده شده است.

<sup>۹</sup> Variable Frequency Drive



شکل ۹

حال با توجه به اطلاعات داده شده، هزینه‌ی هر کدام از گزینه‌ها را محاسبه می‌کنیم. جدول ۳ نتایج این محاسبات را ارائه می‌کند. شایان ذکر است که با تراش پره از  $43^{\circ}$  به  $375$  میلیمتر افت فشار در شیر کنترلی حدود  $10$  متر کاهش می‌یابد. که آن را به طراحی اولیه نزدیک می‌کند.

فرضیات زیر در محاسبه‌ی LCC صورت گرفته است:

- نرخ انرژی  $0.08$  یورو به ازای هر کیلووات ساعت است.
- پمپ برای  $6000$  ساعت کار در سال طراحی شده است.
- کارخانه هزینه‌ی تعمیر و نگهداری سالانه  $500$  یورو را برای پمپ‌ها در نظر گرفته است که در هر سال  $2500$  یورو به آن اضافه می‌شود.
- در این پروژه هیچگونه هزینه‌ی انهدام سیستم یا دفع به محیط در نظر گرفته نشده است.
- این پروژه  $8$  سال ادامه دارد.
- نرخ بهره  $8$  درصد و نرخ تورم  $4\%$  فرض شده است.

جدول ۳

گزینه	A	B	C	D
عملکرد	تغییر شیر کنترل	تراش پره	VFD	تعمیر شیر کنترل
(mm) قطر پره	۴۳۰	۳۷۵	۴۳۰	۴۳۰
(m) هد پمپ (%)	۷۱/۷	۴۲	۳۴/۵	۷۱/۷
(%) بازده پمپ (٪)	۷۵/۱	۷۲/۱	۷۷	۷۵/۱
(m <sup>3</sup> /h) دبی (m <sup>3</sup> /h)	۸۰	۸۰	۸۰	۸۰
(KW) توان مصرفی (KW)	۲۳/۱	۱۴	۱۱/۶	۲۳/۱
هزینه‌ی انرژی در سال (یورو)	۱۱۰۸۸	۶۷۲۰	۵۵۶۸	۱۱۰۸۸
هزینه‌ی شیر جدید (یورو)	۵۰۰۰	-	-	-
هزینه‌ی تغییرات پره (یورو)	-	۲۲۵۰	-	-
هزینه‌ی خرید VFD (یورو)	-	-	۲۰۰۰	-
هزینه‌ی نصب VFD (یورو)	-	-	۱۵۰۰	-
هزینه‌ی نگهداری VFD در سال (یورو)	-	-	۵۰۰	-
هزینه‌ی تعمیر شیر در سال (یورو)	-	-	-	۴۰۰
جمع هزینه‌ها (یورو)	۱۶۰۸۸	۸۹۷۰	۲۷۵۶۸	۱۵۰۸۸

جدول ۴ نتایج نهایی محاسبه‌ی LCC است.

## جدول ۴

گزینه	A	B	C	D
عملکرد	تغییر شیر کنترل	تراش پره	VFD	تعمیر شیر کنترل
هزینه اولیه (یورو)	۵۰۰۰	۲۲۵۰	۲۱۵۰۰	-
قیمت انرژی به ازای هر کیلووات ساعت (یورو)	۰/۰۸	۰/۰۸	۰/۰۸	۰/۰۸
توان مصرفی (KW)	۲۳/۱	۱۴	۱۱/۶	۲۳/۱
ساعت عملکرد در سال	۶۰۰۰	۶۰۰۰	۶۰۰۰	۶۰۰۰
هزینه‌ی انرژی در سال (یورو)	۱۱۰۸۸	۶۷۲۰	۵۵۶۸	۱۱۰۸۸
هزینه‌ی نگهداری در سال (یورو)	۵۰۰	۵۰۰	۱۰۰۰	۵۰۰
هزینه‌ی تعمیر از سال دوم هر ساله (یورو)	۲۵۰۰	۲۵۰۰	۲۵۰۰	۲۵۰۰
هزینه‌های دیگر سالیانه (یورو)	-	-	-	۴۰۰۰
هزینه‌ی بیکاری در سال (یورو)	-	-	-	-
هزینه‌ی محیطی در سال (یورو)	-	-	-	-
هزینه‌ی انهدام (یورو)	-	-	-	-
عمر (سال)	۸	۸	۸	۸
نرخ بهره (%)	۸	۸	۸	۸
نرخ تورم (%)	۴	۴	۴	۴
LCC جمع هزینه‌های (یورو)	۹۱۸۲۷	۵۹۴۸۱	۷۴۳۱۳	۱۱۳۹۳۰

منابع و مراجع

- 1- Anusuya Ramadoss, "Life-Cycle Cost Analysis of Industrial Pumps", Pumps & systems magazine, 2013
- 2- R. Marlow, "WIMES LCC model 01- Centrifugal pump units", Pump centre, 2009.
- 3- "Pump LCC cost: A guide to LCC analysis for pumping systems", collaboration between the Hydraulic Institute, Europump, and the US Department of Energy's Office of Industrial Technologies (OIT), 2001

## نکاتی پیرامون طراحی حلزونی

### مقدمه

هدف از این مقاله ارائه‌ی الگوریتمی است که به وسیله‌ی آن حلزونی مناسب برای پره‌ی یک پمپ با عملکرد مشخص در نقطه‌ی بهینه، طراحی شود. برخلاف الگوریتم‌های معرفی شده‌ی طراحی پره که در شماره‌ی قبل ارائه شد، الگوریتم‌های طراحی حلزونی بسیار متفاوت از هم‌اند. به عبارت دیگر روش واحدی جهت طراحی حلزونی‌ها وجود ندارد.

دلیل اصلی این موضوع در فلسفه‌ی وجود حلزونی در پمپ نهفته است. سیال به درون پمپ مکیده می‌شود و توسط پره به آن انرژی جنبشی داده می‌شود. وظیفه‌ی اصلی حلزونی، تبدیل این انرژی جنبشی به فشار می‌باشد. پوسته‌ی پمپ هیچ قطعه‌ای جهت تولید هد کلی ندارد؛ بنابراین تنها در کاهش افت‌های تاثیرگذار است. لذا تفاوت‌های موجود بین روش‌های طراحی حلزونی تاثیر چندانی بر هد کلی ندارد.

به منظور درک بهتر مراحل طراحی حلزونی، روند آن با حل یک مثال شرح داده شده است. مثال حل شده طراحی حلزونی برای پره‌ای است که در نقطه‌ی بهترین عملکرد، نفت خام سبک را با دبی  $n=1450 \frac{m^3}{hr}$  و هد  $H=30m$  در دور موتور  $Q = 100 \frac{m^3}{hr}$  پمپاژ کند. شایان ذکر است که چگالی نفت خام سبک  $\frac{kg}{m^3} = 840$  است. در شماره‌ی قبلی این نشریه پره‌ی پمپ نظر با روش‌های مختلف طراحی شد. بنابراین از اطلاعات حاصل از یکی از این طراحی‌ها که در جدول ۱ آورده شده است استفاده می‌شود. اطلاعات مندرج در جدول ۱ حاصل طراحی پره با استفاده از نرم افزار CFTurbo و به روش مرحله‌به مرحله می‌باشد.

جدول ۱

پارامتر	مقدار
قطر داخلی روتور (mm)	103
قطر خارجی روتور (mm)	312
نسبت قطرها	3.08
زاویه‌ی ورودی پره	30
زاویه‌ی خروجی پره	23
تعداد پره	6
گام پره در ورودی (mm)	52.88
گام پره در خروجی (mm)	163.36
پهنای پره در خروجی (mm)	20
بازده هیدرولیکی	86.6%
بارده حجمی	87%
بازده کل	75%

### طراحی حلزونی مبتنی بر متن کتاب لبانوف

کتاب «پمپ های سانتریفیوژ؛ طراحی و کاربرد» در سال ۱۹۸۵ توسط ول لبانوف و رابرت راس به نگارش در آمد. مطالب و روش های بیان شده در این کتاب بسیار شبیه به روش های بیان شده در کتاب «پمپ های سانتریفیوژ و جریان محوری» نوشته‌ی استپانوف است که در سال ۱۹۵۷ منتشر شده است. کتاب مذکور یکی از کتب بنیادین طراحی پمپ است که لبانوف با نگاهی نو و با افزودن مطالب تالیفی خود به آن «پمپ های سانتریفیوژ؛ طراحی و کاربرد» را منتشر کرد. در نتیجه شیوه‌ی ارائه شده در این بخش را روش استپانوف نیز می‌توان نام نهاد.

#### تعیین پارامترهای حلزونی

گام اول) مساحت حلزونی (گلوبی)

شکل ۱ نمودارهای مختلفی را، از سازندگان مختلف پمپ های سانتریفیوژ، جهت تعیین مقدار ضریب  $k_3$  ارائه می‌کند. در شکل ۲ میانگین این نمودارها ارائه شده است. با تعیین ضریب  $k_3$  از نمودار شکل ۲ و با استفاده از رابطه‌ی زیر می‌توان مساحت حلزونی را محاسبه کرد:

$$A_v = \frac{0.04 \times Q}{k_3 \times H^{0.5}}$$

در رابطه‌ی فوق دبی بر حسب گالن در دقیقه و هد بر حسب فوت می‌باشد. مساحت به دست آمده بر حسب اینچ مربع است. روابط زیر جهت تبدیل واحدهای رابطه‌ی فوق مفید است:

$$1 m^3 = 264 gal, 1 hr = 60 min \rightarrow 1 \frac{m^3}{hr} \times \frac{1 hr}{60 min} \times \frac{264 gal}{1 m^3} = 6.07 GPM$$

$$1 m = 3.28 ft$$

$$1 in^2 = 6.34 \times 10^{-4} m^2$$

همچنین برای تبدیل سرعت مخصوص از رابطه‌ی زیر استفاده می‌شود:

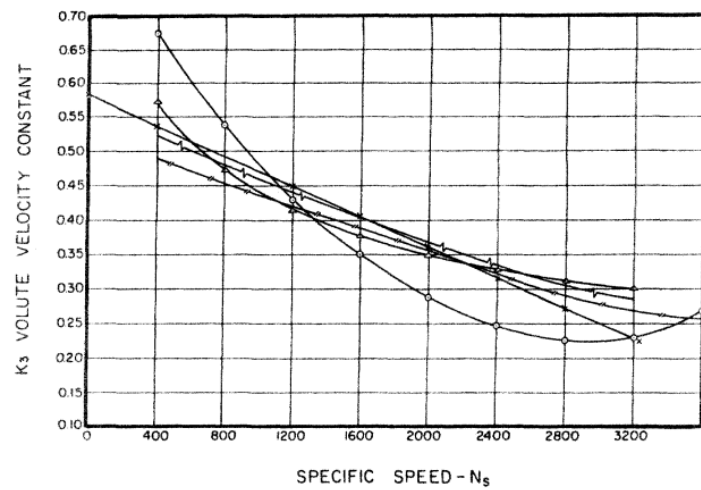
$$N_s = 51.6 n_q$$

برای حلزونی مذکور:

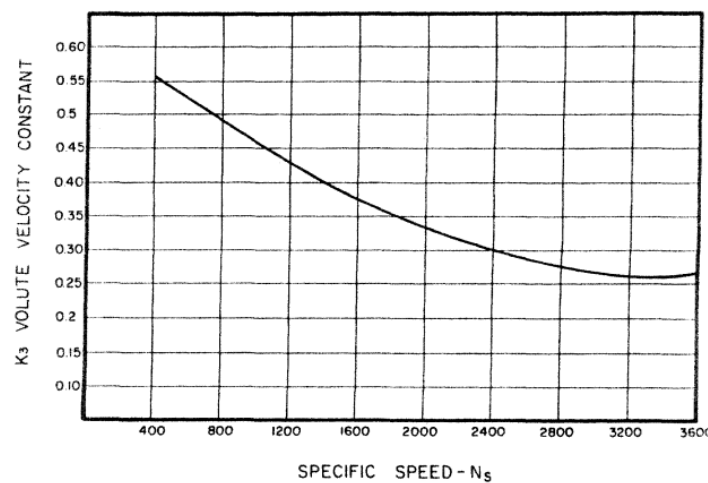
$$Q = 100 \times 6.07 = 607 GPM$$

$$H = 30 \times 3.28 = 98.4 ft$$

$$N_s = 51.6 \times 18.85 = 972.66 \rightarrow k_s \approx 0.46$$



شکل ۱



شکل ۲

با قرار دادن مقادیر فوق در رابطه‌ی مساحت حلقه‌ی:

$$A_v = \frac{0.04 \times Q}{k_3 \times H^{0.5}} = \frac{0.04 \times 607}{0.46 \times 98.4^{0.5}} = 5.32 \text{ in}^2$$

در واحد SI:

$$A_v = 6.34 \times 10^{-4} \times 5.32 = 3.37 \times 10^{-3} \text{ m}^2$$

مقدار به دست آمده، مقدار نهایی مساحت حلقه‌ی برای پمپ‌های تک حلقه‌ی است. اگر پمپ مورد نظر از آرایش حلقه‌ی دوبل استفاده کند، مقدار به دست آمده تقسیم بر دو خواهد شد.

## گام اول) پهنانی حلزونی

برای تعیین پهنانی حلزونی، تطابق مقدار با قطر خارجی پره ( $d_2$ ) و پهنانی خروجی آن ( $b_2$ ) حائز اهمیت است. همچنین این مقدار باید به گونه ای باشد که فاصله‌ی بین محفظه (casing) و شرود پره با وجود خطاهای معمول ریخته گری، کافی باشد. جدول ۲ مقدار پهنانی حلزونی را ارائه می‌کند.

جدول ۲

پهنانی حلزونی ( $b_3$ )	سرعت مخصوص ( $N_s$ )	سرعت مخصوص ( $n_q$ )
$2b_2$	< 1000	<19.4
$1.75b_2$	1000-3000	19.4-58.1
$1.6b_2$	> 3000	>58.1

پره‌ی حلزونی مذکور مقدار سرعت مخصوص در واحد  $SI\ 18/85$  بوده و در نتیجه مشمول اطلاعات ردیف اول جدول ۲ می‌شود:

$$b_3 = 2b_2 = 2 \times 20 = 40\ mm$$

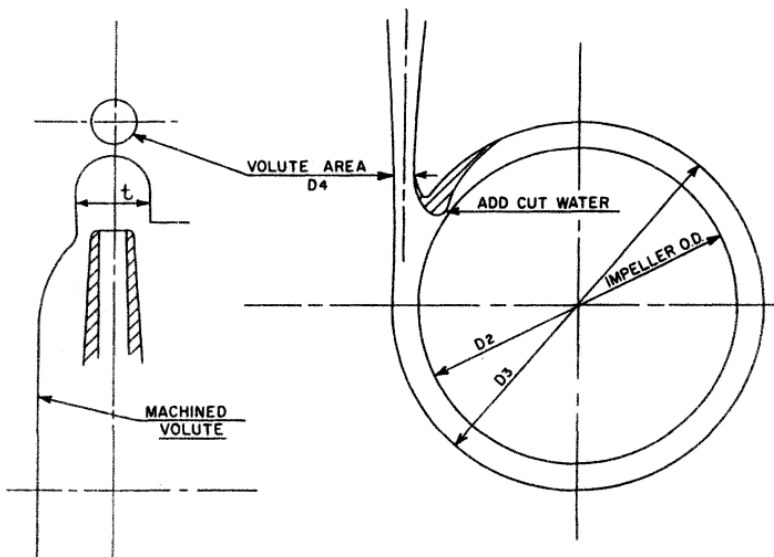
## گام سوم) قطر کاتووتر

جهت جلوگیری از نویز، نوسانات و ارتعاشات، مخصوصاً در فرکانس گذر پره، یک فاصله‌ی حداقلی بین لبه‌ی پره و لبه‌ی حلزونی در نظر گرفته می‌شود که به آن کاتووتر (cutwater) می‌گویند. جدول ۳ اطلاعات مفیدی پیرامون تعیین قطر کاتووتر ارائه می‌کند.

جدول ۳

سرعت مخصوص ( $N_s$ )	سرعت مخصوص ( $n_q$ )	قطر کاتووتر ( $d_3$ )
600-1000	11.6-19.4	$1.05d_2$
1000-1500	19.4-29.1	$1.06d_2$
1500-2500	29.1-48.4	$1.07d_2$
2500-4000	48.4-77.5	$1.09d_2$

سه پارامتر تعیین شده در فوق در شکل ۳ نشان داده شده‌اند.

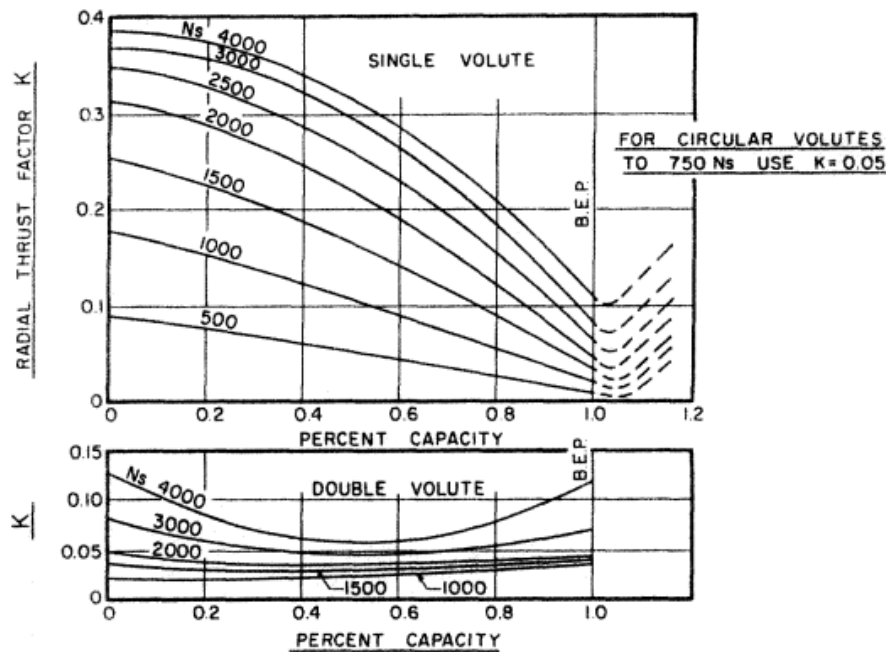


شکل ۳

علاوه بر تعیین سه پارامتر فوق، توصیه می شود در طراحی پارامترهای دیگر از نکات زیر استفاده شود:

۱. حلزونی برای حالت سرعت ثابت طراحی شود.
۲. انرژی جنبشی تنها در محفظه‌ی دیفیوزر مانند بعد از حلزونی به فشار تبدیل شود. زاویه‌ی واگرایی این محفظه ۷ تا ۱۳ درجه انتخاب شود.
۳. سطح مقطع حلزونی به تدریج از کاتووتر تا نازل حلزونی افزایش می‌باید.
۴. توزیع فشار حول حلزونی تنها در نقطه‌ی BEP در تعادل است و در دو طرف این نقطه این تعادل به هم خورده و نیروی فشاری بر آن اعمال می‌شود که منجر به نیروی شعاعی روی پره می‌شود. نیروی شعاعی روی پره باعث خمش شفت و در موارد بحرانی باعث شکست آن خواهد شد. مقدار نیروی شعاعی مذکور برابر است با:  $P = \frac{KHd_2b_2SG}{2.31}$ . در شکل ۴ مقادیر تجربی ضریب K ارائه شده است.
۵. ترجیحاً زاویه‌ی دیواره‌ی حلزونی در تمام طول آن ثابت بماند.
۶. فضای حلزونی در دو طرف شرود متقاضن باشد.
۷. برای سرعت مخصوص های کمتر از ۶۰۰ از پروفیل دایروی استفاده شود.

در رابطه با درک بهتر نکته‌ی شماره‌ی یک ارائه‌ی توضیحات زیر ضروری به نظر می‌رسد.



شکل ۴

#### روش های محاسبات حلزونی

دبی جریان گذرنده از یک سطح مقطع حلزونی با مساحت  $A$  و با موقعیت  $\varphi$  (همانطور که در شکل ۵ نشان داده شده است) برابر است با:

$$Q_\varphi = \int c_u dA = \int_{r_4}^{r_a(\varphi)} c_u b(r) dr$$

از طرفی :

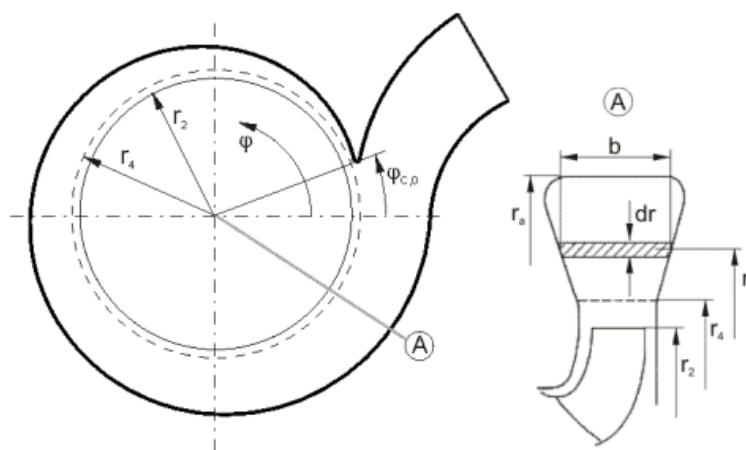
$$Q_\varphi = Q_i \times \left(\frac{\varphi}{2\pi}\right)$$

با جایگذاری  $\varphi$  در رابطه ای فوق رابطه ای نهایی به دست می آید:

$$\varphi = \frac{2\pi}{Q_i} \int_{r_4}^{r_a(\varphi)} c_u b(r) dr$$

$$Q_i = \frac{Q}{\eta_v}$$

برای حل انتگرال فوق دو روش محاسباتی وجود دارد که در زیر شرح داده شده است:



شکل ۵

#### ۱. روش فلیدر<sup>۱۰</sup> (روش ممان ممتوом ثابت)

این روش بر اساس این فرض می باشد که جریان در حلزونی قانون ممان ثابت ممتووم را رعایت می کند. یعنی:

$$M_m = c_u r = \text{const}$$

از رابطه‌ی فوق می توان اینگونه استنباط کرد که با افزایش فاصله از محور پروانه، سرعت جانبی کاهش می یابد و در نتیجه در یک سطح مقطع از حلزونی این سرعت ثابت نیست. با برقراری این قانون اتفاقات به حداقل می رسد و از وجود اصطکاک در سیال صرف نظر می توان صرف نظر کرد.

با استفاده از رابطه‌ی به دست آمده می توان مقدار انتگرال رابطه‌ی  $\phi$  را اینگونه به دست آورد:

$$\phi = \frac{2\pi}{Q_i} \int_{r_4}^{r_a(\phi)} c_u b(r) dr = \frac{2\pi \times c_u r_4}{Q_i} \int_{r_4}^{r_a(\phi)} \frac{b(r)}{r} dr$$

با انتخاب سطح مقاطعی مانند چهارگوش، دایروی و ذوزنقه‌ای این انتگرال به صورت صریح قابل حل است. در حالت کلی یکی از روش‌های متداول حل این انتگرال حل جدولی آن است. به این صورت که با تبدیل انتگرال به سیگما و با ایجاد جدولی ۲ ستونه شامل شاع و پهنا، محاسبات حلزونی به پاسخ نهایی می رسد.

#### ۲. روش استپانوف (روش سرعت ثابت)

استفاده از روش فلیدر مشکلات زیر را با خود به همراه می آورد:

- I      ناهموانی سرعت به دست آمده از این روش با سرعت واقعی در حلزونی
- II     عدم قطعیت محاسبه‌ی افت‌های اصطکاکی
- III    مقدار  $Q_{opt}$  باید به وسیله‌ی مقدار نهایی سطح مقطع حلزونی تعیین شود.

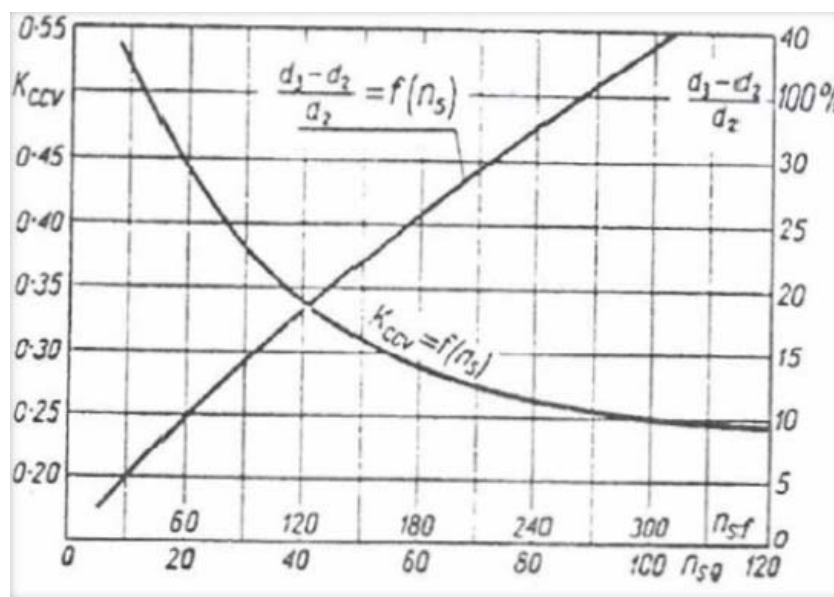
<sup>10</sup> Pfleiderer

به همین دلیل استپانوف روشی را معرفی می کند که طی آن با افزایش  $\varphi$  سطح مقطع افزایش یافته و سرعت ثابت می ماند. استفاده از این روش حجم محاسبات را به طرز قابل ملاحظه ای کاهش می دهد. سرعت ثابت میانگین در حلزونی از رابطه  $\dot{v}$  زیر به دست می آید:

$$c_u = K_{cv} \sqrt{2gH}$$

که در آن  $K_{cv}$  ضریبی تجربی است و از نمودار شکل ۶ به دست می آید. با استفاده از رابطه  $\dot{v}$  فوق می توان انتگرال مذکور را حل کرد:

$$\varphi = \frac{2\pi}{Q_i} \int_{r_4}^{r_a(\varphi)} c_u b(r) dr = \frac{2\pi \times K_{cv} \sqrt{2gH}}{Q_i} \int_{r_4}^{r_a(\varphi)} b(r) dr$$



شکل ۶

#### استفاده از طراحی استاندارد سطح مقطع جهانی حلزونی

جهت مشخص بودن کانتورهای حلزونی، می توان سطح مقطع حلزونی پمپ های مختلف را بر حسب یک مدل مرجع جهانی طراحی کرد. شایان ذکر است که استفاده از این طرح های جهانی بهترین عملکرد هیدرولیکی را در پی دارد؛ اگرچه ممکن است با سلیقه ای طراح جور در نیاید یا برخی ملاحظات طراحی مکانیکی را نقض کند. به جز پهنای پره و فاصله ای بین پره و کاتواتر سایر پارامترهای هر حلزونی ای بسیار مشابه هم است.

استفاده از این طرح ها، با تضمین عملکرد هیدرولیکی مناسب بخش آزمون و خطای طراحی حلزونی را حذف می کند. به همین منظور در شکل های ۷ و ۸ طرح جهانی این حلزونی ها با خروجی ۱۰ اینچ مریع نشان داده شده اند. همانطور که در شکل ۸ نشان داده شده است، اگر مساحت خروجی حلزونی پمپ مورد نظر مقداری غیر از ۱۰ اینچ مریع بود، از گام های زیر اندازه های جدید به دست می آید:

گام اول) تعیین ضریب مساحت

از مساحت به دست آمده از رابطه  $A_v = \frac{0.04 \times Q}{k_3 \times H^{0.5}}$  جهت تعیین ضریب مساحت استفاده می شود:

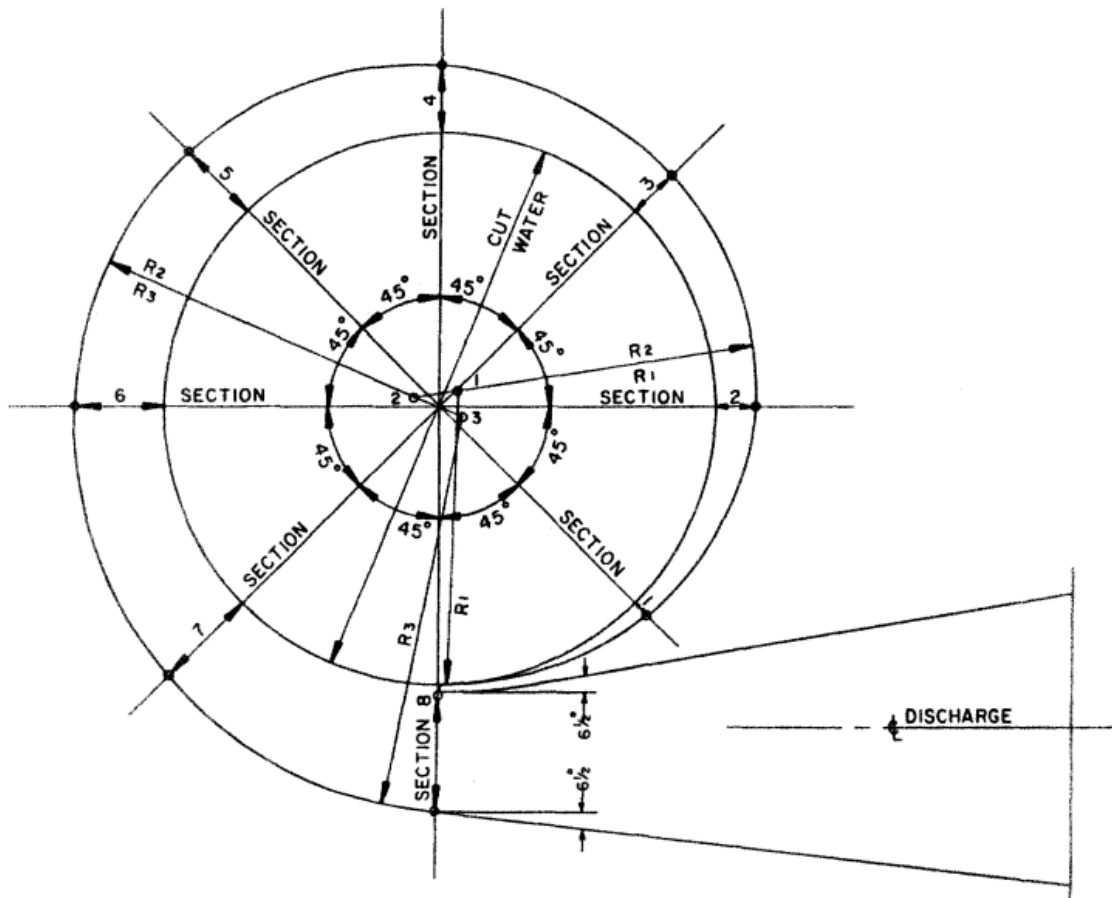
$$F = \sqrt{\frac{A_v}{10}}$$

برای حلزونی مذکور:

$$F = \sqrt{\frac{A_v}{10}} = \sqrt{\frac{5.32}{10}} = 0.73$$

گام دوم) تعیین مساحت های جدید هر بخش

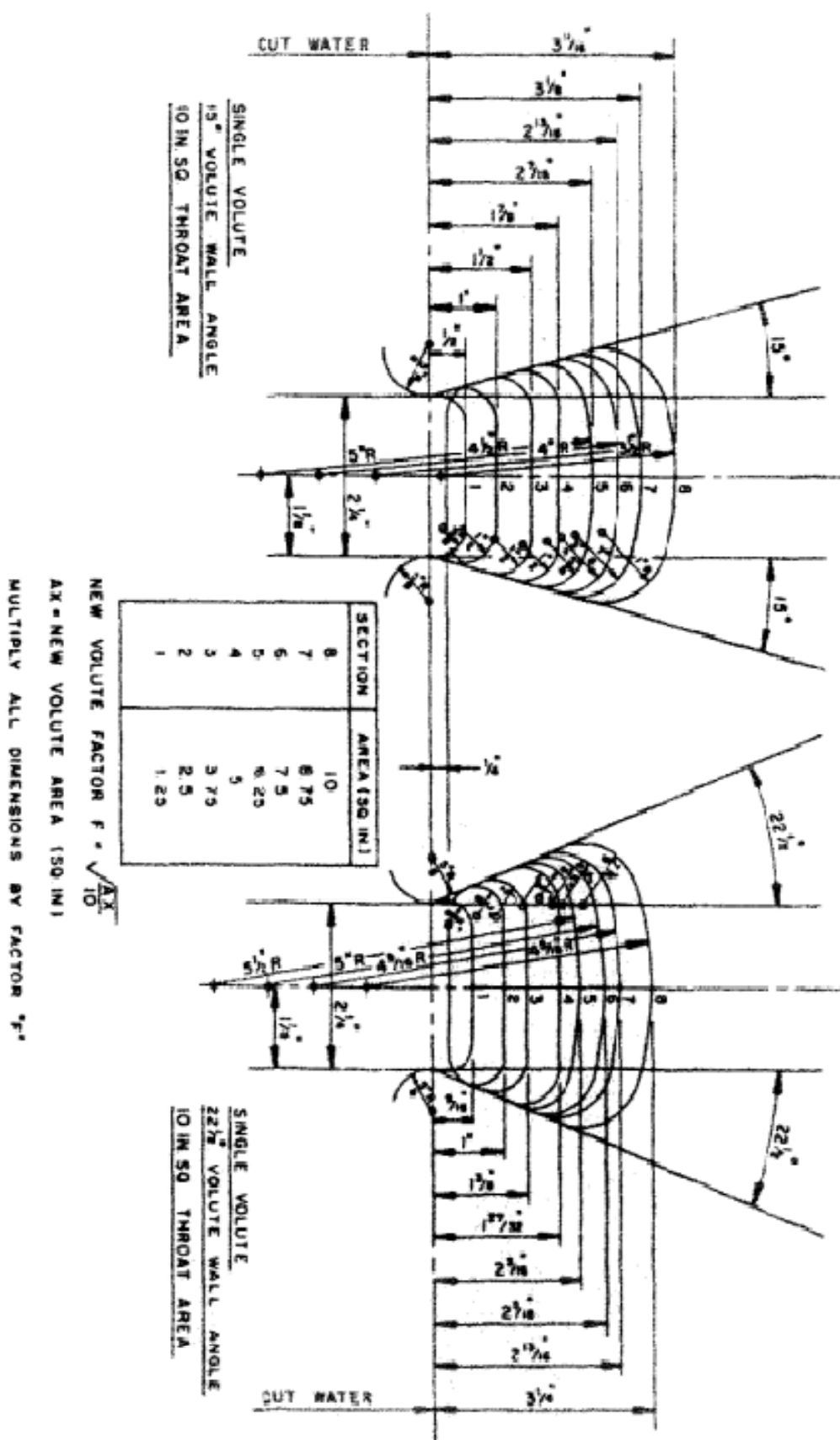
با ضرب ضریب به دست آمده از گام اول در مساحت های طراحی جهانی، مساحت های جدید به دست می آید.



شکل ۷

برای حلقه‌نی مذکور:

بخش	مساحت طرح جهانی ( $in^2$ )	مساحت طرح جدید جهانی ( $in^2$ )	مساحت طرح جدید جهانی ( $10^3 \times m^2$ )
۸	۱۰	۷/۳۰	۴/۶۳
۷	۸/۷۵	۶/۳۹	۴/۰۵
۶	۷/۵	۵/۴۸	۳/۴۷
۵	۶/۲۵	۴/۵۶	۲/۸۹
۴	۵	۳/۶۵	۲/۳۱
۳	۳/۷۵	۲/۷۴	۱/۷۴
۲	۲/۵	۱/۸۳	۱/۱۶
۱	۱/۲۵	۰/۹۱	۰/۵۸



## طراحی حلزونی مبتنی بر متن کتاب گولیچ

کتاب پمپ های سانتریفیوژ نوشته‌ی یوهان فدریش گولیچ در سال ۲۰۰۷ توسط انتشارات اشپرینگر چاپ شد. همانطور که انتظار می‌رود با توجه به سال انتشار این کتاب، به جزئیات هیدرولیکی بیشتری نسبت به کتب پیشین توجه شده است و طراحی بر اساس آن بار علمی بیشتری دارد. بر اساس روش توصیه شده‌ی این کتاب نرم افزار طراحی CFTurbo برنامه نویسی شده است که نقش مهمی در طراحی پره در دنیای پمپ ایفا می‌کند.

برای طراحی حلزونی به روش گولیچ، باید پارامترهای اساسی آن را به ترتیب زیر مشخص کرد:

❖ زاویه‌ی پوشش حلزونی ( $\epsilon_1$ )

زاویه‌ی پوشش حلزونی اغلب در آرایش‌های دوبل، دوقلویی و چندگانه حائز اهمیت هستند. همانطور که واضح است، زاویه‌ی پوشش حلزونی برای آرایش تک همواره  $36^\circ$  درجه می‌باشد.

❖ دبی حلزونی ( $Q_{Le}$ )

بدیهی است که میزان دبی نشتی ورودی پره، هیچگاه به حلزونی نمی‌رسد. لذا دبی ورودی به حلزونی با دبی ورودی به پره متفاوت است. این نشتی‌ها شامل نشتی‌های بین هر طبقه (برای پمپ‌های چند طبقه) و نشتی ناشی از بالанс نیروی تراست می‌باشد. پس:

$$Q_{Le} = Q_{opt} + Q_{Le} + Q_{s3}$$

برای حلزونی مذکور با توجه به اطلاعات پره‌ی طراحی شده در شماره‌ی قبل:

$$Q_{Le} = Q_{opt} + Q_{Le} + Q_{s3} = 100 + 7.5 + 0 = 107.5 \frac{m^3}{hr}$$

❖ سرعت جانبی سیال در ورودی حلزونی ( $c_{4u}$ )

سرعت خروجی پره ( $c_{2u}$ ) با توجه به روابط بیان شده در مقاله‌ی طراحی پره به دست می‌آید. اگر در خروجی پره دیفیوزری طراحی شود، سرعت ورودی دیفیوزر، بنا بر رابطه‌ی بقای ممنتوم از رابطه‌ی زیر به دست می‌آید:

$$c_{3u} = \frac{r_2}{r_3} c_{2u}$$

که در آن زیرونده ۳ نماینده‌ی ورودی دیفیوزر است. سرعت در خروجی دیفیوزر، سرعت در ورودی حلزونی است.

$$c_{4u} = c_{2u} = 14.7 \frac{m}{s}$$

❖ قطر کاتواتر ( $d_z$ )

همانطور که پیشتر بیان شد، بین پره و حلزونی باید یک ناحیه با حداقل فاصله قرار داد تا از نوسانات و ارتعاشات ناخواسته جلوگیری کند. قطر کاتواتر که در وقوع همان فاصله‌ی آن از محور پره می‌باشد از رابطه‌ی زیر محاسبه می‌شود:

$$\frac{d_z}{d_2} \geq 1.03 + 0.1 \frac{n_q}{40} + 0.07 \frac{\rho H}{\rho_{REF} H_{REF}}$$

که در آن  $\rho_{REF}$  و  $H_{REF}$  مقادیر مرجع بوده و به ترتیب برابرند با ۱۰۰۰ متر و ۱۰۰۰ کیلوگرم بر متر مکعب.

برای حلزونی مذکور:

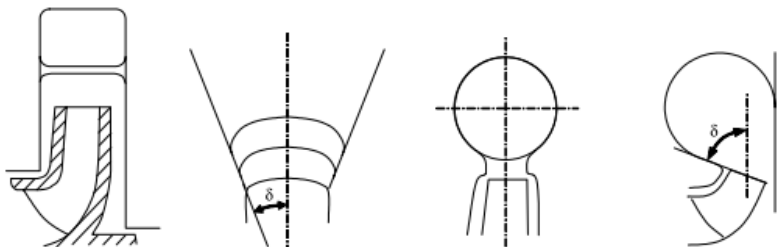
$$\frac{d_z}{d_2} \geq 1.03 + 0.1 \frac{n_q}{40} + 0.07 \frac{\rho H}{\rho_{REF} H_{REF}} = 1.03 + 0.1 \frac{18.85}{40} + 0.07 \frac{840 \times 30}{10^6} = 1.102$$

پس:

$$d_z = 1.11 d_2 = 1.11 \times 312 \approx 346 \text{ mm}$$

#### ❖ هندسه‌ی سطح مقطع حلزونی

هندسه‌ی سطح مقطع حلزونی باید با توجه به نوع پمپ، تنش‌های حلزونی و تغییر شکل‌های مجاز انتخاب شود. در شکل ۹ تعدادی از این هندسه‌ها نشان داده شده‌اند. از سمت چپ به ترتیب، حلزونی چهارگوش، حلزونی ذوزنقه‌ای، حلزونی دایروی و حلزونی نامتقارن نام دارند.



شکل ۹

یکی از مهمترین عوامل در انتخاب هندسه‌ی سطح مقطع حلزونی، الگویی است که تولید کننده‌ی پمپ پیش از این، از آن تعییت می‌کرد. استفاده از هندسه‌ی چهارگوش و ذوزنقه‌ای مزیت ساخت و نصب آسانتر را نسبت به هندسه‌ی دایروی دارد. در کل استفاده از هندسه‌های مسطح به جای هندسه‌های دایروی باعث کاهش افت‌های هیدرولیکی می‌شود. از همین رو انتخاب چنین هندسه‌هایی با نسبت عرض به ارتفاع ۲ بسیار بهینه است.

حلزونی‌های مورد استفاده و ساخته شده در کارخانه‌ی آریا سپهر کیهان هندسه‌ی دایروی دارند. لذا در ادامه با انتخاب این هندسه به طراحی حلزونی پرداخته می‌شود.

#### ❖ پهنه‌ی ورودی ( $b_3$ )

پهنه‌ی ورودی حلزونی با توجه به مقدار پهنه‌ی خروجی پره، فواصل ضروری اطراف پره و الزامات حلزونی تعیین می‌شود. همچنین تغییرات از حلزونی به نازل خروجی باید تا حد امکان ملایم باشد. در نتیجه برای حلزونی‌های تک مقدار پهنه‌ی ورودی باید آنقدر بزرگ باشد که تقریباً برابر با مقدار ارتفاع شود.

مقدار نسبت  $\frac{b_3}{b_2}$  بستگی به مقدار سرعت مخصوص دارد و می‌تواند در محدوده‌ی گسترده‌ای بدون آنکه تاثیر قابل ملاحظه‌ای بر روی بازده داشته باشد انتخاب شود. رعایت موارد زیر برای انتخاب این مقدار در یک پره‌ی باز مناسب است:

۱. در سرعت مخصوص‌های پایین برای جلوگیری از ارتعاشات زیاد باید  $2 \leq \frac{b_3}{b_2} \leq 4$  باشد.
۲. در سرعت مخصوص‌های بالا برای جلوگیری توربولنس و جریان ثانویه باید  $1.05 \leq \frac{b_3}{b_2} \leq 1.2$  باشد.

با توجه به سرعت مخصوص پایین حلزونی مذکور:

$$b_3 = 2.5 b_2 = 50 \text{ mm}$$

#### ❖ پروفیل کاتواتر

پروفیل کاتواتر باید بیضوی باشد تا آن را به تغییر خط جریان از تغییر شرایط کارکرد غیرحساس کند. این پروفیل باید کوتاه و نازک باشد تا در مقابل تنش‌ها مقاوم باشد و ریسک ایجاد ترک در آن کاهش یابد. ضخامت لبه‌ی جلویی کاتواتر ( $e_3$ ) را می‌توان با یک دایره تعريف کرد که قطر آن تقریباً  $d_2 = 0.02$  است. کاتواتر زاویه‌ای با مولفه‌ی جانبی سرعت می‌سازد که  $\alpha_3$  نام دارد. این زاویه باید به گونه‌ای انتخاب شود که منطبق بر خط جریان باشد.

برای حلزونی مذکور قطر دایره‌ی لبه‌ی کاتواتر  $e_3 = 0.02 \times 312 \approx 6.25 \text{ mm}$  می‌باشد.

#### ❖ مساحت گلوبی حلزونی ( $A_{3q}$ )

روش گولیچ برای محاسبات حلزونی، همان روش فلیدر (روش ممان ممنتوم ثابت) است. همانطور که بیشتر در بخش طراحی لبانوف (استپانوف) بیان شد، طراحی‌های متنوع حلزونی تاثیر چندانی بر بازده ندارد. حلزونی با زاویه پوشش  $\epsilon_{sp}$  باید در دبی

$$Q_{Le} \times \frac{\epsilon_{sp}}{2\pi}$$

$$\int_{r_z}^{r_a} \frac{b}{r} dr = \frac{\epsilon_{sp} \times Q_{Le}}{2\pi \times c_{2u} \times r_2}$$

برای حلزونی مذکور:

$$\int_{r_z}^{r_a} \frac{b}{r} dr = \frac{\epsilon_{sp} \times Q_{Le}}{2\pi \times c_{2u} \times r_2} = \int_{0.173}^{r_a} \frac{b}{r} dr = \frac{107.5 \times \frac{1}{3600}}{14.7 \times 0.156} = 0.013$$

ضخامت لبه‌ی جلویی کاتواتر نیز روی شتاب گرفتن سیال موثر است ولی این تاثیر روی عملکرد پمپ در دبی مطلوب بسیار ناچیز است. در صورت تاثیر دادن این ضخامت در محاسبات، حد پایین انگرال فوق به  $r_z' = r_z + \frac{e_3}{2}$  تغییر می‌کند. ارتفاع گلوبی از رابطه‌ی زیر به دست می‌آید:

$$a_3 = r_a - r_z'$$

حل تحلیلی به دست آمده از انتگرال فوق، برای سطح مقطع دایروی، سه رابطه‌ی زیر را می‌دهد:

$$X_{sp} = \frac{Q_{Le}}{\pi \times c_{2u} \times r_2} \frac{\varepsilon_{sp}}{2\pi}$$

$$d_{3q} = X_{sp} + \sqrt{2d'_z X_{sp}}$$

$$A_{3q} = \frac{\pi d_{3q}^2}{4}$$

که در آن  $d_{3q}$  قطر معادل و  $A_{3q}$  مساحت گلوبی می‌باشد.

برای حلزونی مذکور:

$$X_{sp} = \frac{Q_{Le}}{\pi \times c_{2u} \times r_2} \frac{\varepsilon_{sp}}{2\pi} = \frac{\frac{107.5}{3600}}{\pi \times 14.7 \times 0.156} = 0.002$$

$$d_{3q} = X_{sp} + \sqrt{2d'_z X_{sp}} = 0.002 + \sqrt{2 \times (0.322 + \frac{0.00625}{2}) \times 0.002} = 0.038$$

$$A_{3q} = \frac{\pi d_{3q}^2}{4} = \frac{\pi \times 0.038^2}{4} = 0.0022 \text{ m}^2$$

### تعیین هندسه‌ی دقیق حلزونی

۱. تعیین هندسه‌ی دقیق حلزونی مبنی بر قانون ممنتوом ثابت

همانطور که پیشتر بیان شد، رابطه‌ی زیر از قانون ممنتووم ثابت است:

$$\int_{r_z}^{r_a} \frac{b}{r} dr = \frac{\varepsilon \times Q_{Le}}{2\pi \times c_{2u} \times r_2} \rightarrow \varepsilon = \frac{2\pi \times c_{2u} \times r_2}{Q_{Le}} \int_{r_z}^{r_a} \frac{b}{r} dr = \frac{2\pi \times c_{2u} \times r_2}{Q_{Le}} \sum_{r_z}^{r_a} \frac{b}{r} \Delta r$$

با استفاده از رابطه‌ی فوق روش گام به گام زیر برای تعیین هندسه‌ی دقیق حلزونی به کار می‌رود:

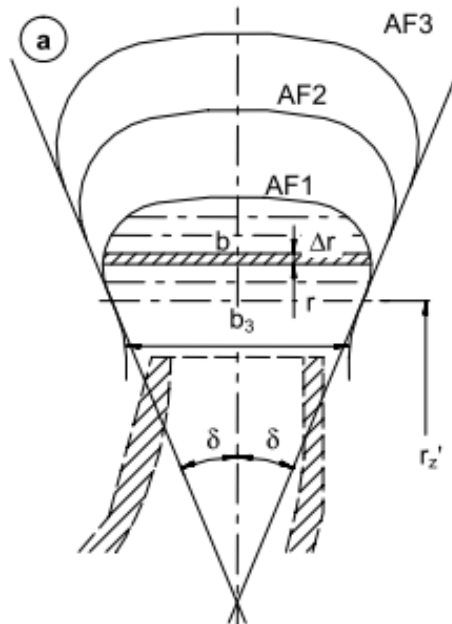
I. مقادیر  $\delta$ ,  $b_{3z}$ ,  $r_z'$  برای تعیین دو سطح مقطع دورانی داخلی و خارجی مشخص شود. ( $\delta$  زاویه‌ی انحراف حلزونی از خط قائم بر محور روتور است).

II. محدوده‌ی خارجی سطح مقطع‌های مختلف مثل خطوط AF1 تا AF3 در شکل ۱۰ رسم شود. اینکه کدام سطح مقطع با چه ارتفاعی مناسب است با توجه به سطح مقطع گلوبی حلزونی معادل با سطح مقطع دایروی قابل تخمین است.

III. سطوح مقطع به المان‌های کوچک به عرض  $b$  و ضخامت  $\Delta r$  تقسیم شود. موقعیت هر المان با شعاع آن یعنی  $r$  تعیین می‌شود.

IV. تمامی مقادیر  $b$ ,  $r$  و  $\Delta r$  به دست آمده، در یک جدول ردیف می‌شوند.  
V. مقدار  $\sum \frac{b}{r} \Delta r$  برای هر المان محاسبه می‌شود.

- .VI جمع به دست آمده در رابطه  $\varepsilon = \frac{2\pi \times c_{2u} \times r_2}{Q_{Le}} \sum_{r_z}^{r_a} \frac{b}{r} \Delta r$  ای آن سطح مقطع به خصوص می باشد.
- .VII مقدار  $r_a$  متناظر نیز همزمان با مرحله ای قبل به دست می آید.
- گام های فوق معمولاً به وسیله ی یک برنامه ی کامپیوترا طی می شود.



شکل ۱۰

۱. تعیین هندسه ی دقیق حلزونی مبنی بر قانون سرعت ثابت

در این روش نیز مساحت گلوبی مانند قبل محاسبه می شود. حال با استفاده از این مساحت می توان سرعت در گلوبی را محاسبه کرد:

$$c_{3u} = \frac{Q_{Le}}{A_{3q}}$$

از طرفی مساحت گلوبی برابر است با :

$$A_{3q} = \int_{r_z}^{r_a} b \, dr$$

سطوح مقطع در هر زاویه ای با استفاده از رابطه ی زیر محاسبه می شود:

$$A(\varepsilon) = A_{3q} \frac{\varepsilon}{2\pi}$$

حال سوالی که پیش می آید این است که از کدام روش برای طراحی حلزونی استفاده شود؟ پاسخ را می توان در دو بند خلاصه کرد:

❖ برای  $n_q < 25$  بهتر است از قوانین سرعت ثابت استفاده شود.

❖ برای  $n_q > 25$  بهتر است از قوانین ممنتوم ثابت استفاده شود.

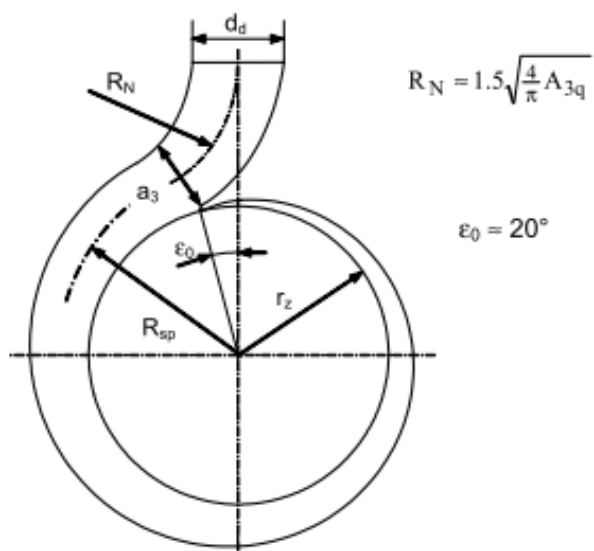
شایان ذکر است که در بازه‌ی سرعت مخصوص ۲۵ تا ۳۵ می توان از هر دو روش استفاده کرد.

### نکاتی پیرامون طراحی نازل خروجی

- دقیقاً بعد از حلزونی یک دیفیوزر (نازل) قرار می گیرد.
- در سرعت مخصوص های بالا ( $n_q \geq 80$ )، سیال در پایین دست گلویی نباید شتاب منفی داشته باشد. زیرا در غیر این صورت نازل بسیار بزرگ و غیر اقتصادی خواهد بود.
- در سرعت مخصوص های پایین شتاب منفی در پایین دست گلویی مطلوب است. نازل باید به گونه‌ای طراحی شود که شبیه ملایم داشته باشد و اتلاتکس هیدرولیکی آن کم باشد.
- طول دیفیوزر با توجه به تنش‌ها و ممنتوم‌های موجود محدود می شود.
- نازل‌های شعاعی و مماسی دو نوع از نازل‌های متداولند.
- اگر نازل مماسی باشد باید از زاویه‌ی ۶۰ درجه و اگر شعاعی باشد باید از زاویه‌ی ۲۰ درجه‌ی حلزونی شروع شود.
- شعاع میانگین، برای نازل‌های شعاعی برابر است با:

$$R_N = 1.5 \sqrt{\frac{4 A_{3q}}{\pi}}$$

در شکل ۱۱ نمونه‌ای از نازل‌های شعاعی نشان داده شده است.



شکل ۱۱

### منابع و مراجع

- Centrifugal pumps, Johhan F.Gulich, Springer, Leipzig, 2007.
- Centrifugal pumps: Design and application, Lobanoff Van.S & Ross.R , Gulf, 1987.
- Centrifugal and axial flow pumps, Stepanoff.A.J , Wiley and sons Inc, 1957.

## نحوه صحیح جوشکاری و تست فولاد ریخته گری بر اساس استاندارد **ASTM-A488**

این استاندارد به نحوه‌ی صحیح جوشکاری فولاد ریخته گری شده به روش قوس الکتریکی می‌پردازد. با رعایت این استاندارد خود به خود استاندارد ASME Section IX نیز ارضامی شود.

هر تولید کننده باید مطابق با شکل D1 میزان مطلوب بودن فرآیند جوشکاری، مطابق با شکل D2 میزان مطلوب بودن عملکرد جوشکار را ثبت کند.

### موقعیت جوشکاری

موقعیت جوشکاری بسته به افقی یا عمودی بودن صفحات اصلی به چهار دسته زیر تقسیم می‌شود :

۱- افقی

۲- عمودی

۳- تخت<sup>۱۱</sup>

۴- بالای سر<sup>۱۲</sup>

در شکل D3 و جدول D1 اطلاعات هندسی هرکدام از این چهار دسته ارائه شده است.

موقعیت تخت : این موقعیت شامل مواردی می‌شود که صفحه به صورت افقی قرار گرفته و فلز جوشکاری از بالا روی آن قرار می‌گیرد. حالت دیگری از این موقعیت لوله‌هایی است که محور آنها به صورت افقی قرار گرفته است و به دور محور خود می‌چرخد و فلز جوشکاری از بالا روی آن قرار می‌گیرد.

موقعیت افقی : این موقعیت شامل مواردی است که صفحه به صورت عمودی قرار گرفته است و خط جوش در حالت افقی روی آن قرار دارد. حالت دیگر این موقعیت لوله‌ای است که محور آن عمودی است و خط جوش به صورت افقی روی آن قرار می‌گیرد.

موقعیت عمودی : این موقعیت شامل حالتی می‌شود که صفحه و خط جوش هر دو به صورت عمودی قرار گیرند.

موقعیت بالای سر : این موقعیت شامل حالتی است که صفحه به صورت افقی قرار گیرد و فلز جوشکاری از زیر به صفحه وارد شود.

موقعیت ثابت افقی : این موقعیت شامل حالتی می‌شود که لوله‌ای با محور افقی قرار بگیرد و خط جوش به صورت عمودی روی آن قرار می‌گیرد. در این حالت لوله حرکت نمی‌کند و ثابت است.

<sup>11</sup> flat

<sup>12</sup> overhead

## جدول D1

موقعیت	شماره شکل	انحراف محور (درجه)	گردش صفحه (درجه)
پهن	A	۰ تا ۱۵	۱۵۰ تا ۲۱۰
افقی	B	۰ تا ۱۵	۱۵۰ تا ۸۰
			۲۸۰ تا ۲۱۰
بالای سر	C	۰ تا ۸۰	۸۰ تا ۰
			۳۶۰ تا ۲۸۰
عمودی	D	۱۵ تا ۸۰	۲۸۰ تا ۸۰
	E	۸۰ تا ۹۰	۳۶۰ تا ۰

نحوه تهیه ی صفحات تست :

نمونه ی تست حتما باید هم جنس با قطعه ی اصلی باشد و عملیات حرارتی صورت گرفته روی آن قبل و بعد از جوشکاری مشابه با قطعه ی اصلی باشد. تعداد نمونه های مورد نیاز با توجه به ابعاد نمونه ی تست تعیین شود. محل اتصال در نمونه باید با همان خط جوش قطعه اصلی جوش داده شود. ابعاد این خط جوش اهمیتی ندارد. ضخامت قطعه با توجه به جداول ۲ و D۳ تعیین می شود.

أنواع تست :

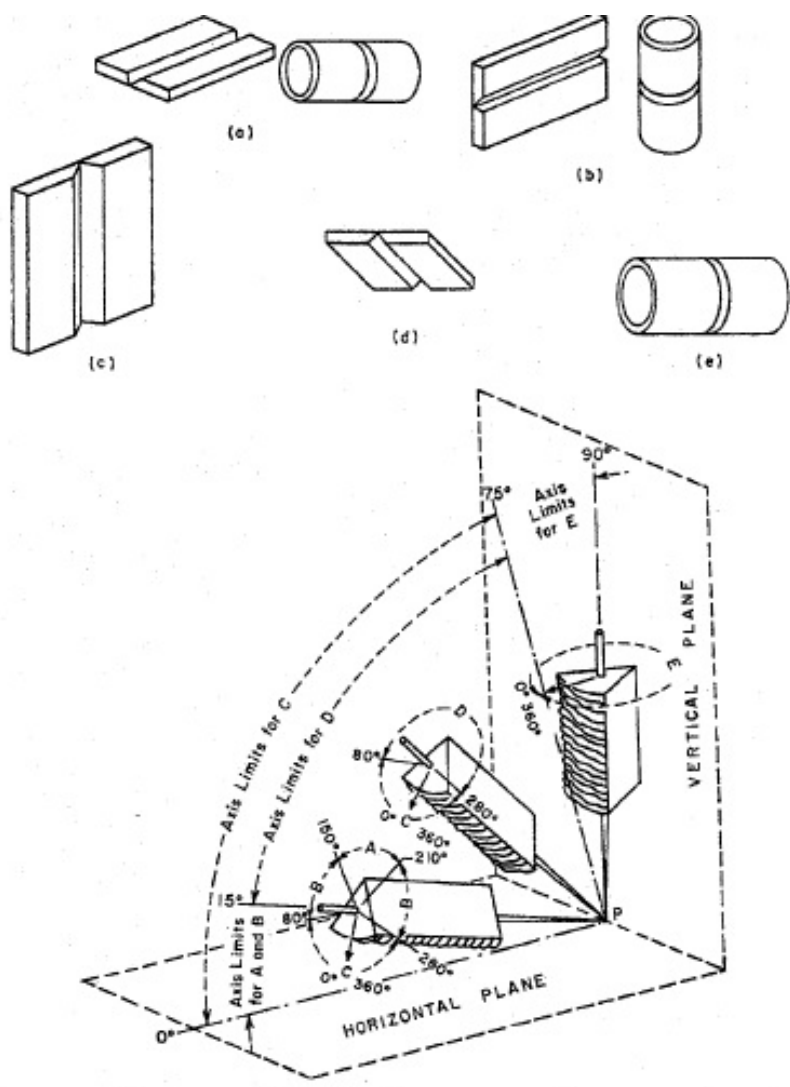
چهار نوع تست برای بررسی و قبول نمونه انجام می شود:

- ۱- تست کشش : این تست به منظور سنجش مقاومت خط جوش مورد استفاده قرار می گیرد.
- ۲- تست خمش : این تست به منظور سنجش درستی و چکش خواری خط جوش مورد استفاده قرار می گیرد.
- ۳- تست ضربه شارپی : این تست به منظور سنجش مقاومت ضربه ای خط جوش ها شیاری مورد استفاده قرار می گیرد.
- ۴- تست رادیوگرافی : این تست به منظور سنجش مهارت جوشکار مورد استفاده قرار می گیرد.

کد مدرک : QC-W-2 شماره پازنتری : ۰۰ تاریخ پازنتری : ۹۲/۷/۱۱	عنوان مدرک : فرآیند جوشکاری (پروسی) WPQ	 آریا سپهر کیهان				
شماره فرآیند ..... تاریخ ..... متریال ..... تا ..... از دسته ..... محدوده ضخامت قابل قبول ..... ضخامت صفحه (بلیت) .....  Filler Metal F Group No ..... Weld Deposit A Group No .....  نرکیب گاز ..... دلی حجمی گاز ..... مشخصه های روابط (Flux) سووار پشت بند (در صورت وجود) ..... محدوده دمای پس گرمایش ..... موقعیت شیار ..... قطر سیم جوش ..... Single/Multiple  نوع پشت بند ..... نام تجاری ..... Forehand/Backhand ..... Amps ..... Volts ..... Inches/min ..... دمای پس گرمایش ..... مدت زمانی که در آن دما حفظ می شود ..... 						
نتایج تست گشش						
شماره نمونه	عرض	ضخامت	مساحت	بار کل نهایی	تنش نهایی واحد	نوع failure و موقعیت آن
نتایج تست خمش						
شماره نمونه	نیزجہ	شماره نمونه	نیزجہ			
نام جوشکار ..... نام تست گیر .....  بدین وسیله تضمین می شود که تمامی نتایج مندرج در این فرم حقیقی است و تمامی فرآیند بر اساس ملزومات استاندارد انجام گرفته است. انجام گرفته است ASTM						
سمت :  لامض و تاریخ :						

D1 شکل

شکل D۲



شکل ۴۲

جدول D۲- نوع و تعداد نمونه های تست و محدوده ای ضخامت مورد قبول (پرسه)

ضخامت صفحه یا لوله ای که روی آن جوشکاری صورت گرفته است (t) (اینج)	محدوده ضخامت مورد قبول (اینج)		نوع و تعداد تست های مورد نیاز			
	مینیموم	ماکزیمم	کشش در سطح کاهش یافته	خمس از کناره	خمس از رویه	خمس از قاعده
$\frac{3}{8}$ تا $\frac{1}{16}$	$\frac{1}{16}$	2t	2	-	2	2
$\frac{3}{4}$ تا $\frac{3}{8}$	$\frac{3}{16}$	2t	2	-	2	2
$\frac{3}{2}$ تا $\frac{3}{4}$	$\frac{3}{16}$	2t	2	4	-	-
بیشتر از $\frac{3}{2}$	$\frac{3}{16}$	8	2	4	-	-

\* اگر از جوشکاری جهت ترمیم و تعمیر استفاده شود، ضخامت مینیموم اهمیتی ندارد.

\* ماکزیمم ضخامت مورد قبول برای لوله هایی کوچکتر از ۵ اینج، مینیموم دو مقدار دو برابر ضخامت آن یا  $\frac{3}{4}$  اینج است.

جدول D۳- نوع و تعداد نمونه های تست و محدوده ای ضخامت مورد قبول (عملکرد)

ضخامت صفحه یا لوله ای که روی آن جوشکاری صورت گرفته است (t) (اینج)	ضخامت مورد قبول	نوع و تعداد تست های مورد نیاز		
		خمس از کناره	خمس از رویه	خمس از قاعده
کمتر از $\frac{3}{8}$	2t	-	1	1
$\frac{3}{4}$ تا $\frac{3}{8}$	2t	-	1	1
$\frac{3}{4}$ تا $\frac{3}{8}$	2t	2	-	-
بیشتر از $\frac{3}{4}$	تا جایی که جوشکاری امکان پذیر باشد	2	-	-

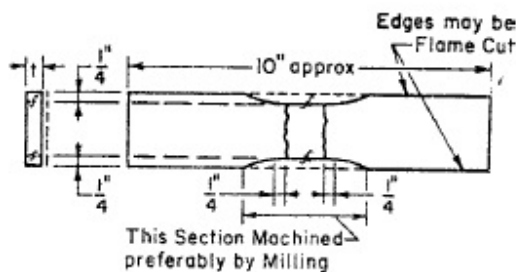
شرط اتصال باید مطابق شکل D۴ باشد.



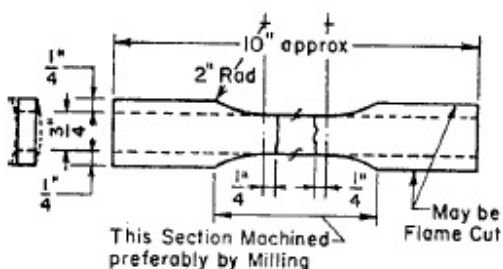
شکل D4

#### تست کشش:

ضخامت صفحه یا لوله مورد تست قرار گرفته شده با توجه به شکل های D5 و D6 به دست می آید. شایان ذکر است که اندازه لوله ها بیشتر از ۳ اینچ است.



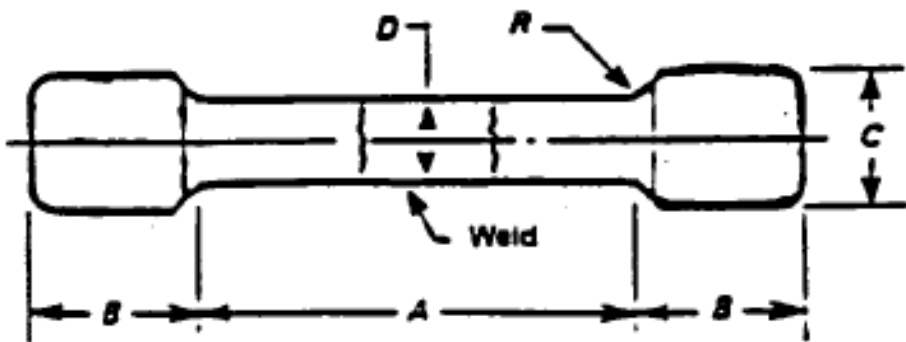
شکل D5- تست کشش برای صفحه



شکل D6- تست کشش برای لوله

برای صفحات و لوله هایی با ضخامت زیر یک اینچ، یک نمونه تست و برای بیشتر از ۱ اینچ، یک یا چند نمونه کافی است. هنگامی که از چند نمونه استفاده می شود، هر نمونه یک تست کشش را متحمل می شود.

برای تست کشش می توان از نمونه هایی که نمونه های واژگون نام دارند استفاده کرد که در شکل D7 و جدول D4 ارائه شده اند.



شکل D7

اگر جوش نمونه‌ی تست شده استحکام کششی ای بیشتر از ۹۵٪ استحکام کششی تعیین شده داشت، این تست را با موفقیت پشت سر گذاشته است. برای اطلاعات بیشتر پیرامون تست کشش به استاندارد ASTM- A370 رجوع شود.

جدول D4

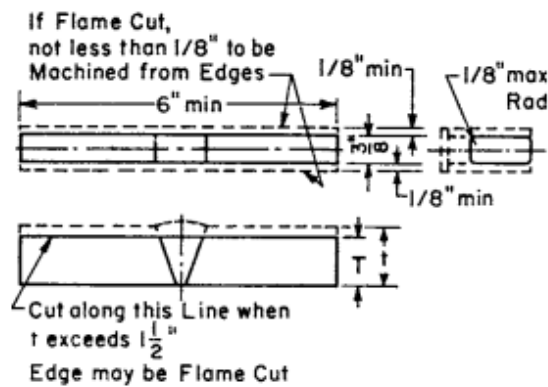
ابعاد استاندارد (اینچ)				
	(a) نمونه ۰/۵۰۵	(b) نمونه ۰/۳۵۳	(c) نمونه ۰/۲۵۲	(d) نمونه ۰/۱۸۸
A	*	*	*	*
D	$0.5 \pm 0.01$	$0.35 \pm 0.007$	$0.25 \pm 0.005$	$0.188 \pm 0.003$
R (min)	$\frac{3}{8}$	$\frac{1}{4}$	$\frac{3}{16}$	$\frac{1}{8}$
B	$1\frac{3}{8}$	$1\frac{1}{8}$	$\frac{7}{8}$	$\frac{1}{2}$
C	$\frac{3}{4}$	$\frac{1}{2}$	$\frac{3}{8}$	$\frac{1}{4}$

\* باید بزرگتر از مجموع عرض جوش و ۲۰ باشد.

### تست خمث :

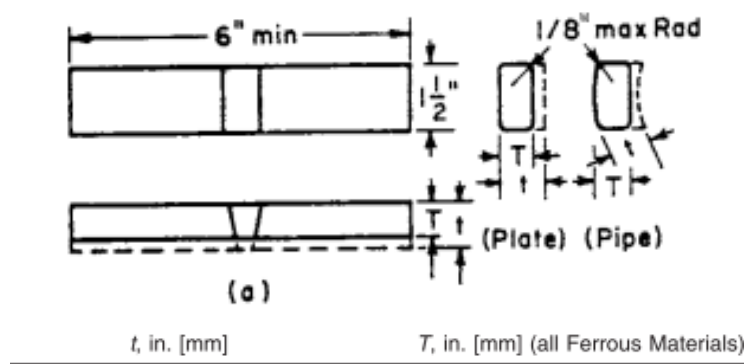
برای تهییه نمونه‌ی تست خمث باید صفحه یا لوله‌ی مورد نظر را به گونه‌ای برش داد که سطح مقطع آن مستطیلی شکل باشد. سطوح بربیده شده وجوده جانبی و دو وجه دیگر رویه و قاعده نام دارند. گرده سطحی است که خط جوش با بیشترین ضخامت روی آن قرار دارد. بسته به اینکه کدام وجه، وجه محدب خارجی می‌شود سه نوع تست خمث موجود است.

**خمث جانبی :** خط جوش در عرض محور طولی نمونه وجود دارد و نمونه به گونه‌ای خم می‌شود که یکی از وجوده جانبی سطح محدب خمث باشد. در شکل D8 نمونه‌ی این تست ارائه شده است.



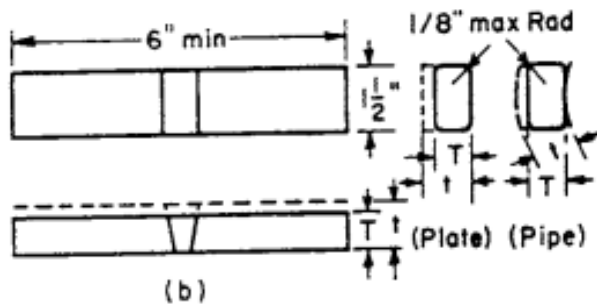
شکل D8

خمش گرده ای : خط جوش در عرض محور طولی نمونه وجود دارد و نمونه به گونه ای خم می شود که گرده ای آن سطح محدب خمش باشد. در شکل D9 نمونه‌ی این تست ارائه شده است.



شکل D9

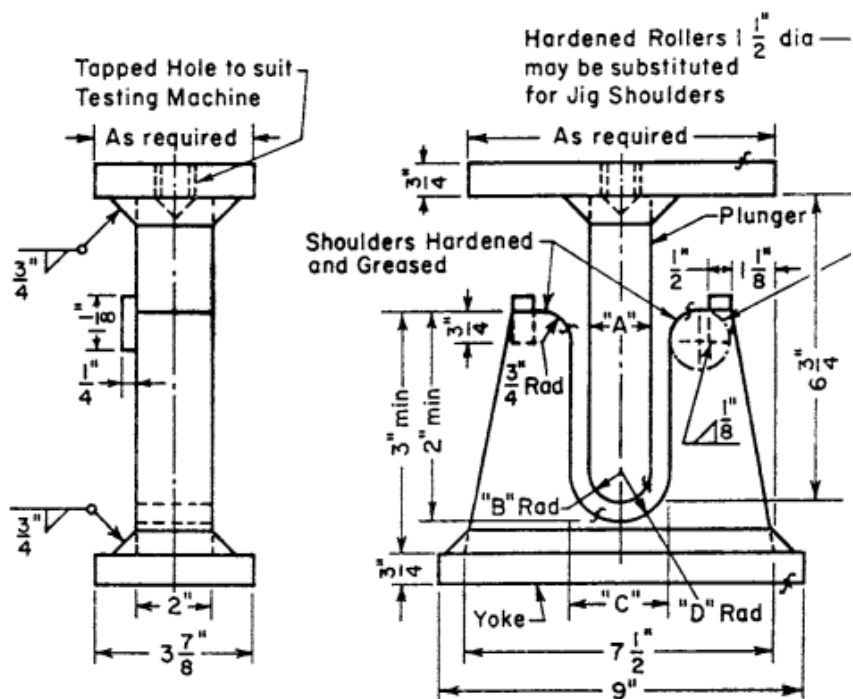
خمش ریشه ای : خط جوش در عرض محور طولی نمونه وجود دارد و نمونه به گونه ای خم می شود که ریشه‌ی آن سطح محدب خمش باشد. در شکل D10 نمونه‌ی این تست ارائه شده است.



شکل D10

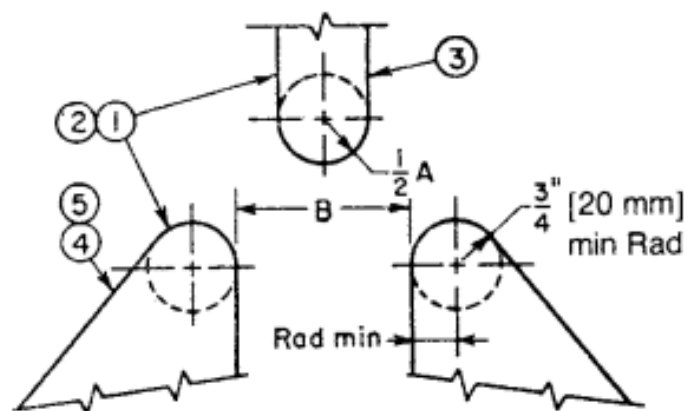
تعداد تست های خمس مورد نیاز برای نمونه های مختلف در جداول ۲ و D۳ آورده شده است. اگر ضخامت قطعه ی اصلی بیشتر از ۱/۵ اینچ باشد، نمونه ای با ضخامتی بین ۰/۷۵ و ۰/۵ اینچ از آن برداشته می شود.

نمونه های تست خمس باید در راهنمای تست خم شوند. تعدادی از این راهنمای های تست در شکل های D11 تا D13 ارائه شده است. بسته به نوع تست خمس، صفحه ی تحت خمس باید در مکتم خالی بین دو فک قرار گیرد.

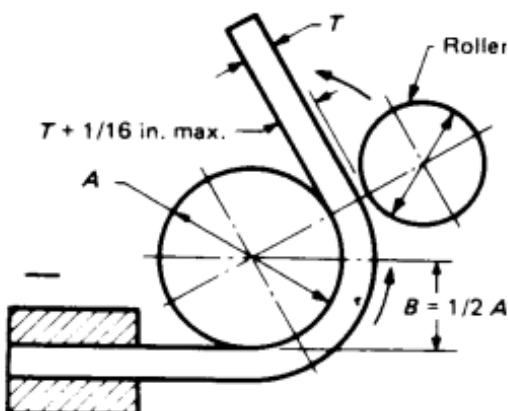


ضخامت نمونه	A (in)	B(in)	C(in)	D(in)
$\frac{3}{8}$	$1\frac{1}{2}$	$\frac{3}{4}$	$2\frac{3}{8}$	$1\frac{3}{16}$
t	$4t$	$2t$	$6t+\frac{1}{8}$	$3t+\frac{1}{6}$

شکل D11



شکل D12



شکل D13

برای سنجش نمونه به موارد زیر توجه شود :

- ۱- وجه محدب خمش نباید در هیچ جهتی هیچ گونه ترکی یا هر نقص دیگری بزرگتر از  $\frac{1}{8}$  اینچ داشته باشد.
- ۲- از ترک های کناره ای وجه محدب خمش می توان صرف نظر کرد، مگر اینکه دلیل واضحی مبنی بر ارتباط این ترک با دخول سرباره به قطعه در دست باشد.

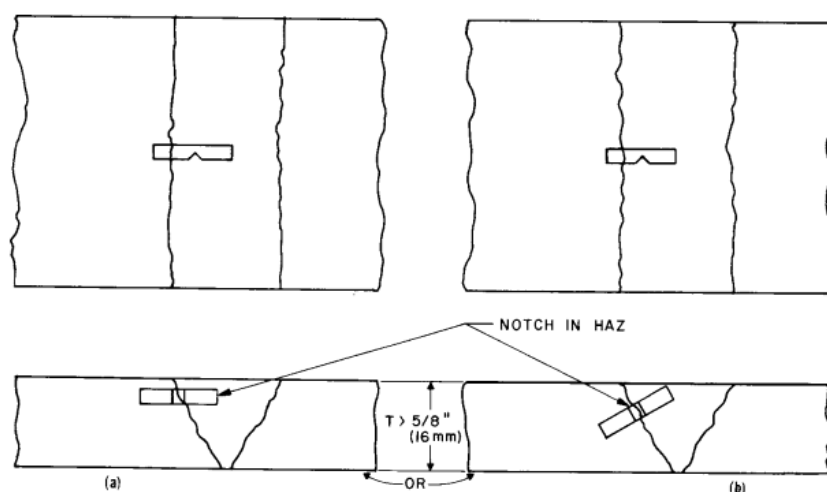
اگر میزان چکش خواری قطعه ای اصلی آنقدر بالا باشد که نتوان روی آن تست خمش را انجام داد، باید ابتدا با استفاده از عملیات حرارتی مخصوص شرایط را برای خمش آن محیا کرد. اگر قطعه طبق خمش جانبی ۵ درجه خم شد و ترکی روی سطح محدب خمش آن به وجود نیامد این تست را با موفقیت پشت سر گذاشته است.

تست ضربه‌ی شارپی:

اطلاعات کاملی از این تست در استاندارد A370 آورده شده است. در این تست فاقد V شکل عمود بر سطح قطعه به گونه‌ای قرار می‌گیرد که  $\frac{1}{16}$  اینچ داخل یک صفحه از آن شود. در نواحی تحت تأثیر عملیات حرارتی قرار گرفته، فاقد در عرض جوش بر آن عمود می‌شود. در شکل D14 نحوه قرارگیری فاقد نشان داده شده است.

ترتیب حذف بخش‌هایی از نمونه

در شکل‌های D15 و D16 ترتیب حذف بخش‌هایی از نمونه جهت تشکیل نمونه‌ی تست مورد نظر نشان داده شده است.



D14

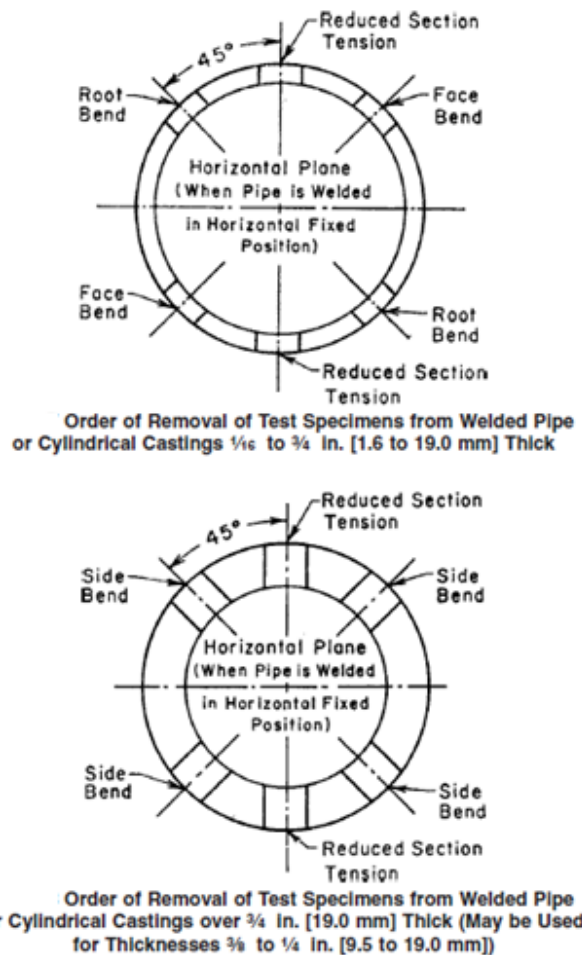
Discord	this piece
Reduced Section	Tension Specimen
Root Bend	Specimen
Face Bend	Specimen
Root Bend	Specimen
Face Bend	Specimen
Reduced Section	Tension Specimen
Discard	this piece

Discord	this piece
Side Bend	Specimen
Reduced Section	Tension Specimen
Side Bend	Specimen
Reduced Section	Tension Specimen
Side Bend	Specimen
Discard	this piece

  
Order of Removal of Test Specimens from Test Plate  $\frac{1}{4}$  in. to  $\frac{3}{4}$  in. [1.6 to 19.0 mm] ThickOrder of Removal of Test Specimens from Welded Test Plates over  $\frac{3}{4}$  in. [19.0 mm] Thick (May be Used for Thicknesses  $\frac{3}{8}$  in. to  $\frac{3}{4}$  in. [9.5 to 19.0 mm])

D15



شکل D16

### بررسی مطلوب بودن فرآیند

- ۱- هر تولید کننده یا پیمانکاری باید فرآیند جوشکاری را در فرم های مشابه با فرم های ارائه شده ثبت کند.
- ۲- تعداد تست های خمس مورد نیازی که برای هر قطعه با توجه به ضخامت آن مورد نیاز است در جدول D2 آورده شده است.
- ۳- نمونه باید مطابق شکل های D15 و D16 از صفحه یا لوله برداشته شود.
- ۴- نمونه های برداشته شده باید موارد صلاحیت اشاره شده در هر تست را با موفقیت پشت سر بگذارد.

## بررسی دوباره مطلوب بودن فرآیند

در صورتی که هر یک از ۱۲ حالت زیر برای قطعه اتفاق افتاد، فرآیند جوشکاری باید به عنوان فرآیندی جدید تنظیم شده و مطلوب بودن آن بررسی شود:

۱- تغییر متریال پایه از یک دسته به دسته‌ی دیگر. هنگامی که دو قطعه از دو جنس مختلف به هم جوش داده می‌شوند، مطلوب بودن فرآیند باید برای ترکیب دو متریال بررسی شود. شایان ذکر است که دسته بندی مواد مختلف در جدول D۵ آورده شده است.

۲- هر گونه تغییر در آنالیز سرباره‌ی جوش یا جنس الکترود نیاز به بررسی دوباره مطلوب بودن تحت هرکدام از شرایط زیر را الزامی می‌کند.

۲-۱- هنگامی که A No متریال تغییر کند. (جدول D۶)

۲-۲- هنگامی که F No متریال تغییر کند. (جدول D۷)

۳- کاهش ۱۰۰ درجه‌ی فارنهایت یا بیشتر در دمای پیش‌گرم‌سازی.

۴- تغییر در عملیات حرارتی بعد از جوشکاری یا سیکل زمانی آن.

۵- تغییر در پشتبند یا قلم افتادگی مواردی در نسخه‌ی قبلی.

۶- تغییر در پروسه‌ی جوشکاری.

۷- در جوشکاری زیر آب که نوع آلیاژ فلز جوشکاری شدیداً وابسته به جنس ذوب کننده است، هر گونه تغییر در فرآیند جوشکاری که باعث تغییر در ترکیب شیمیایی فلز شود.

۸- در جوشکاری زیر آب هر گونه تغییر در جنس ذوب کننده.

۹- در جوشکاری زیر آب تغییر ترکیب فیلر از حالتی که بین ۱/۷۵ تا ۲/۲۵ درصد و حالتی که زیر ۱ درصد منگنز داشته باشد.

۱۰- در جوشکاری زیر آب تغییر A No پرکننده. (جدول D۶)

۱۱- در جوشکاری قوس الکتریکی فلزی و تنگستنی:

۱۱-۱- هر گونه تغییر در ترکیبات گاز مورد استفاده در جوشکاری.

۱۱-۲- تغییر بیش از ۱۰٪ در دبی حجمی گاز.

۱۲- در جوشکاری قوس الکتریکی فلزی تغییر الکترود مصرفی از نوع روکش دار به نوع زیرپودری.

## جدول D5

شماره دسته	نوع متریال	ASTM	گریدها
1	فولاد کربنی (کربن کمتر از $0.35\%$ درصد، استحکام کششی کمتر یا مساوی $ksi$ (۷۰	A27	همه
		A216	WCA, WCB
		A352	LCB, LCA
		A356	1
		A732	1A, 2A
		A757	A1Q
		A958	SC 1020, SC 1025, SC 1030, SC 1040, SC 1045, کلاس های: 65/35, 70/36
2	فولاد کربنی (استحکام کششی بیش از $70 ksi$ ) - فولاد کربن-منگنز (استحکام کششی بین $70$ تا $90 ksi$ )	A148	80-40
		A216	WCC
		A352	LCC
		A732	2Q, 3A
		A757	A2Q
		A958	SC 1030, SC 1040, SC 1045 کلاس های: 80/40, 80/50
3	فولاد کربنی و فولاد کربن-منگنز (استحکام کششی بیش از $90 ksi$ )	A732	3Q, 4A, 4Q, 5N
		A958	SC 1045 کلاس های: 90/60, 105/85, 115/95
4	فولاد کم آلیاژ (آنیل شده، نرمالیزه شده، نرمالیزه و حرارت داده شده، استحکام کششی کمتر از $85 ksi$ )	A148	80-50
		A217	WC1, WC4, WC5, WC6, WC9
		A352	LC1, LC2, LC3, LC4
		A356	2, 5, 6, 8
		A389	C23, C24
		A487	11A, 12A, 16A
		A757	B2N, B3N, B4N
		A985	SC 4130, SC 4140, SC 8620, SC 8625, SC 8630 کلاس های: 65/35, 70/36, 80/40, 80/50
5	فولاد کم آلیاژ (آنیل شده، نرمالیزه شده، نرمالیزه و حرارت داده شده، استحکام کششی بیشتر از $85 ksi$ )	A148	90-60, 105-85
		A217	C5, C12, C12A, WC11
		A356	9, 10, 12
		A487	1A, 1C, 2A, 2C, 4A, 4C, 6A, 8A, 9A, 9C, 10A, 13A
		A732	6N, 15A
		A757	D1N1, D1N2, D1N3, E2N1, E2N2, E2N3
		A958	SC 4340

			کلاس های: 90/60, 105/85
6	فولاد کم آلیاژ ( کوئنچ و حرارت داده شده )	A148	90-60, 105-85, 115-95, 130-115, 135-125, 150-135, 160-145, 165-150, 165-150L, 210-180, 210-180L, 260-210, 260-210L
		A352	LC2-1, LC1, LC2, LC3, LC4, LC9
		A487	1B, 1C, 2B, 2C, 4B, 4C, 4D, 4E, 9A, 9B, 9C, 9D, .6B, 7A, 8B, 8C 9E, 10B, 11B, 12B, 13B, 14A
		A732	7Q, 8Q, 9Q, 10Q, 11Q, 12Q, 13Q, 14Q
		A757	B2Q, B3Q, B4Q, C1Q, D1Q1, D1Q2, D1Q3, E1Q, E2Q1, E2Q2, E2Q3
		A958	SC 4140, SC 4130, SC 4340, SC 8620, SC 8625, SC 8630, کلاس های: 115/95, 130/115, 135/125, 150/ 135, 160/145, 165/150, 210/180
7	فولاد ضد زنگ فریتی	A743	CB-30, CC-50
8	فولاد ضد زنگ مارتنزیتی	A217	CA-15
		A352	CA6NM
		A356	CA6NM
		A487	CA15-A, CA15-B, CA15-C, .CA15-D, CA15M-A CA6NM-A, CA6NM-B
		A743	CA-15, CA-15M, CA6NM, CA-40, CA6N, CB6
		A757	E3N
9	فولاد آستنیتی ضد زنگ کم کربن ( کربن کمتر از ۰/۰۳٪ )	A351	CF-3, CF-3A, CF-3M, CF-3MA, CF-3MN, CK3MCUN, CG3M, CN3MN
		A743	CF-3, CF-3M, CF-3MN, CK-3MCUN, CN-3M, CG3M CN3MN
		A744	CF-3, CF-3M, CK-3MCUN, CG3M, CN3MN
10	فولاد آستنیتی ضد زنگ غیرپایدار ( کربن بیشتر از ۰/۰۳٪ )	A351	CE-8MN, CF-8, CF-8A, CF-8M, .CF-10, CF-10M CG-8M, CH-8, CH-10, CH-20,

			<i>CF10S1MNN, ,CG6MMN CE20N</i>
		A447	<i>Type I</i>
		A743	<i>CF-8, CG-12, CF-20, CF-8M, ,CF-16F, CF10SMNN CH-20, CG-8M, CE-30, CG6MMN, CH10, CF16Fa</i>
		A744	<i>CF-8, CF-8M, CG-8M</i>
11	فولاد آستنیتی ضد زنگ پایدار	A351	<i>CF-8C, CF-10MC, CK-20, HK- .30, HK-40, HT-30 CN-7M, CT-15C</i>
		A447	<i>Type II</i>
		A743	<i>CF-8C, CN-7M, CN-7MS, CK- 20</i>
		A744	<i>CF-8C, CN-7M, CN-7MS</i>
12	فولاد دوبلکس (آستنیتی- فریتی) ضد زنگ	A351	<i>CD3MWCuN, CD-4MCU</i>
		A872	<i>J93183, J93550</i>
		A890	<i>1A, 1B, 2A, 3A, 4A, 5A, 6A</i>
		A995	<i>1B, 2A, 3A, 4A, 5A, 6A</i>
13	فولاد آستنیتی رسوی - سخت کاری شده ب ضد زنگ	A747	<i>CB7CU-1, CB7CU-2</i>
14	آلیاژ پایه نیکل	A494	<i>CW-12MW, CY-40 Class 1, CY- .40 Class 2, CZ-100 M-35-1, M-35-2, M-30C, N- -12MV, N-7M, CW-6M, CW 2M, CW-6MC, CX-2MW, CU5MCUC</i>
		A990	<i>CW2M</i>
15	فولاد ریخته گری، آستنیتی- منگنز	A128	<i>A, B-1, B-2, B-3, B-4, C, D, E-1, E-2, F</i>

جدول D5

آنالیز							
A No	سرباره جوش	کربن .%	کروم .%	مولبیدن .%	نیکل .%	منگنز .%	سیلیسیم .%
۱	فولاد نرم	max 0.15	-	-	-	max 1.6	max 1.00
۲	کربن - مولبیدن	max 0.15	max 0.50	0.40 - 0.65	-	max 1.6	max 1.00
۳	کروم (۴ /۰ تا - ۲ درصد) - مولبیدن	max 0.15	0.40 - 2.00	0.40 - 0.65	-	max 1.6	max 1.00
۴	کروم (۲ تا ۶ درصد) - مولبیدن	max 0.15	2.00 - 6.00	0.40 - 1.50	-	max 1.6	max 2.00
۵	کروم (۶ تا 10/۵ درصد) - مولبیدن	max 0.15	6.00 - 10.50	0.40 - 1.50	-	max 1.2	max 2.00
۶	کروم - مارتنزیت	max 0.15	11.00 - 15.00	max 0.70	-	max 2.00	max 1.00
۷	کروم - فریت	max 0.15	11.00 - 30.00	max 1.00	-	max 1.00	max 3.00
۸	کروم - نیکل	max 0.15	14.50 - 30.00	max 4.00	7.50 - 15.00	max 2.50	max 1.00
۹	کروم - نیکل	max 0.30	25.00 - 30.00	max 4.00	15.00 - 37.00	max 2.50	max 1.00
۱۰	نیکل تا ۴ درصد	max 0.15	-	max 0.55	0.80 - 4.00	max 1.70	max 1.00
۱۱	منگنز - مولبیدن	max 0.17	-	0.25 - 0.75	max 0.85	1.25 - 2.25	max 1.00
۱۲	نیکل - کروم - مولبیدن	max 0.15	max 1.50	0.25 - 0.80	1.25 - 2.80	0.75 - 2.25	max 1.00

## جدول DY

F No	* ANSI/AWS مشخصه	ANSI/AWS دسته بندی
۱	SFA-5.1 & 5.5	EXX20, EXX22, EXX24, EXX27, EXX28
۱	SFA-5.4	EXX25, EXX26
۲	SFA-5.1 & 5.5	EXX12, EXX13, EXX14, EXX19
۳	SFA-5.1 & 5.5	EXX10, EXX11
۴	SFA-5.1 & 5.5	EXX15, EXX16, EXX18, EXX48
۴	(به جز آستینیتی و دوبلکس) SFA-5.4	EXX15, EXX16, EXX17
۵	(آستینیتی و دوبلکس) SFA-5.4	EXX-15, EXX-16, EXX-17
۶	SFA-5.2	RX
۶	SFA-5.17	FXX-EXX, FXX-ECX
۶	SFA-5.9	ERXX, ECXX, EQXX
۶	SFA-5.18	ERXXS-X, EXXC-X, EXXC-XX
۶	SFA-5.20	EXXT-X
۶	SFA-5.22	EXXXT-X
۶	SFA-5.23	FXX-EXXX-X, FXX-ECXXX-X, FXX-EXXX-XN, FXX-ECXXX-XN
۶	SFA-5.25	FESXX-EXXXXX-EW
۶	SFA-5.26	EGXXS-X, EGXXT-X
۶	SFA-5.28	ERXXS-X, EXXC-X
۶	SFA-5.29	EXXTX-X
۶	SFA-5.30	INXXXX
۴۱	SFA-5.11	ENi-1
۴۱	SFA-5.14	ERNi-1
۴۱	SFA-5.30	IN61
۴۲	SFA-5.11	ENiCu-7
۴۲	SFA-5.14	ERNiCu-7
۴۲	SFA-5.14	ERNiCu-8
۴۲	SFA-5.30	IN60
۴۳	SFA-5.11	ENiCrFe-1
۴۳	SFA-5.11	ENiCrFe-2
۴۳	SFA-5.11	ENiCrFe-3
۴۳	SFA-5.11	ENiCrFe-4
۴۳	SFA-5.11	ENiCrFe-7
۴۳	SFA-5.11	ENiCrFe-9
۴۳	SFA-5.11	ENiCrFe-10
۴۳	SFA-5.11	ENiCrCoMo-1

۴۳	SFA-5.11	ENiCrMo-2
۴۳	SFA-5.11	ENiCrMo-3
۴۳	SFA-5.11	ENiCrMo-6
۴۳	SFA-5.11	ENiCrMo-12
۴۳	SFA-5.14	ERNiCr-3
۴۳	SFA-5.14	ERNiCr-4
۴۳	SFA-5.14	ERNiCr-6
۴۳	SFA-5.14	ERNiCrFe-5
۴۳	SFA-5.14	ERNiCrFe-6
۴۳	SFA-5.14	ERNiCrFe-7
۴۳	SFA-5.14	ERNiCrFe-8
۴۳	SFA-5.14	ERNiCrFe-11
۴۳	SFA-5.14	ERNiCrCoMo-1
۴۳	SFA-5.14	ERNiCrMo-2
۴۳	SFA-5.14	ERNiCrMo-3
۴۳	SFA-5.30	IN82
۴۳	SFA-5.30	IN62
۴۳	SFA-5.30	IN62A
۴۴	SFA-5.11	ENiMo-1
۴۴	SFA-5.11	ENiMo-3
۴۴	SFA-5.11	ENiMo-7
۴۴	SFA-5.11	ENiMo-8
۴۴	SFA-5.11	ENiMo-9
۴۴	SFA-5.11	ENiMo-10
۴۴	SFA-5.11	ENiCrMo-4
۴۴	SFA-5.11	ENiCrMo-5
۴۴	SFA-5.11	ENiCrMo-7
۴۴	SFA-5.11	ENiCrMo-10
۴۴	SFA-5.11	ENiMo-13
۴۴	SFA-5.11	ENiMo-14
۴۴	SFA-5.14	ERNiMo-1
۴۴	SFA-5.14	ERNiMo-2, ERNiMo-3
۴۴	SFA-5.14	ERNiMo-7 (Alloy B-2)
۴۴	SFA-5.14	ERNiMo-8
۴۴	SFA-5.14	ERNiMo-9
۴۴	SFA-5.14	ERNiMo-10
۴۴	SFA-5.14	ERNiCrMo-4

۴۴	SFA-5.14	<i>ERNiCrMo-5</i>
۴۴	SFA-5.14	<i>ERNiCrMo-7 (Alloy C-4)</i>
۴۴	SFA-5.14	<i>ERNiCrMo-10</i>
۴۴	SFA-5.14	<i>ERNiCrMo-13</i>
۴۴	SFA-5.14	<i>ERNiCrMo-14</i>
۴۴	SFA-5.14	<i>ERNiCrWMo-1</i>
۴۵	SFA-5.11	<i>ENiCrMo-1</i>
۴۵	SFA-5.11	<i>ENiCrMo-9</i>
۴۵	SFA-5.11	<i>ENiCrMo-11</i>
۴۵	SFA-5.14	<i>ERNiCrMo-1</i>
۴۵	SFA-5.14	<i>ERNiFeCr-1</i>
۴۵	SFA-5.14	<i>ERNiCrMo-8</i>
۴۵	SFA-5.14	<i>ERNiCrMo-9</i>
۴۵	SFA-5.14	<i>ERNiCrMo-11</i>
۷۱	SFA-5.13	<i>EFeMn-A, EFeMn-B, EFeMn-C, EFeMn-D, EFeMn-E, EFeMn-F, EFeMnCr</i>

\* موضوع هر کدام از *SFA* ها به شرح زیر است:

\* *SFA-5.1*= الکترود های فولاد کربنی مناسب برای جوشکاری قوس الکتریکی فلزی

\* *SFA-5.2*= میله های فولاد کربنی و کم آلیاژ مناسب برای جوشکاری استیلن

\* *SFA-5.3*= الکترود های آلمینیومی و آلیاژ آن مناسب برای جوشکاری قوس الکتریکی فلزی

\* *SFA-5.4*= الکترود های فولاد ضد زنگ مناسب برای جوشکاری قوس الکتریکی فلزی

\* *SFA-5.6*= الکترود های فولاد کم آلیاژ مناسب برای جوشکاری قوس الکتریکی فلزی

\* *SFA-5.7*= الکترود های با پوشش مسی و آلیاژ های مس مناسب برای جوشکاری

\* *SFA-5.8*= فلزات پر کننده‌ی مناسب برای لحیم کاری و جوش های لحیمی

\* *SFA-5.9*= الکترود ها و میله های فولاد ضد زنگ بدون روکش مناسب برای جوشکاری

\* *SFA-5.10*= الکترود ها و میله های آلمینیوم و آلیاژ آلمینیومی مناسب برای جوشکاری

\* *SFA-5.11*= الکترود ها و میله های نیکل و آلیاژ نیکلی بدون روکش مناسب برای جوشکاری قوس الکتریکی فلزی

\* *SFA-5.12*= الکترود ها و میله های تنگستن و آلیاژ تنگستنی بدون روکش مناسب برای جوشکاری و برشکاری قوس الکتریکی فلزی

\* *SFA-5.13=solid surfacing*= الکترود ها و میله های مناسب برای

- \* SFA-5.14= الکترودها و میله های نیکل و آلیاژ نیکلی مناسب برای جوشکاری روکشی
- \* SFA-5.15= الکترودها و میله های مناسب برای جوشکاری آهن ریخته گری
- \* SFA-5.16= الکترودها و میله های جوشکاری تیتانیوم و آلیاژهای تیتانیوم
- \* SFA-5.17= الکترودهای فولاد کربنی مناسب برای جوشکاری زیر آب
- \* SFA-5.18= الکترود های فولاد کربنی مناسب برای جوشکاری قوس الکتریکی گازی
- \* SFA-5.20= الکترود های فولاد کربنی مناسب برای جوشکاری قوس الکتریکی توپودری
- \* SFA-5.21= surfacing الکترود های روکش دار فولاد کربنی مناسب برای
- \* SFA-5.22= الکترودهای فولاد ضد زنگ مناسب برای جوشکاری قوس الکتریکی زیر پودری و میله های زیر پودری فولاد ضد زنگ مناسب برای جوشکاری قوس الکتریکی گاز تنگستن
- \* SFA-5.23= الکترودهای فولاد کم آلیاژ مناسب برای جوشکاری زیر آب
- \* SFA-5.24= الکترودها و میله های مناسب برای جوشکاری زیرکونیوم و آلیاژهای آن
- \* SFA-5.25= الکترودهای فولاد کربنی و کم آلیاژ مناسب برای جوشکاری الکترو گازی
- \* SFA-5.26= الکترودهای فولاد کربنی و کم آلیاژ مناسب برای جوشکاری الکتریکی
- \* SFA-5.28= الکترود ها و میله های فولاد کم آلیاژ مناسب برای جوشکاری قوس الکتریکی
- \* SFA-5.29= الکترود ها و میله های فولاد کم آلیاژ مناسب برای جوشکاری زیرپودری
- \* SFA-5.30= مواد پرکننده مصرفی
- \* SFA-5.31= سیم لحیم کاری
- \* SFA-5.32= گازهای جوشکاری
- \* SFA-5.34= الکترودهای آلیاژ نیکل مناسب برای جوشکاری قوس الکتریکی زیرپودری

## مقدمه ای بر سیستم های اندازه گیری

### مقدمه

یک سیستم اندازه گیری شامل تعدادی از واحد های اندازه گیری است که به وسیله‌ی آنها می‌توان هر مقداری را اندازه گرفت. در سیستم های اندازه گیری کنونی، تعدادی از واحد ها به عنوان واحدهای اصلی (بنیادی) انتخاب می‌شوند. سایر واحدها بر اساس همین واحدهای اصلی تعریف می‌شوند.

از میان سیستم های اندازه گیری موجود سه سیستم اندازه گیری بیشترین کاربرد را دارند. سیستم های متريک تقریباً در تمامی کشورهای دنیا سیستم اندازه گیری اصلی هستند. سیستم آمریکایی در آمریکا متدائل است. در کانادا نیز از دو سیستم آمریکایی و بریتانیایی استفاده می‌شود.

### سیستم متريک

سیستم متريک، یک سیستم استاندارد دهگانی جهت اندازه گیری است. در سیستم متريک، ضرایب و زیر ضرایب یکاهای از الگوی دهگانی پیروی می‌کنند. پیشوندهای متدائل یکاهای در سیستم دهگانی کتريك مطابق جدول ۱ است.

جدول ۱

نام	علامت	فاکتور
ترا	T	$10^{12}$
گیگا	G	$10^9$
مگا	M	$10^6$
کیلو	k	$10^3$
هکتو	h	$10^2$
دکا	da	$10^1$
-	-	1
دسی	d	$10^{-1}$
سانتی	c	$10^{-2}$
میلی	m	$10^{-3}$
میکرو	$\mu$	$10^{-6}$
نانو	n	$10^{-9}$
پیکو	p	$10^{-12}$

برای مثال سه مگاپاسکل برابر است با:

$$3MPa = 3 \times 10^6 Pa$$

برای محاسبه‌ی بعضی از یکاهای نیاز به اعمال توان روی فاکتورهای فوق وجود دارد. به طور مثال اگر مساحت یک مستطیل  $4\text{cm}^2$  باشد، مساحت استاندارد آن در واحد متریک برابر است با:

$$4\text{cm}^2 = 4 \times (10^{-3})^2 = 4 \times 10^{-6}\text{m}^2$$

یا حجم یک مکعب که  $35$  دسی متر مکعب است:

$$35\text{dm}^3 = 35 \times (10^{-1})^3 = 3.5 \times 10^{-2}$$

دو واحد اصلی در سیستم متریک همواره کیلوگرم به عنوان واحد جرم و متر به عنوان واحد طول می‌باشند.

### برخی گونه‌های سیستم متریک

#### ۱. سیستم سانتی متر – گرم – ثانیه (CGS)

از خصوصیات این سیستم بیان چگالی با یکای  $\frac{\text{g}}{\text{cm}^3}$ ، نیرو با یکای دین، انرژی مکانیکی در واحد ارگ و انرژی حرارتی در واحد کالری می‌باشد:

$$1\text{ dyne} = 1 \frac{\text{g.cm}}{\text{s}^2}$$

$$1\text{ erg} = 1\text{ dyne} \times \text{cm}$$

انرژی لازم برای بالا بردن دمای یک گرم آب از  $15.5$  درجه‌ی سانتیگراد است  $= 1\text{ calorie}$

#### ۲. سیستم متر – کیلوگرم – ثانیه (MKS)

این سیستم که با نام سیستم بین‌المللی یکاهای شناخته می‌شود، متداول ترین سیستم یکاهاست.

#### ۳. سیستم گرانشی

در این سیستم واحد نیرو کیلوگرم نیرو (کیلوپوند)، جرم بر حسب  $\text{hyl}$  می‌باشد.  $1$  کیلوگرم نیرو (کیلوپوند) مقدار نیرویی است که به وسیله‌ی آن یک جرم  $1$  کیلوگرمی، شتاب  $9/8$  متر مربع بر ثانیه می‌گیرد.  $1\text{ hyl}$  جرم وزنه‌ای است که با اعمال نیروی  $1$  کیلوپوندی  $9/8$  متر مربع بر ثانیه شتاب می‌گیرد.

جدول ۲ برخی از واحدهای متریک را لیست کرده است.

## جدول ۲

مقدار	CGS	MKS
طول	cm	m
جرم	g	kg
زمان	s	s
سرعت	cm/s	m/s
شتاب	gal	m/s <sup>2</sup>
نیرو	dyne	Newton
فشار	barye	Pascal
انرژی	erg	joule
توان	erg/s	Watt
ویسکوزیته	poise	Pa.s

### تعاریف برشی یکاهای دیگر

:gal

واحد شتاب است و گال یا گالیله خوانده می شود. مقدار آن برابر است با:

$$1 \text{ gal} = 1 \frac{\text{cm}}{\text{s}^2}$$

:N

واحد نیرو است و به افتخار دانشمند مشهور، نیوتون نامیده می شود. ۱ نیوتون مقدار نیروی است که برای جابجایی یک وزنه به جرم ۱ کیلوگرم با شتاب ۱ متر مکعب بر ثانیه لازم است. یعنی :

$$1 \text{ N} = 1 \frac{\text{kg.m}}{\text{s}^2}$$

:Ba

واحد فشار است و باراد یا باریه خوانده می شود و برابر است با مقدار فشاری که نیروی ۱ دین بر سطحی به مساحت ۱ سانتی متر مکعب وارد می کند. یعنی:

$$1 \text{ Ba} = 1 \frac{\text{dyne}}{\text{cm}^2}$$

:Pa

واحد فشار است و پاسکال خوانده می شود. ۱ پاسکال فشاری است که نیروی ۱ نیوتونی بر سطحی به مساحت ۱ متر مربع وارد می کند. یعنی:

$$1 Pa = 1 \frac{N}{m^2}$$

J

واحد انرژی است و ژول خوانده می شود. ۱ ژول مقدار کاری است که باید برای جابجایی یک وزنه می ۱ نیوتنی به مقدار ۱ متر صرف شود. یعنی:

$$1 J = 1 N.m$$

W

واحد توان است و وات خوانده می شود. ۱ وات توان ماشینی است که ۱ ژول کار را طرف ۱ ثانیه انجام می دهد. یعنی:

$$1 W = 1 \frac{J}{s}$$

P

واحد ویسکوزیته است و پویز خوانده می شود و برابر است با:

$$1 P = 0.1 \frac{kg}{m.s}$$

L

واحد حجم است و لیتر خوانده می شود. یک لیتر برابر است با :

$$1 L = 0.001 m^3$$

### سیستم بریتانیایی

سیستم بریتانیایی برخلاف سیستم متریک، سیستم دهگانی نیست و این یکی از نقاط ضعف این سیستم است که باعث شده استفاده از آن کمتر متداول باشد. در زیر پیرامون یکاهای این سیستم توضیحاتی ارائه شده است.

### طول

در جدول ۳ تمامی واحدهای طول در سیستم بریتانیایی و ضرایب تبدیل آن ها به یکاهای متداول ارائه شده است.

جدول ۳

واحد	نماد	فوت	متر
<sup>۱۳</sup> ثو <sup>۱۴</sup>	<i>th</i>	$\frac{1}{12000}$	0.0000254
اینچ <sup>۱۵</sup>	<i>in</i>		0.0254
فوت <sup>۱۶</sup>	<i>ft</i>	1	0.3048
یارد <sup>۱۷</sup>	<i>yd</i>	3	0.9144
زنگیر <sup>۱۸</sup>	<i>ch</i>	66	20.1168
فرلانگ <sup>۱۹</sup>	<i>fur</i>	660	201.168
مايل <sup>۲۰</sup>	<i>mi</i>	5280	1609.344
لیگ <sup>۲۱</sup>	<i>lea</i>	15840	4828.032
فاتوم <sup>۲۲</sup>	<i>ftm</i>	6.08	1.853
کابل <sup>۲۳</sup>	-	608	185.3
مايل دريابي <sup>۲۴</sup>	-	6080	1853.2
لينك <sup>۲۵</sup>	-	201.168	0.201168
راد <sup>۲۶</sup>	-	5029.2	5.0292

مساحت

در جدول ۴ تمامی واحدهای مساحت در سیستم بریتانیایی و ضرایب تبدیل آن ها به یکاهای متداول ارائه شده است.

<sup>۱۳</sup> thou

<sup>۱۴</sup> inch

<sup>۱۵</sup> Feet

<sup>۱۶</sup> Yard

<sup>۱۷</sup> chain

<sup>۱۸</sup> furlong

<sup>۱۹</sup> mile

<sup>۲۰</sup> league

<sup>۲۱</sup> fathom

<sup>۲۲</sup> Cable

<sup>۲۳</sup> Nautical mile

<sup>۲۴</sup> link

<sup>۲۵</sup> rod

جدول ۴

واحد	رابطه	فوت مربع	مايل مربع	متر مربع	هكتار
<sup>۲۶</sup> پرج	$1 \text{ rod} \times 1 \text{ rod}$	272.25	$\frac{1}{102400}$	25.3	0.0025
<sup>۲۷</sup> رود	$1 \text{ furlong} \times 1 \text{ rod}$	10.89	$\frac{1}{2560}$	1011.7	0.1012
<sup>۲۸</sup> جریب	$1 \text{ furlong} \times 1 \text{ chain}$	43.56	$\frac{1}{640}$	4046.8	0.4047

## حجم

در جدول ۵ تمامی واحدهای حجم در سیستم بریتانیایی و ضرایب تبدیل آن ها به یکاهای متداول ارائه شده است.

جدول ۵

واحد	نماد	اونس بریتانیایی	میلی لیتر	اینج مکعب	اونس آمریکایی
<sup>۲۹</sup> اونس سیال	fl.oz	1	28.4	1.7339	0.96
<sup>۳۰</sup> گیل	gi	5	142.1	8.6994	4.8038
<sup>۳۱</sup> پینت	pt	20	568.3	34.677	19.215
<sup>۳۲</sup> کوارت	qt	40	1136.5	69.355	38.43
<sup>۳۳</sup> گالن	gal	160	4546.1	277.42	153.72

## جرم و وزن

در جدول ۶ تمامی واحدهای جرم و وزن در سیستم بریتانیایی و ضرایب تبدیل آن ها به یکاهای متداول ارائه شده است.

<sup>26</sup> Perch  
<sup>27</sup> Rood  
<sup>28</sup> Acre  
<sup>29</sup> fluid ounce  
<sup>30</sup> gill  
<sup>31</sup> pint  
<sup>32</sup> quart  
<sup>33</sup> gallon

## جدول ۶

واحد	نماد	پوند	کیلوگرم
<sup>۳۴</sup> دانه	<i>gr</i>	$\frac{1}{7000}$	0.00006
<sup>۳۵</sup> درم	<i>dr</i>	$\frac{1}{256}$	0.0018
اونس	<i>oz</i>	$\frac{1}{16}$	0.028
<sup>۳۶</sup> پوند	<i>lb</i>	1	0.4536
<sup>۳۷</sup> استون	<i>st</i>	12	6.3503
<sup>۳۸</sup> کوارتر	<i>qtr</i>	28	12.7006
<sup>۳۹</sup> هاتدردوبت	<i>cwt</i>	112	50.8
<sup>۴۰</sup> تن	<i>t</i>	2240	1016.047

سیستم آمریکایی

سیستم اندازه گیری آمریکایی به مجموعه واحدهای اندازه گیری ای گفته می شود که توسط آمریکا به صورت رسمی استفاده می گردند. این دستگاه بر گرفته از یکای انگلیسی است که تا سال ۱۸۹۳ استفاده می شد و بعد از آن به دستگاه آمریکایی تغییر یافت.

## طول

در جدول ۷ تمامی واحدهای طول در سیستم آمریکایی و ضرایب تبدیل آن ها به یکاهای متداول ارائه شده است.

<sup>۳۴</sup> grain  
<sup>۳۵</sup> drachm  
<sup>۳۶</sup> pound  
<sup>۳۷</sup> stone  
<sup>۳۸</sup> quarter  
<sup>۳۹</sup> hundredweight  
<sup>۴۰</sup> ton

جدول ۷

واحد	نماد	معادل	معادل SI
نقطه <sup>۴۱</sup>	$p$	-	$352.8 \mu\text{m}$
پیکا <sup>۴۲</sup>	$P/$	$12 p$	$4.23 \text{ mm}$
اینچ	$in$	$6 P/$	$25.4 \text{ mm}$
فوت	$ft$	$12 in$	$0.3048 \text{ m}$
یارد	$yd$	$3 ft$	$0.9144 \text{ m}$
مایل	$mi$	$5280 ft$	$1.61 \text{ km}$
لینک	$li$	$7.92 in$	$0.2012 \text{ m}$
راد	$rd$	$16.5 ft$	$5.03 \text{ m}$
زنجیر	$ch$	$4 rd$	$20.12 \text{ m}$
فلانگ	$fur$	$10 ch$	$201.2 \text{ m}$
لیگ	$lea$	$3 mi$	$4.83 \text{ km}$
فاتوم	$ftm$	$2 yd$	$1.8288 \text{ m}$
کابل	$cb$	$120 ftm$	$219.456 \text{ m}$
مایل دریایی	$nmi$	$1.151 mi$	$1.852 \text{ km}$

## مساحت

در جدول ۸ تمامی واحدهای مساحت در سیستم آمریکایی و ضرایب تبدیل آن ها به یکاهای متداول ارائه شده است.

جدول ۸

واحد	معادل	معادل SI
فوت مربع	۱۴۴ اینچ مربع	$0.093 \text{ m}^2$
زنجیر مربع	۴۳۵۶ فوت مربع	$404.7 \text{ m}^2$
جریب	۴۳۵۰ فوت مربع	$4046.8 \text{ m}^2$
بخش <sup>۴۳</sup>	۶۴۰ جریب	$2.6 \text{ km}^2$

## حجم

در جدول ۹ واحدهای حجم در سیستم آمریکایی و ضرایب تبدیل آن ها به یکاهای متداول و در جدول ۱۰ واحدهای حجم مایعات در سیستم آمریکایی و ضرایب تبدیل آن ها به یکاهای متداول ارائه شده است.

<sup>41</sup> point<sup>42</sup> pica<sup>43</sup> section

جدول ۹

واحد	معادل	SI معادل
اینج مکعب	-	16.387 mL
فوت مکعب	1728 in <sup>3</sup>	28.316 L
یارد مکعب	27 ft <sup>3</sup>	764.555 L
جریب-فوت <sup>۴۴</sup>	43560 ft <sup>3</sup>	1.233 ML

جدول ۱۰

واحد	نماد	معادل	SI معادل
<sup>۴۵</sup> مینیم	min	-	61.6 μL
<sup>۴۶</sup> جرعه آمریکایی	fl dr	60 min	3.7 mL
<sup>۴۷</sup> قاشق چای خوری	tsp	80 min	4.93 mL
<sup>۴۸</sup> قاشق سوپخوری	Tbsp	3 tsp	14.79 mL
اونس آمریکایی	fl oz	2 Tbsp	29.57 mL
<sup>۴۹</sup> شات آمریکایی	jig	3 Tbsp	44.36 mL
<sup>۵۰</sup> قلب آمریکایی	gi	4 fl oz	118.29 mL
<sup>۵۱</sup> فنجان آمریکایی	cp	2 gi	236.59 mL
<sup>۵۲</sup> پینت آمریکایی	pt	2 cp	473.18 mL
<sup>۵۳</sup> کوارت آمریکایی	qt	2 pt	0.946 L
گالن آمریکایی	gal	4 qt	3.78 L
<sup>۵۴</sup> بشکه	bbl	31.5 gal	119.24 L
<sup>۵۵</sup> بشکه نفت	bbl	42 gal	158.99 L
<sup>۵۶</sup> هاگزهد	-	63 gal	238.48 L

همچنین دو واحد رایج برای سنجش حجم خشک در جدول ۱۱ نشان داده شده است.

<sup>۴۴</sup> acre-foot

<sup>۴۵</sup> minim

<sup>۴۶</sup> US fluid dram

<sup>۴۷</sup> teaspoon

<sup>۴۸</sup> tablespoon

<sup>۴۹</sup> US shot

<sup>۵۰</sup> US gill

<sup>۵۱</sup> US cup

<sup>۵۲</sup> US pint

<sup>۵۳</sup> US quart

<sup>۵۴</sup> barrel

<sup>۵۵</sup> oil barrel

<sup>۵۶</sup> hogshead

جدول ۱۱

واحد	نماد	معادل	SI معادل
<sup>۵۷</sup> پک	<i>pk</i>	<i>2 gal</i>	<i>8.8 L</i>
<sup>۵۸</sup> بوشل	<i>bu</i>	<i>4 pk</i>	<i>35.24 L</i>

## جرم

در جدول ۱۲ تمامی واحدهای جرم در سیستم آمریکایی و ضرایب تبدیل آن‌ها به یکاهای متداول ارائه شده است.

جدول ۱۲

واحد	نماد	معادل	SI معادل
دانه	<i>gr</i>	$\frac{1}{7000} lb$	<i>64.8 mg</i>
جرعه	<i>dr</i>	$27 \frac{11}{32} gr$	<i>1.77 g</i>
اونس	<i>oz</i>	<i>16 dr</i>	<i>28.35 g</i>
پوند	<i>lb</i>	<i>16 oz</i>	<i>453.6 g</i>
هاندردویت	<i>US cwt</i>	<i>100 lb</i>	<i>45.36 kg</i>
<sup>۵۹</sup> لانگ هاندردویت	-	<i>112 lb</i>	<i>50.8 kg</i>
تن	-	<i>20 US cwt</i>	<i>907.2 kg</i>
<sup>۶۰</sup> لانگ تن	-	<i>20 long cwt</i>	<i>1016 kg</i>

سیستم بین المللی یکاهای (SI)

سیستم بین المللی یکاهای از سال ۱۹۶۰ به عنوان سیستم اصلی اندازه‌گیری معرفی شد. این سیستم از نوع سیستم‌های متریک می‌باشد و تقریباً در تمامی کشورهای جهان سیستم مورد قبول و کاربردی است.

واحدهای اصلی در سیستم بین المللی یکاهای در جدول ۱۳ ارائه شده است.

<sup>۵۷</sup> peck  
<sup>۵۸</sup> bushel  
<sup>۵۹</sup> long hundredweight  
<sup>۶۰</sup> long ton

### جدول ۱۳

نام مقدار	نماد مقدار	یکای SI	نماد یکای SI
طول	$L$	متر	$m$
جرم	$M$	کیلوگرم	$kg$
زمان	$T$	ثانیه	$s$
جريان الکتریکی	$I$	آمپر	$A$
دماهی ترمودینامیکی	$\theta$	کلوین	$K$
مقدار ماده	$N$	مول	$mol$
شدت تابش	$J$	کندها (شمع)	$cd$

یکاهای فرعی که قابل استنباط از یکاهای اصلی هستند در جدول ۱۴ لیست شده است.

### بخی واحدهای متداول در صنعت پمپ

#### ۱. واحدهای حجم:

- لیتر
- گالن آمریکایی
- گالن بریتانیایی
- سی سی
- متر مکعب

$$1 m^3 = 1000 L = 1000000 cc = 264.2 US gal = 220 UK gal$$

#### ۲. واحدهای فشار:

- کیلوپاسکال
- پاسکال
- بار
- اتمسفر
- میلیمتر جیوه
- میلیمتر آب
- psi<sup>۶۱</sup>

<sup>۶۱</sup>  $psi = \frac{lb}{in^2}$

$$1 \text{ KPa} = 1000 \text{ Pa} = 0.01 \text{ bar} = 0.009869 \text{ atm} = 7.5 \text{ mmHg} = 101.97 \text{ mmH}_2\text{o} = 0.145038 \text{ psi}$$

جدول ۱۴

نام مقدار	یکای SI	نماد یکای SI	یکا طبق واحدهای فرعی	یکا طبق واحدهای اصلی
زاویه	رادیان	rad	۱	$m/m$
زاویه‌ی سه بعدی	استرadian	sr	۱	$m^2/m^2$
فرکانس	هرتز	Hz	-	$1/s$
نیرو - وزن	نیوتون	N	-	$kg.m/s^2$
فشار - تنش	پاسکال	Pa	$N/m^2$	$kg/m.s^2$
انرژی - کار - گرما	ژول	J	$N.m$	$kg.m^2/s^2$
توان - شار تشعشعی	وات	W	$J/s$	$kg.m^2/s^3$
مقدار الکتریستیه	کولن	C	-	s.A
نیروی محرکه	ولت	V	W/A	$kg.m^2/s^3.A$
ظرفیت الکتریکی	فاراد	F	C/V	$s^4.A^2/kg.m^2$
مقاومت الکتریکی - امپدانس - ریاكتانس	اهم	$\Omega$	V/A	$kg.m^2/s^2.A$
رسانش الکتریکی	زیمنس	S	A/V	$s^3.A^2/kg.m^2$
شار مغناطیسی	وبر	Wb	V.s	$kg.m^2/s^2.A$
شدت میدان مغناطیسی	تسلا	T	Wb/m <sup>2</sup>	$kg/s^2.A$
القا	هنری	H	Wb/A	$kg.m^2/s^2.A^2$
دما نسبی	درجه‌ی سلسیوس	°C	-	K
شار تابش	لومن	lm	cd.sr	cd
شدت روشنایی	لوکس	lx	lm/m <sup>2</sup>	cd/m <sup>2</sup>
رادیواکتیویتی	بکرل	Bq	-	$1/s$
دز جذب شده	گری	Gy	J/kg	$m^2/s^2$
دز معادل	سیورت	Sv	J/kg	$m^2/s^2$
کاتالیزگری	کاتال	kat	-	mol/s

## ۳. واحدهای زمان:

- ثانیه
- دقیقه
- ساعت
- روز
- هفتگه

- ماه
- سال
- هد
- قرن

$$1\text{Century} = 10 \text{decade} = 100 \text{year} = 1200 \text{month} = 5217.75 \text{week} = 36524.42 \text{day} = \\ 876581.3 \text{hour} = 52594880 \text{min} = 3155693000 \text{second}$$

۴. واحدهای دما:
- سلسیوس
  - کلوین
  - فارنهایت
  - رانکین

$$T_C = \frac{T_F - 32}{1.8}$$

$$T_K = T_C + 273$$

$$T_R = T_F + 459.67$$

۵. واحدهای لزجت دینامیکی:
- پاسکال ثانیه
  - پویز<sup>۶۲</sup>
  - سانتی پویز

$$1 \text{Pa.s} = 10 \text{P} = 1000 \text{cP}$$

۶. واحدهای لزجت سینماتیکی:
- متر مربع بر ثانیه
  - استوکس
  - سانتی استوکس

$$1 \frac{m^2}{s} = 10000 \text{St} = 1000000 \text{cSt}$$

۷. واحدهای توان:
- وات
  - کیلو وات
  - اسب بخار<sup>۶۳</sup>

<sup>62</sup> Poise

## • کالری در ساعت

$$1 \text{ kW} = 1000 \text{ W} = 1.341 \text{ hp} = 860420.65 \frac{\text{cal}}{\text{hr}}$$

۸. واحدهای جرم:

- کیلوگرم
- گرم
- پوند

$$1 \text{ kg} = 1000 \text{ g} = 2.2 \text{ lb}$$

راهنمای تبدیل واحد

در بسیاری از مواقع مقادیر ارائه شده در واحدهایی است که با واحدهای مطلوب فرق دارد. در این موقع برای تبدیل واحد از روشی بسیار ساده استفاده می شود که شبیه به بازی و ریاضی است.

پیش از آغاز شرح این شیوه ابتدا پیرامون بعضی از مفاهیم توضیح داده می شود. هنگامی که گفته می شود دبی آب  $\frac{m^3}{s}$  است، یعنی در هر ثانیه ۱ متر مکعب از آب از سطح مورد نظر می گذرد یا مثلاً وقتی گفته می شود چگالی آب  $\frac{kg}{m^3}$  ۱۰۰۰ است یعنی هر مترمکعب از آب دارای جرمی برابر با ۱۰۰۰ کیلوگرم است.

برای تبدیل واحد باید به مفاهیم فوق توجه کرد. روش تبدیل واحد به این صورت است که واحدها را با معادل آن ها به صورت کسری نوشه و قسمت هایی را که مطلوب نیست با معادل مطلوب آن به صورت کسری خط می زیم. برای شرح بهتر روش از مثالهایی استفاده شده است. در تمامی مثال ها از اطلاعات جداول همین مقاله استفاده شده است.

**مثال ۱)** چگالی آب چند پوند بر اونس (آمریکایی) است؟

می دانیم چگالی آب  $1000 \frac{kg}{m^3}$  است پس با این یکا شروع می کنیم :

$$1000 \frac{kg}{m^3} \times \frac{1 m^3}{33814 US fl oz} \times \frac{2.2 lb}{1 kg} = 0.065 \frac{lb}{US fl oz}$$

**مثال ۲)** اگر دبی مورد نیاز یک پمپ  $40 \frac{m^3}{hr}$  باشد، این دبی بر حسب  $gpm$  چقدر است؟

می دانیم  $gpm$  نماد یکای گالن در دقیقه است. پس:

$$40 \frac{m^3}{hr} \times \frac{1 hr}{60 min} \times \frac{220 gal}{1 m^3} = 146.7 gpm$$

<sup>63</sup> horsepower

مثال ۳) ۱ سال چند هفته است؟

$$1 \text{ year} \times \frac{12 \text{ months}}{1 \text{ year}} \times \frac{\frac{30}{7} \text{ weeks}}{1 \text{ month}} = 51.18 \text{ weeks}$$

مثال ۴) یک کیلو وات چند کالری در ساعت است؟

$$1 \text{ kW} = 1000 \text{ W} = 1000 \frac{\text{J}}{\text{s}} \times \frac{60 \text{ s}}{1 \text{ min}} \times \frac{60 \text{ min}}{1 \text{ hour}} \times \frac{1 \text{ cal}}{4.184 \text{ J}} = 860420.65 \frac{\text{cal}}{\text{hr}}$$

#### منابع و مراجع

- *B. A. Bayraktar, Education in Systems Science, 1979*
- *Britannica Educational Publishing (1 August 2010). The Britannica Guide to Numbers and Measurement. The Rosen Publishing Group. p. 241. ISBN 978-1-61530-218-5. Retrieved 10 December 2011.*
- *Encyclopaedia Britannica. 2013. Retrieved 4 April 2013*
- [www.wikipedia.org](http://www.wikipedia.org)

## عملکرد پمپ سانتریفیوژ طی پمپاز سیال لزج

### مقدمه

عملکرد پمپ های سانتریفیوژ برای پمپاز مایعاتی با لزجتی متفاوت از آب با عملکرد آن برای پمپاز آب متفاوت است. هد، دبی، توان،  $NPSH$  و ... با تغییر لزجت رژیمی متفاوت خواهند داشت. برای تعیین رژیم پارامترهای عملکردی یک پمپ طی پمپاز مایعی با لزجت دلخواه می توان از عملکرد پمپ طی پمپاز آب استفاده کرد. به همین ترتیب عملکرد پمپ مذکور به دو روش قابل تعیین است:

۱. روش تجربی ارائه شده توسط موسسه هیدرولیک (HI) که شیوه ای عمومی جهت تخمین عملکرد پمپ و انتخاب پمپ مناسب است.

۲. روش تئوری که بر مبنای جزئیات بیشتر از هندسه ای پمپ و شرایط جریان یک تقریب قابل اطمینان را نتیجه می دهد.

که در این مقاله به بررسی روش تجربی پرداخته می شود.

### ضرایب تصحیح

هنگامی که سیالی با لزجتی بیشتر از آب توسط پمپی پمپاز می شود، به دلیل افزایش تلفات عملکرد آن نسبت به آب تغییر می کند. این تغییر که با کاهش پارامترهای عملکردی پمپ همراه است را می توان با استفاده از ضرایب تصحیح زیر برآورد کرد:

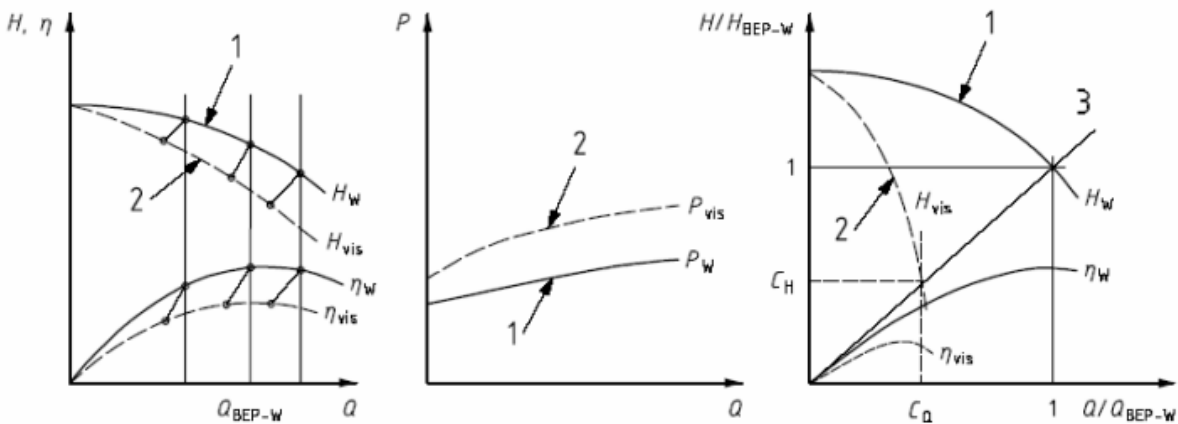
$$C_H = \frac{H_{vis}}{H_w}$$

$$C_Q = \frac{Q_{vis}}{Q_w}$$

$$C_\eta = \frac{\eta_{vis}}{\eta_w}$$

در روابط فوق  $C_H$ ,  $C_Q$ ,  $C_\eta$  و  $W$  به ترتیب ضرایب تصحیح هد، دبی و بازده می باشند. اندیس  $vis$  به معنای سیال ویسکوز و اندیس  $w$  به معنای آب است. در شکل ۱ به صورت شماتیک تغییرات پارامترهای هد، بازده و توان پمپاز مایع لزج نشان داده شده است.

در نمودارهای شکل ۱، عدد ۱ نماینده ای آب و عدد ۲ نماینده ای مایع لزج است. همچنین به خط ۳ خط پارامتر دیفیوژر یا حلزونی گفته می شود. این خط، خط راستی است که مبدأ منحنی هد دبی را به نقطه ای بهترین عملکرد پمپ آب ( $BEP_w$ ) وصل می کند.



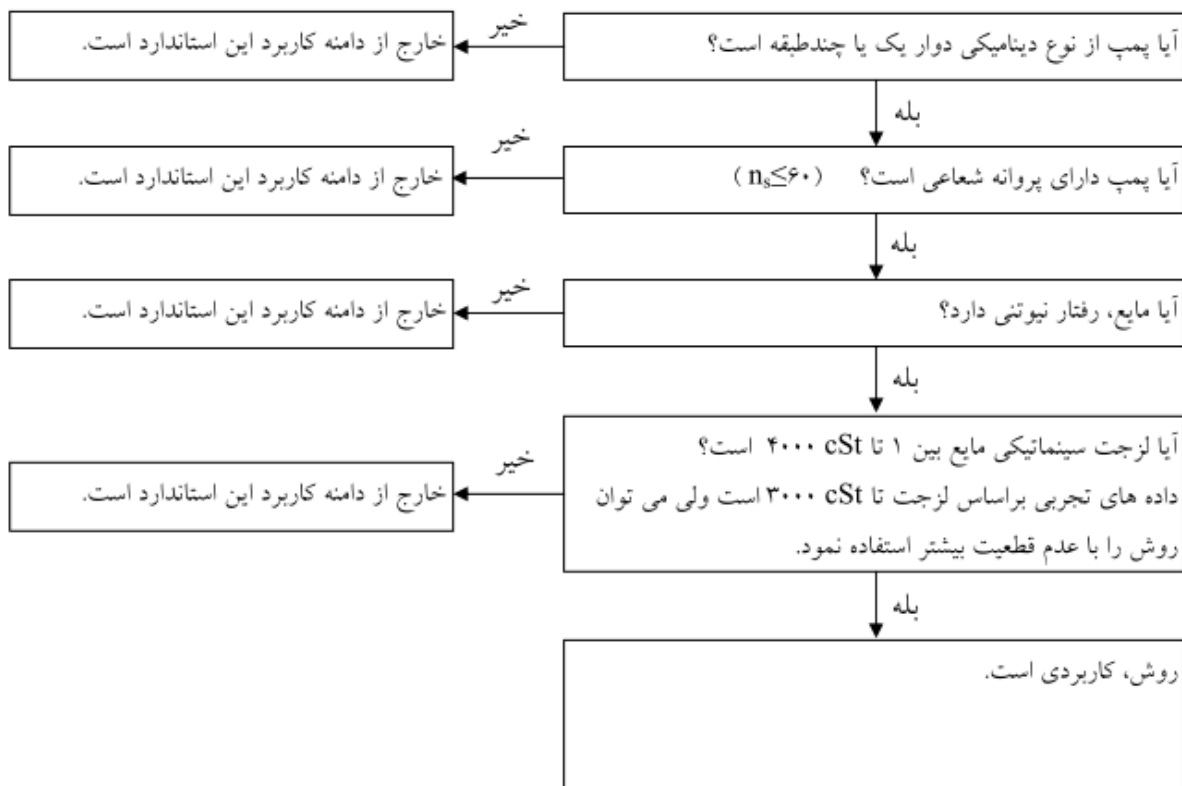
شکل ۱

برای تعیین ضرایب تصحیح از روش تجربی، با داشتن مشخصه های آب، معادلاتی بر اساس عدد رینولدز و سرعت مخصوص نوشته شده و با اطلاعاتی که از بانک اطلاعات تجربی در دست است عملکرد پمپ برای پمپ سیال لزج تخمین زده می شود. برای استفاده از روش تجربی و حصول اطمینان از صحت پاسخ ها محدوده ای مشخص شده است که عبارت است از:

۱. لزجت سینماتیکی بین ۱ تا ۳۰۰ سانتی استوکس
۲. دبی آب در نقطه بهترین عملکرد بین ۳ تا ۳۶۰ مترمکعب بر ساعت
۳. هد آب برای هر طبقه در نقطه بهترین عملکرد بین ۶ تا ۱۳۰ متر
۴. نوع پروانه بسته و نیمه باز

اگر از روش تجربی برای پمپی خارج از محدوده ای تعیین شده استفاده شود، پاسخ های به دست آمده قابل اطمینان نخواهد بود. همچنین لازم به ذکر است که این روش برای مواردی که اختلاف بین NPSH موجود و NPSH مورد نیاز زیاد باشد مورد استفاده قرار می گیرد تا سیستم از عهده ای افزایش NPSH ناشی از افزایش لزجت برآید.

برای استفاده از روش تجربی گام اول تعیین اعتبار این روش برای تعیین عملکرد پمپ است. به همین منظور از الگوریتم ۱ زیر استفاده می شود.



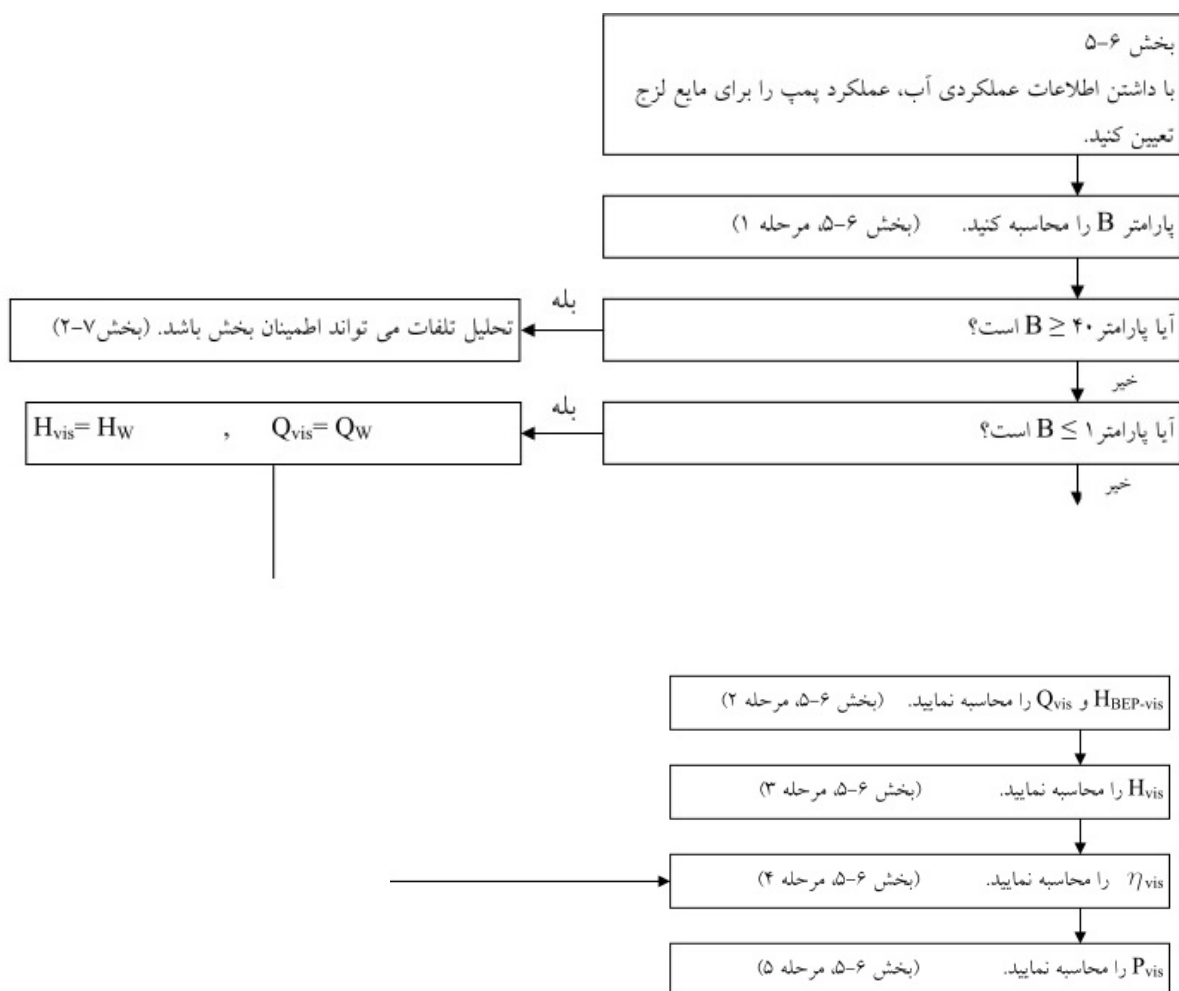
### الگوریتم ۱

پس از اینکه اعتبار این روش برای پمپ و سیال اثبات شد، نوبت به محاسبه‌ی عملکرد پمپ تحت مایع لزج با استفاده از اطلاعات پمپ تحت آب می‌رسد. به همین منظور از الگوریتم ۲ استفاده می‌شود.

در ادامه پیرامون پارامترهای الگوریتم فوق توضیحات لازم داده خواهد شد.

حال با استفاده از اطلاعات به دست آمده می‌توان برای هد و دبی و شرایط لزجت پمپ مناسب را تعیین کرد. الگوریتم ۳ برای همین منظور پیشنهاد می‌شود.

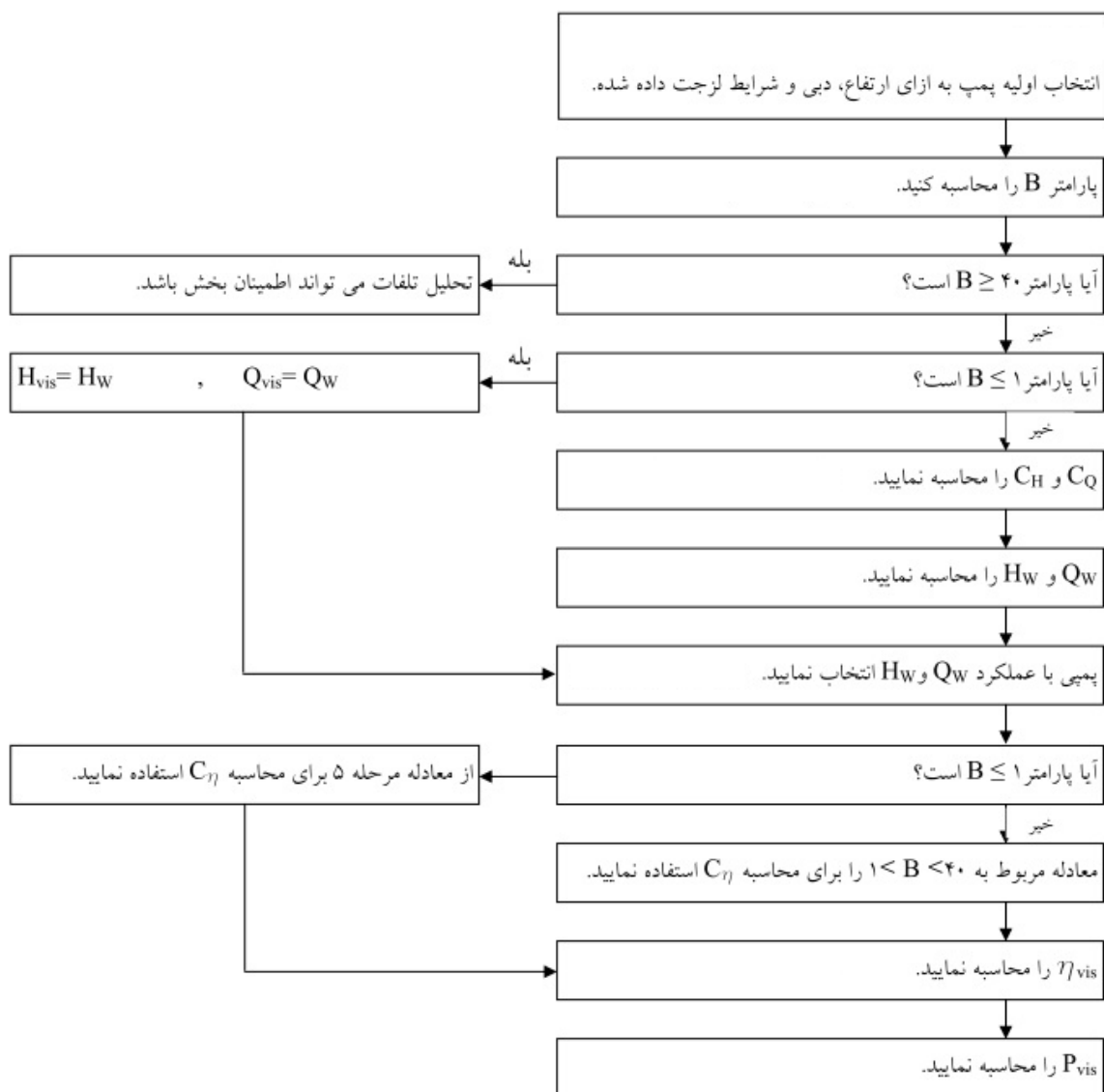
اکنون پارامترهای ارائه شده در الگوریتم‌ها معرفی می‌شوند. معادلات زیر برای تبدیل مشخصه‌های عملکردی پمپ آب به پمپ سیال لزج مورد استفاده قرار می‌گیرد. مراحل تبدیل عبارتند از:



## الگوریتم ۲

### مرحله اول

پارامتر  $B$  بر اساس دبی آب در نقطه بهترین عملکرد از طریق رابطه زیر محاسبه شود:



### الگوریتم ۳

$$B = 16.5 \times \frac{(V_{vis})^{0.5} (H_{BEP-W})^{0.0625}}{(Q_{BEP-W})^{0.375} N^{0.25}}$$

که در آن دبی بر حسب متر مکعب بر ساعت، هد بر حسب متر، سرعت بر حسب دور در دقیقه و ویسکوزیته بر حسب سانتی استوکس می‌باشد. اگر مقدار  $B$  به دست آمده در بازه  $1 < B < 40$  بود، به مرحله دو بروید.

اگر  $B \geq 40$  باشد، روش تجربی برای محاسبه  $\eta$  عملکرد پمپ مناسب نمی‌باشد و می‌توان از روش تئوری (که در ادامه شرح داده خواهد شد) استفاده کرد.

اگر  $1 \leq B \leq 40$  باشد،  $C_H = 1$  &  $C_Q = 1$  و به مرحله چهارم بروید.

### مرحله دوم

ضریب تصحیح جریان متناظر با دبی نقطه بهترین عملکرد از رابطه‌ی زیر محاسبه می‌شود:

$$C_Q = 2.71^{-0.165(\log B)^{3.15}}$$

با به دست آوردن ضریب تصحیح دبی، از رابطه‌ی زیر دبی در سایر نقاط نیز به دست می‌آید:

$$Q_{vis} = C_Q \times Q_w$$

### مرحله سوم

ضریب تصحیح هد در نقطه بهترین عملکرد برابر با ضریب جریان است. یعنی:

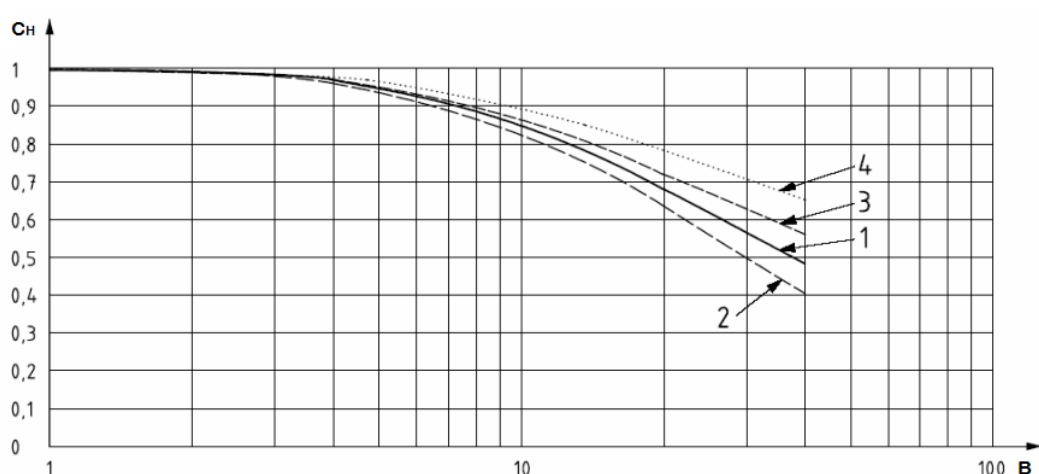
$$C_{BEP-H} = C_Q$$

$$H_{BEP} = C_Q \times H_{BEP-W}$$

ضریب تصحیح هد در سایر نقاط با استفاده از رابطه‌ی زیر به دست می‌آید:

$$C_H = 1 - [(1 - C_{BEP-H}) \times \left( \frac{Q_w}{Q_{BEP-W}} \right)^{0.75}]$$

$$H_{vis} = C_H \times H_w$$



شکل ۲

همچنین از نمودار شکل ۲ نیز می‌توان مقادیر ضریب هد را محاسبه کرد. در این نمودار عدد ۱ نماینده‌ی ضریب بر حسب  $B$  در دبی  $Q_{BEP}$  است. عدد ۲ نماینده‌ی ضریب بر حسب  $B$  در دبی  $1/2Q_{BEP}$ ، عدد ۳ نماینده‌ی ضریب بر حسب  $B$  در دبی  $Q_{BEP}/8$  و عدد ۴ نماینده‌ی ضریب بر حسب  $B$  در دبی  $Q_{BEP}/6$  است.

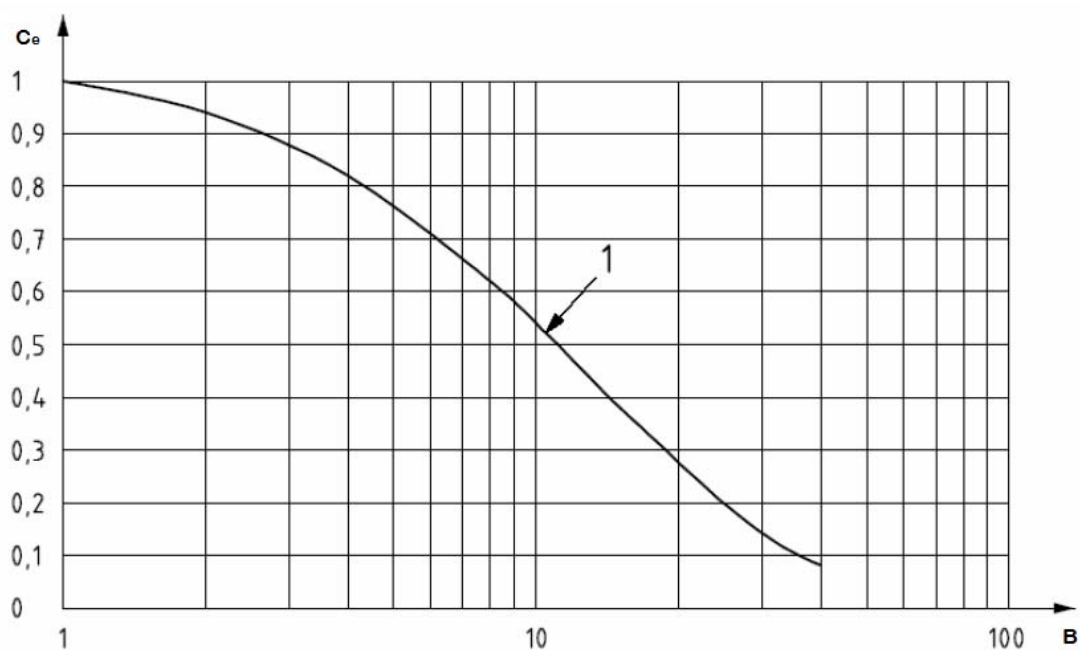
#### مرحله چهارم

ضریب تصحیح بازده را با توجه به مقدار  $B$  به دست آمده می‌توان از یکی از روابط زیر محاسبه کرد:

برای  $1 < B < 40$  :

$$C_\eta = B^{-(0.0547 \times B^{0.69})}$$

همچنین می‌توان از شکل ۳ نیز استفاده کرد.



شکل ۳

برای  $B < 1$  :

$$C_\eta = \frac{1 - [(1 - \eta_{BEP-W}) \times \left(\frac{V_{vis}}{V_W}\right)^{0.07}]}{\eta_{BEP-W}}$$

در هر دو حالت در نهایت :

$$\eta_{vis} = C_\eta \times \eta_W$$

#### مرحله پنجم

مقدار توان ورودی برای سیال لرج از رابطه‌ی زیر به دست می‌آید:

$$P_{vis} = \frac{Q_{vis} \times H_{vis-tot} \times s}{367 \times \eta_{vis}}$$

که در آن دبی بر حسب متر مکعب بر ساعت، ارتفاع بر حسب متر و توان بر حسب کیلووات است.

### انتخاب پمپ با استفاده از دبی، هد و لزجت داده شده

برای انتخاب پمپ با دانستن هد و دبی و لزجت سیال در دمای پمپاژ از الگوریتم زیر استفاده می‌شود. شایان ذکر است که با توجه به این نکته که معمولاً اطلاعات پمپ‌ها بر اساس عملکرد آب آنها ارائه می‌شود، تعدادی از مراحل این الگوریتم به تبدیل مشخصه‌های لرج به مشخصه‌های آب اختصاص می‌یابد.

#### مرحله اول

از معادله‌ی زیر پارامتر  $B$  محاسبه می‌شود:

$$B = 2.8 \times \frac{(V_{vis})^{0.5}}{(Q_{vis})^{0.25}(H_{vis})^{0.125}}$$

که در آن دبی بر حسب متر مکعب بر ساعت، هد بر حسب متر، سرعت بر حسب دور در دقیقه و ویسکوزیته بر حسب سانتی استوکس می‌باشد. اگر مقدار  $B$  به دست آمده در بازه  $1 < B < 40$  بود، به مرحله دو بروید.

اگر  $B \geq 40$  باشد، روش تجربی برای محاسبه‌ی عملکرد پمپ مناسب نمی‌باشد و می‌توان از روش تئوری (که در ادامه شرح داده خواهد شد) استفاده کرد.

اگر  $1 \leq B$  باشد،  $C_H = 1$  &  $C_Q = 1$  و به مرحله‌ی چهارم بروید.

#### مرحله دوم

ضریب تصحیح جریان متناظر با دبی نقطه بهترین عملکرد از رابطه‌ی زیر محاسبه می‌شود:

$$C_Q = 2.71^{-0.165(\log B)^{3.15}}$$

#### مرحله سوم

هد و دبی آب از روابط زیر محاسبه می‌شود:

$$Q_W = \frac{Q_{vis}}{C_Q}$$

$$H_W = \frac{H_{vis}}{C_H}$$

همانطور که پیشتر بیان شد ضریب تصحیح هد و ضریب تصحیح دبی در نقطه‌ی بهترین عملکرد با هم مساوی‌اند و با توجه به انتخاب پمپ در این نقطه می‌توان در این مرحله مقدار ضریب تصحیح هد را همان مقدار ضریب تصحیح دبی در نظر گرفت.

#### مرحله چهارم

با هد و دبی به دست آمده از مرحله ی سوم پمپ مناسب انتخاب می شود.

#### مرحله ی پنجم

ضریب تصحیح بازده را با توجه به مقدار  $B$  به دست آمده می توان از یکی از روابط زیر محاسبه کرد:

برای  $1 < B < 40$  :

$$C_\eta = B^{-(0.0547 \times B^{0.69})}$$

برای  $B < 1$  :

$$C_\eta = \frac{1 - [(1 - \eta_{BEP-W}) \times \left(\frac{V_{vis}}{V_W}\right)^{0.07}]}{\eta_{BEP-W}}$$

در هر دو حالت در نهایت :

$$\eta_{vis} = C_\eta \times \eta_W$$

#### مرحله ششم

مقدار توان ورودی برای سیال لرج از رابطه ی زیر به دست می آید:

$$P_{vis} = \frac{Q_{vis} \times H_{vis-tot} \times s}{367 \times \eta_{vis}}$$

که در آن دبی بر حسب متر مکعب بر ساعت، ارتفاع بر حسب متر و توان بر حسب کیلووات است.

#### منابع و مراجع

استاندارد ایزو ۱۷۷۶۶ – پمپ های سانتریفیوژ در حال پمپاژ سیال لرج – تصحیح عملکرد

ISO/TR 17766 – Centrifugal pumps handling viscous liquids – Performance corrections

ISO17766:2005(E)

## برخی مفاهیم بنیادی مکانیک

### ۱. حجم

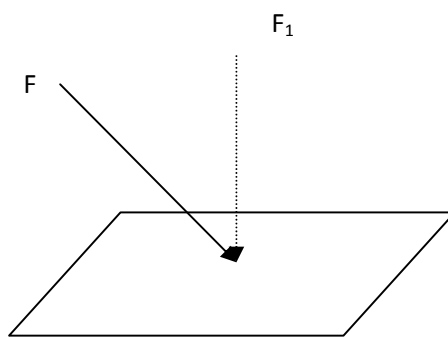
حجم کمیتی است که فضای سه بعدی محدود به چند مرز را مشخص می کند.

### ۲. فشار

فشار نیروی عمودی وارد بر سطح است. یعنی:

$$P = \frac{F}{A}$$

اگر نیروی وارده، بر سطح عمود نباشد، از مولفه‌ی قائم آن استفاده می شود. در شکل زیر  $F_1$  مولفه قائم نیرو بر سطح است.



فشار به دو صورت پیمانه‌ای (نسبی) و مطلق گزارش می شود. فشار پیمانه‌ای، فشار نسبت به فشار اتمسفر است. یعنی:

$$P_g = P_{abs} - P_{atm}$$

که در آن  $P_g$  فشار پیمانه‌ای،  $P_{abs}$  فشار مطلق و  $P_{atm}$  فشار اتمسفر است.

### ۳. دما

دما معیار میزان سردی و گرمی یک جسم است. در واقع دما معیاری از پتانسیل گرمایی است و گرما از جسمی با دمای بالاتر به جسمی با دمای پایین تر منتقل می شود.

### ۴. جرم

جسم یا لختی، مقاومت جسم در مقابل تغییر سرعت است. در کاربرد روزمره جرم را مترادف با وزن به کار می برد درصورتی که وزن متناسب با جرم است نه مترادف. جرم یک جسم با وزن  $W$  برابر است با :

$$m = \frac{W}{g}$$

که در آن  $g$  شتاب گرانش زمین است.

#### ۵. مول

مول یکی از واحدهای شمارشی است. یک مول، مقداری از هر ماده است که تعداد ذرات بنیادی آن (مولکول یا اتم) برابر با تعداد اتم‌های موجود در ۱۲ گرم از کربن-۱۲ است. این تعداد، عدد آووگادرو نامیده شده و برابر است با  $6.02214199 \times 10^{23}$

#### ۶. چگالی

چگالی یا دانسیته جرم واحد حجم است. به عبارت دیگر چگالی تعیین می‌کند که یک حجم به خصوص از ماده‌ی مورد نظر چه جرمی دارد. یعنی:

$$\rho = \frac{m}{V}$$

با توجه به تناسب جرم و وزن می‌توان گفت که جسم با چگالی بالاتر نسبت به جسم هم اندازه با چگالی کمتر، سنگین‌تر است.

#### ۷. غلظت

غلظت مقدار ماده‌ی محلول در حلal است و به چهار نوع است:

- غلظت جرمی: عبارت است از جرم جزء نسبت به حجم کل. یعنی:

$$\rho_i = \frac{m_i}{V}$$

- غلظت مولی: عبارت است از مول جزء نسبت به حجم کل. یعنی:

$$c_i = \frac{n_i}{V}$$

- غلظت حجمی: عبارت است از حجم جزء نسبت به حجم کل. یعنی:

$$\varphi_i = \frac{V_i}{V}$$

به غلظت حجمی کسر حجمی نیز گفته می‌شود.

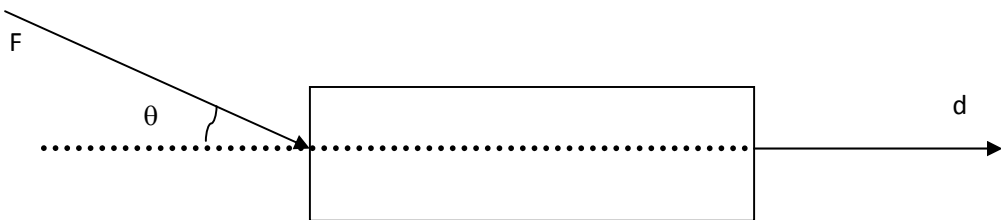
- غلظت عددی: عبارت است از تعداد جزء نسبت به حجم کل. یعنی:

$$C_i = \frac{N_i}{V}$$

#### ۸. کار

مفهوم فیزیکی کار با آنچه در محاورات روزمره به کار می‌رود متفاوت است. کار میزان انرژی انتقال یافته‌ی یک نیروی در اثر یک جابجایی مشخص است. رابطه‌ی کلی کار به صورت زیر است:

$$W = F \cdot d = Fd \cos \theta$$



در رابطه‌ی فوق  $F$  اندازه‌ی نیرو،  $d$  جابجایی جسم در اثر نیروی  $F$  و  $\theta$  زاویه‌ی بین خط اثر نیرو و جابجایی است.

#### ۹. گرما

گرما نوعی از انتقال انرژی است که به دلیل تفاوت دمای بین دو جسم رخ می‌دهد. گرما یکی از ویژگی‌های سیستم یا جسم نیست بلکه معمولاً به یک نوع فرایند مربوط است. گرما به سه روش انتقال می‌باید:

- .I. رسانش: نوعی از انتقال گرماست که به دلیل گرادیان دما (تغییرات دما نسبت به موقعیت) ایجاد می‌شود.
- .II. جابجایی: نوعی از انتقال گرماست که بین سطح جامد و سیال گذرا از آن اتفاق می‌افتد.
- .III. تابش: نوعی از انتقال گرم است که به دلیل دمای بالای سطح اتفاق افتاده و از طریق فوتون‌ها انجام می‌شود.

#### ۱۰. ظرفیت گرمایی

ظرفیت گرمایی نسبت گرمای اعمال شده به سیستم به تغییرات دمای آن سیستم است. به عبارت دیگر ظرفیت گرمایی مقدار گرمایی است که باید به یک سیستم داده شود تا دمای آن ۱ درجه‌ی سلسیوس افزایش یابد. یعنی:

$$C = \frac{Q}{\Delta T}$$

با استفاده از تعریف ارائه شده می‌توان استنباط کرد که هرقدر ظرفیت گرمایی یک سیستم بیشتر باشد، مقدار گرمایی بیشتری لازم است تا دمای سیستم ۱ درجه‌ی سلسیوس افزایش یابد و در نتیجه افزایش دمای آن سخت‌تر است.

#### ۱۱. ظرفیت گرمایی ویژه

ظرفیت گرمایی ویژه مقدار گرمایی است که باید به واحد جرم جسم داده شود تا دمای آن ۱ درجه‌ی سلسیوس افزایش یابد. یعنی:

$$c = \frac{Q}{m \cdot \Delta T}$$

همانطور که از تعریف بر می‌آید، ظرفیت گرمایی حاصلضرب جرم جسم در ضریب گرمایی ویژه‌ی آن است. یعنی:

$$C = mc$$

## ۱۲. ظرفیت گرمایی ویژه در فشار ثابت

ظرفیت گرمایی ویژه در فشار ثابت، همانطور که از اسم آن معلوم است، ظرفیت گرمایی یک سیستم طی فرآیندی فشار ثابت است. به عبارت دیگر ظرفیت گرمایی ویژه در فشار ثابت مقدار گرمایی است که باید به سیستمی داده شود تا طی یک فرآیند فشار ثابت دمای آن ۱ درجه ی سلسیوس افزایش یابد. یعنی:

$$C_p = \frac{Q}{\Delta t} \Big|_{P=const}$$

## ۱۳. گرمای ویژه در حجم ثابت

ظرفیت گرمایی ویژه در حجم ثابت، همانطور که از اسم آن معلوم است، ظرفیت گرمایی یک سیستم طی فرآیندی حجم ثابت است. به عبارت دیگر ظرفیت گرمایی ویژه در حجم ثابت مقدار گرمایی است که باید به سیستمی داده شود تا طی یک فرآیند حجم ثابت دمای آن ۱ درجه ی سلسیوس افزایش یابد. یعنی:

$$C_p = \frac{Q}{\Delta t} \Big|_{V=const}$$

## ۱۴. آنتالپی

آنالپی معیاری برای سنجش انرژی کل سیستم می باشد آنتالپی در واقع مقدار انرژی مبادله شده ی سیستم در فشار ثابت و شامل انرژی درونی و کار لازم برای تغییر حجم معلومی در فشار ثابت می باشد. برای بیان انرژی مبادله شده در بسیاری از فرآیندهای شیمیایی، فیزیکی و بیولوژیکی آنتالپی بر سایر کمیت ها ترجیح داده می شود. در کل آنتالپی با رابطه ی زیر محاسبه می شود:

$$H = U + PV$$

که در آن  $H$  آنتالپی،  $U$  انرژی درونی،  $P$  فشار و  $V$  حجم سیستم است. برای یک گاز ایده آل تغییرات آنتالپی از رابطه ی زیر محاسبه می شود:

$$H = C_p \Delta T$$

که در آن  $C_p$  ظرفیت گرمایی در فشار ثابت و  $\Delta T$  تغییرات دما است.

## ۱۵. انرژی درونی

انرژی درونی یک سیستم، مجموع انرژی های ذرات سازنده ی آن سیستم است. انرژی درونی یکی از متغیرهای حالت سیستم است و تنها به وضعیت کنونی آن بستگی داشته و از مسیر فرآیند مستقل است. طبق قانون اول ترمودینامیک برای یک سیستم بسته تغییرات انرژی درونی از رابطه ی زیر به دست می آید:

$$\Delta U = Q - W$$

که در آن  $Q$  گرما و  $W$  کار مبادله شده بین سیستم و محیط است. برای یک گاز ایده آل تغییرات انرژی درونی از رابطه‌ی زیر محاسبه می‌شود:

$$\Delta U = C_V \Delta T$$

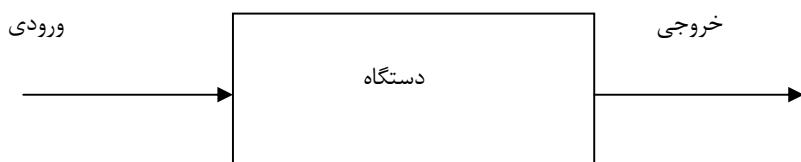
که در آن  $C_V$  ظرفیت گرمایی ویژه در حجم ثابت است.

#### ۱۶. بازده

بازده یا راندمان برای یک دستگاه تعریف می‌شود و میزان خروجی مورد نظر را به ورودی مورد نیاز مشخص می‌کند رابطه‌ی کلی بازده عبارت است از:

$$\eta = \frac{\text{خروجی مطلوب}}{\text{ورودی مورد نیاز}}$$

برای درک بهتر مفهوم بازده به شکل زیر توجه کنید.



هر دستگاهی برای هدف مخصوصی ساخته می‌شود و برای رسیدن به این هدف نیازمند یک سری ورودی‌هایی است. نمونه‌ی بازده یک دستگاه، ماشین گرمایی است. در ماشین گرمایی هدف تولید کار است و به همین منظور باید به آن گرمایی ورودی داد. پس بازده برای ماشین گرمایی به صورت زیر تعریف می‌شود:

$$\eta = \frac{W}{Q_{IN}}$$

#### ۱۷. آنتروپی

آنتروپی یا انتروپی معیاری از بی‌نظمی و عدم قطعیت در سیستم است. به عبارت دیگر انتروپی معیاری برای سنجش تعداد حالاتی است که برای چیدمان یک سیستم می‌توان در نظر گرفت. انتروپی یک سیستم ایزوله هیچگاه کاهش نمی‌یابد. انتروپی از مفاهیم پیچیده‌ی ترمودینامیکی است و برای توضیحات بیشتر در مورد آن باید به کتاب‌های مراجعه شود.

#### ۱۸. ویسکوزیته

ویسکوزیته یا گرانزوی یا لزجت مقاومت مایع در برابر تنش برشی اعمال شده بر آن است. هرقدر ویسکوزیته‌ی سیال بیشتر باشد، آن سیال در مقابل تغییر شکل مقاومت بیشتری نشان می‌دهد. مثلاً ویسکوزیته‌ی عسل نسبت به آب بیشتر است. رابطه‌ی ویسکوزیته برای سیال نیوتونی (سیالی که در اثر اعمال تنش برشی رفتاری خطی دارد) به صورت زیر است:

$$\mu = \frac{\nabla V}{\tau}$$

که در آن  $\mu$  ویسکوزیته،  $\nabla V$  گرادیان سرعت و  $\tau$  تنش برشی اعمالی بر سیال است.

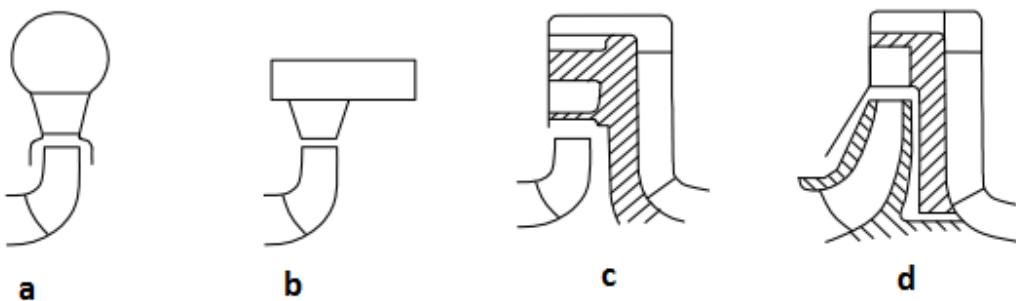
### منابع و مراجع

- "Thermodynamics: An Engineering Approach 7<sup>th</sup> edition", Yunus Cengel, McGraw-Hill, 2010
- "Introduction to Heat Transfer 5<sup>th</sup> edition", Frank Incropera, Wiley, 2006

## مقدمه‌ای بر طراحی دیفیوزر

### دیفیوزر های شعاعی با کanal بازگشت و بدون آن

وظیفه‌ی دیفیوزر در پمپ‌های سانتریفیوژ، تبدیل انرژی جنبشی خروجی پره به فشار استاتیکی با کمترین تلافات ممکن است. انواع آرایش مورد استفاده‌ی دیفیوزرها در شکل ۱ نشان داده شده است. در پمپ‌های یک طبقه، دیفیوزر جریان را به پایین دست حلقه‌نی یا کلکتور حلقه‌ی تخلیه می‌کند. در طبقه‌ی آخر پمپ‌های چند طبقه نیز همین روند تکرار می‌شود. دیفیوزرها پمپ‌های چند طبقه، جز در طبقه‌ی آخر، با کanal هایی که جریان را به طبقه‌ی بعد هدایت می‌کنند یک واحد را تشکیل می‌دهند.



شکل ۱

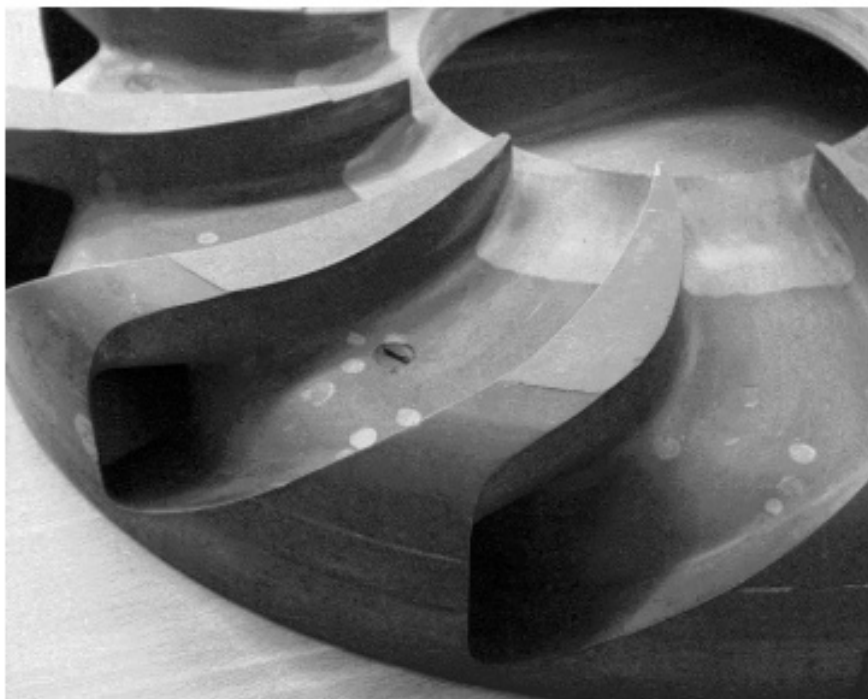
دیفیوزرها و کanal های بازگشت پمپ‌های چند طبقه در انواع مختلفی ساخته می‌شوند. در حالی که ورودی همه‌ی انواع دیفیوزرها و کanal های مربوط به آن‌ها در اساس طراحی بسیار مشابه یکدیگرند، آرایش هندسه‌ی جریان خروجی از دیفیوزر به پره های بازگشت به روش‌های متفاوتی انتخاب می‌شود:

۱. دیفیوزر و پره‌های بازگشت به گونه‌ای طراحی شوند که یک کanal پیوسته را شبیه زانویی سه بعدی مطابق شکل ۲ تشکیل دهند. این نوع طراحی کمترین اتفاقات هیدرولیکی را در پی دارد ولی هزینه‌ی طراحی و ساخت آن بالاست. با استفاده از شیوه‌های مدرن 3D-CAD و ساخت کنترل شده به روش عددی این هزینه‌ها کاهش می‌یابد.
۲. دیفیوزر و کanal بازگشت توسط یک حلقه‌ی بی‌پره از هم جدا باشد. در شکل ۱ قسمت c این طراحی نشان داده شده است. سیالی که به صورت شعاعی از دیفیوزر خارج می‌شود، توسط این حلقه ۱۸۰ درجه از مسیر منحرف شده و وارد کanal های بازگشت شعاعی می‌شود.
۳. جریان به صورت جانبی از کanal دیفیوزر خارج می‌شود و با ۹۰ درجه انحراف وارد کanal بازگشت می‌شود. این طراحی در شکل ۱ قسمت d نشان داده شده است.

سه شیوه‌ی بیان شده، در آرایش‌های متنوعی تولید می‌شوند که نمونه‌هایی از آن‌ها در شکل ۳ نشان داده شده است.

قطر خارجی دیفیوزرها (d<sub>out</sub>) معمولاً ۳۰ تا ۵۰ درصد بزرگتر از قطر خارجی پره است. دیفیوزرها کوچک‌تر در کاربردهایی مانند پمپ‌های غوطه ور به کار می‌روند. در شکل ۴ کوچکترین دیفیوزر ساخته شده نشان داده شده است که در آن قطر خارجی

دیفیوزر منطبق بر قطر خارجی پره است. پس از انجام تست های مختلف مشخص شد که بازده این پره تنها ۲ درصد کمتر از بازده دیفیوزرهای معمولی است. همچنین این دیفیوزر نیروی تراست محوری کمتری تولید می کند که منجر به کاهش قطر پیستون بالانس و دبی بالانس می شود. ارتعاشات سیستم تغییر محسوسی نمی کند ولی منحنی دبی-هد با ناپایداری حائل کمی مواجه می شود.



شکل ۲

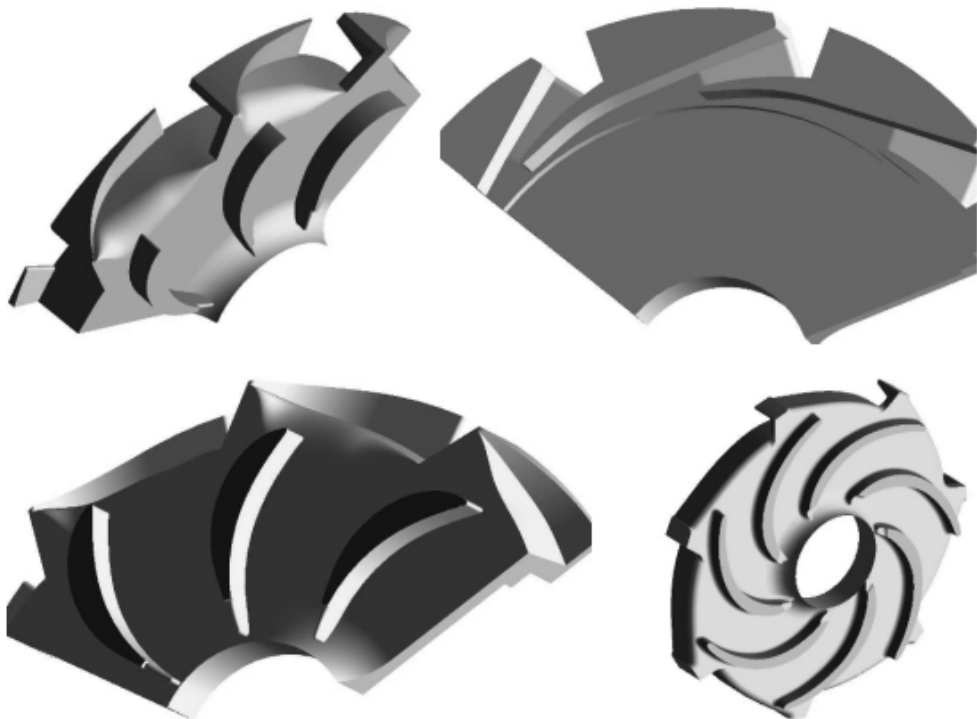
در زیر پیرامون طراحی دیفیوزر با پره های بازگشتی بحث خواهد شد. مقادیر لازم برای طرحی آن عبارتند از ک

#### • دبی حجمی ( $Q_{Le}$ )

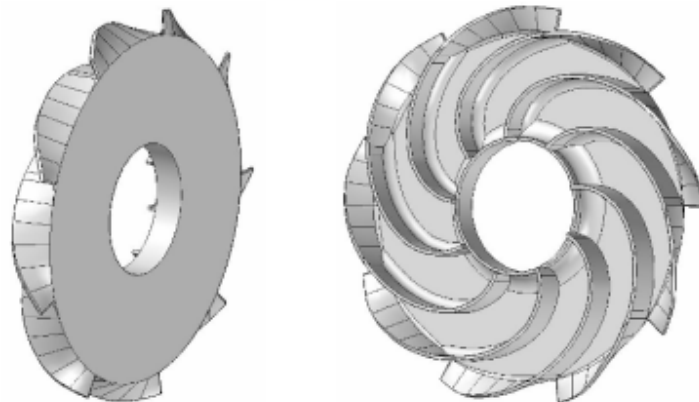
جهت دستیابی به نقطه‌ی بهترین عملکرد، دیفیوزر باید بر اساس دبی حجمی  $Q_{opt}$  طراحی شود. لذا جریانی که به دیفیوزر می رسد برابر است با:

$$Q_{Le} = Q_{opt} + Q_E + Q_{s3}$$

که در آن  $Q_E$  دبی حجمی سیال جهت بالانس نیروی تراست و  $Q_{s3}$  دبی حجمی نشتی از آب بند های میان طبقه است



شکل ۳



شکل ۴

#### • قطر ورودی ( $d_3$ )

بین پره (impeller) و پره های دیفیوزر (vanes) یک لقی باید وجود داشته باشد که نوسانات فشار را محدود کند و نیروهای هیدرولیکی را در حد قابل حفظ کند. به این لقی فاصله  $B$  گویند. قطر ورودی دیفیوزر از رابطه  $i$  زیر به دست می آید:

برای  $n_q < 40$

$$\frac{d_3}{d_2} \geq 1.015 + 0.08 \left( \frac{\rho_H}{\rho_{REF} H_{REF}} - 0.1 \right)^{0.8}$$

برای  $n_q > 40$

$$\frac{d_3}{d_2} = 1.04 + 0.001(n_q - 40)$$

که در آن  $\rho_{REF}$  و  $H_{REF}$  مقادیر مرجع بوده و به ترتیب برابرند با ۱۰۰۰ متر و ۱۰۰۰ کیلوگرم بر متر مکعب.

شایان ذکر است، کمترین میزان لقی بین دو پره باید ۲ میلیمتر باشد.

### • سرعت ورودی

مولفه‌ی جانبی سرعت مطلق در خروجی پره ( $c_2$ ) از رابطه‌ی زیر محاسبه می‌شود:

$$c_{2u} = \frac{gH}{\eta_h u_2} + \frac{u_{1m} c_{1u}}{u_2}$$

سپس با استفاده از روابط زیر مولفه‌های سرعت در ورودی دیفیوز تعیین می‌شود:

$$c_{3u} = c_{2u} \frac{d_2}{d_3}$$

$$c'_{3m} = \frac{Q_{Le} \tau_3}{\pi b_3 d_3}$$

$$\tan \alpha'_3 = \frac{c'_{3m}}{c_{3u}}$$

که در آن  $\tau_3$  ضریب انسداد پره‌ی دیفیوز است و از رابطه‌ی زیر به دست می‌آید:

$$\tau_3 = \frac{1}{1 - \frac{z_{Le} e_3}{\pi d_3 \sin \alpha_{3B} \sin \lambda_{Le}}}$$

که درباره‌ی ترم‌های آن در بخش‌های بعدی توضیح داده خواهد شد.  $\alpha'_3$  نیز زاویه‌ی جریان در ورودی دیفیوز با انسداد است.

### • زاویه ورودی

پره‌های دیفیوز باید با زاویه‌ی  $\alpha_{3B}$  نسبت به محور جانبی تنظیم شوند. این زاویه بر حسب زاویه‌ی دسترسی و زاویه‌ی حمله‌ای در محدوده‌ی  $i_3 = \pm 3^\circ$  از رابطه‌ی زیر محاسبه انتخاب می‌شود:

$$\alpha_{3B} = \alpha'_3 + i_3$$

### • تعداد پره های دیفیوزر ( $Z_{Le}$ )

تعداد پره های دیفیوزر باید با توجه به تعداد پره ها (*impeller*) تعیین شود تا از از نیروهای هیدرولیکی بیش از حد و نوسانات فشار جلوگیری کند. هنگام انتخاب تعداد پره های دیفیوزر ضروری است که رابطه‌ی زیر ارضا شود:

$$m = |z_{Le} \times v_3 - z_{La} \times v_2| , \quad m \neq 0, m \neq 1$$

تعداد پره های دیفیوزر در کنار قطر خارجی و پهنه‌ی گلوبی آن، از عوامل موثر در تعیین هندسه و طول دیفیوزر هستند که خود عوامل تعیین کننده‌ی ای در کاهش اتلافات هیدرولیکی دیفیوزر می‌باشند. با توجه به قابلیت ریخته گری یا ماشینکاری، کanal های خیلی باریک نامطلوبند. به همین دلیل سه پارامتر تعداد پره های دیفیوزر، قطر خارجی و پهنه‌ی گلوبی آن مستقل از هم قابل تعیین نیستند.

تعداد پره های معمول مورد استفاده عبارتند از:

۱. برای سرعت مخصوص های حدود ۲۰ تا ۳۵ پره و ۱۲ پره ی دیفیوزر
۲. برای سرعت های مخصوص زیر ۲۰، ۵ پره و ۸ پره ی دیفیوزر

پارامترهایی مثل قطر خارجی پره و سرعت جانبی در آن نقطه نیز در تعیین این تعداد بی تاثیر نیستند. در مواردی با سرعت مخصوص خیلی بالا یا پمپ های بزرگ، گاهی ۱۵ پره نیز برای دیفیوزر انتخاب می‌شود. تعداد پره های دیفیوزر پیشنهادی با توجه به تعداد پره در جدول ۱ ارائه شده است.

جدول ۱

$Z_{La}$	5	6	7						
$Z_{Le}$	7	8	12	10	9	10	11	12	15
مواردی که با حروف درشت تر نوشته شده اند برای ارتعاشات کمتر مناسب تر هستند.									

در مواردی که ریسک رزونانس بین فرکانس ویژه‌ی پره و فرکانس تحریک وجود داشته باشد، از مواردی که طی آن  $m=2$  می‌شود نیز باید پرهیز کرد.

### • عرض ورودی ( $b_3$ )

عرض ورودی باید بزرگتر از عرض پره در خروجی انتخاب شود. نسبت این دو معمولاً در محدوده‌ی  $1/0.5$  تا  $1/0.3$  انتخاب می‌شود تا از افت های شوک ناشی متناسب نبودن کanal های پره و دیفیوزر جلوگیری شود.

انبساط حرارتی در پمپ های چند طبقه حائز اهمیت است. اگر نسبت  $\frac{b_3}{b_2}$  خیلی کوچک انتخاب شود، برای جلوگیری از اتلافات ناشی از شوک و نیروهای تحریک هیدرولیکی زیاد از پخ زدن (مطابق شکل ۵) استفاده می‌شود. اگر نسبت  $\frac{b_3}{b_2}$  خیلی بزرگ انتخاب

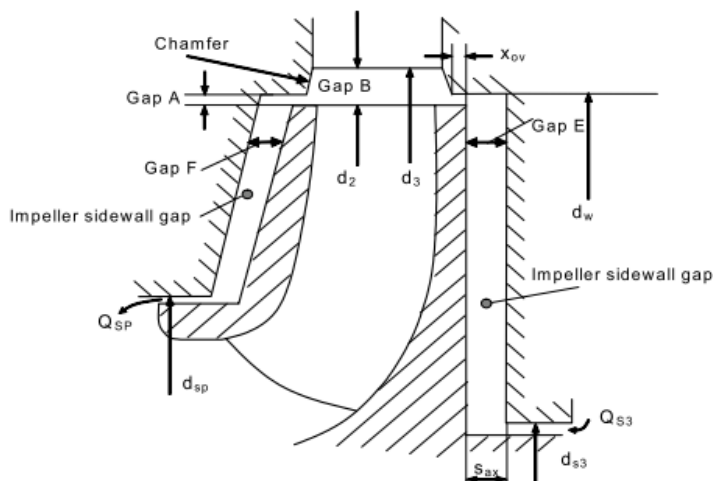
شود، بازگردش جریان و همچنین هد شات آف افزایش می یابد اگر نسبت  $\frac{b_3}{b_2}$  نزدیک به ۱ انتخاب شود، ریسک صاف بودن منحنی هد-دبی کاهش می یابد.

انتخاب عرض ورودی دیفیوزر بر روی همپوشانی<sup>۶۴</sup> شرود های پره و پره دیفیوزر نیز موثر است. توصیه می شود فاصله ی کناری پره از جریان اصلی دور باشد تا از تراست محوری هنگام ورود جریان بازگردش به فاصله ی کناری پره جلوگیری شود. فاصله ی بین شرود ها باید در رابطه ی  $r_2$  to  $0.007$  to  $0.01$  و همپوشانی باید در رابطه ی  $A$  to  $2$  to  $3 A$  در شکل ۵ است. صدق کند.

### • عرض گلوبی ( $a_3$ )

با عرض ورودی و تعداد پره دیفیوزر معلوم، عرض گلوبی تاثیر بسیاری در تعیین نقطه ی بهترین عملکرد را دارد. عرض گلوبی همچنین تاثیر فراوانی روی مقدار بازگردش جریان و همچنین هد شات آف دارد. رابطه ی زیر عرض گلوبی را به گونه ای تعیین می کند که قانون بقای ممنتوом ارضا شود:

$$a_3 = f_{a3} \frac{d_3}{2} \left( \exp \frac{2Q_{Le}}{Z_{Le} b_3 d_2 c_{2u}} - 1 \right)$$



شکل ۵

که در آن  $f_{a3}$  ضریب تصحیحی است که مقداری بین  $1/1$  تا  $1/3$  دارد. این ضریب به این معناست که مقدار کاهش سرعت جریان اعمال شده بزرگتر از مقداری است که توسط قانون بقای ممنتووم محاسبه می شود. اگر دبی جریان بیشتر از دبی بهینه باشد، مقدار ضریب تصحیح بزرگتر از ۱ نیز تقریباً مقدار خوبی است. برای پره های خیلی پهن و در سرعت مخصوص های پایین بعضی از موقعیت لازم است که ضریب تصحیح کوچکتر از ۱ انتخاب شود تا بهترین عملکرد به دست آید.

<sup>64</sup> overlap

روش جایگزین برای محاسبه‌ی عرض گلوبی دیفیوزر، استفاده از نسبت کاهش سرعت به جای قانون بقای ممنتوم است. نسبت کاهش سرعت با رابطه‌ی  $\frac{c_{3q}}{c_2}$  بیان می‌شود و در محدوده‌ی  $0/7 \text{ تا } 0/85$  باید انتخاب شود. با انتخاب نسبت کاهش سرعت، عرض گلوبی از رابطه‌ی زیر محاسبه می‌شود:

$$a_3 = \frac{Q_{Le}}{Z_{Le} b_3 \sqrt{c_{2m}^2 + c_{2u}^2}} \left( \frac{c_{3q}}{c_2} \right)$$

به دلیل تاثیر عرض گلوبی بر مشخصه‌های نیمه بار و اضافه بار، انتخاب ضریب تصحیح یا انتخاب نسبت کاهش سرعت یک مسئله‌ی بهینه سازی است که هیچ قانون کاربردی ای برای آن وجود ندارد. اگر سرعت جریان در گلوبی کاهش چشمگیری داشته باشد، در دبی خیلی زیاد استال رخ داده و منحنی هد-دبی ناپایدار می‌شود. از طرفی کاهش ناکافی سرعت در گلوبی به معنای اتلاف بازده است و در حالت نیمه بار می‌تواند منجر به جدایش جریان بعد از موعد شود که باعث صاف شدن منحنی هد-دبی است.

#### • قطر خارجی دیفیوزر ( $d_{Le}$ )

جهت کاهش هزینه‌ها، قطر خارجی دیفیوزر هر قدر کمتر باشد بهتر است. از طرفی مینیمم کردن اتلافات هیدرولیکی، نیازمند دیفیوزری با طول و فضای کافی جهت گردش جریان است. به همین دلیل برای انتخاب قطر خارجی دیفیوزر باید مصالحه‌ای بین هزینه‌ها و بازده انجام شود.

مقدار قطر خارجی مورد نیاز با افزایش دبی (یا به عبارت دیگر با افزایش سرعت مخصوص) افزایش می‌یابد. برای پمپ‌های چند طبقه رابطه‌ی زیر برقرار است:

$$d_{Le} = d_2 \times [(0.15 \text{ to } 1.15) + 0.01n_q]$$

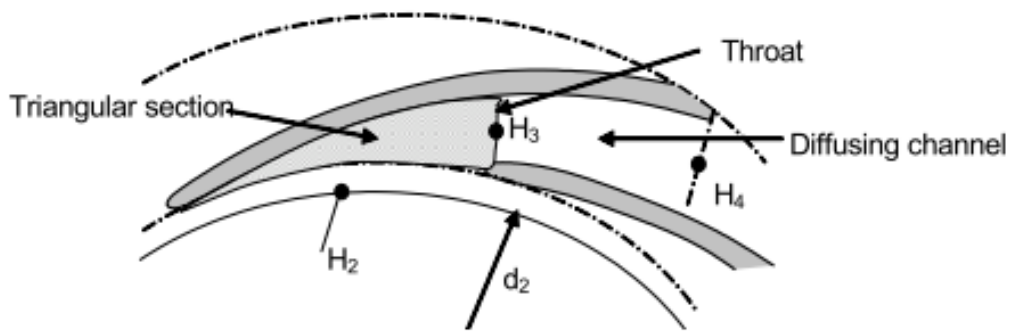
حد بالای رابطه‌ی فوق زمانی مورد استفاده قرار می‌گیرد که بازده ارجحیت بیشتری نسبت به سایز پمپ دارد. اگر دیفیوزر جریان را به حلزونی تخلیه می‌کند، می‌توان قطر خارجی آن را کوچکتر در نظر گرفت. همچنین چهت کاهش نیروی تراست شعاعی کanal‌های دیفیوزر باید همپوشانی کافی را داشته باشند.

#### • کanal پخش جریان

مطابق شکل ۶ در پایین دست گلوبی کanalی مشابه یک دیفیوزر هرمی وجود دارد. ماکزیمم زاویه‌ی مجاز دهانه‌ی دیفیوزر، بازیابی فشار و اتلافات با توجه به بند زیر تعیین می‌شوند.

با توجه به شکل ۷ برای دیفیوزر مورد نظر معادله‌ی برنولی نوشته می‌شود:

$$\frac{p_2 - p_1}{\frac{1}{2}\rho c_1^2} = 1 - \frac{c_2^2}{c_1^2} - \frac{\Delta p_{v,1-2}}{\frac{1}{2}\rho c_1^2} = 1 - \frac{1}{A_R^2} - \xi_{1-2}$$



شکل ۶

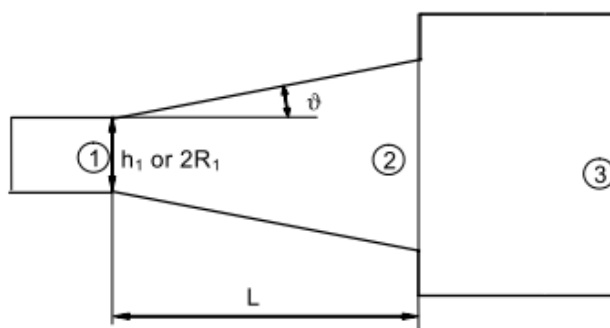
بازیابی فشار دیفیوزر معمولاً با ضریب  $c_p$  مشخص می‌شود:

$$c_p = \frac{p_2 - p_1}{\frac{1}{2} \rho c_1^2} = 1 - \frac{1}{A_R^2} - \xi_{1-2} = c_{p_{id}} - \xi_{1-2}$$

$c_{p_{id}}$  بازیابی فشار در حالت ایده‌آل (بدون اتلافات) است ولی در دیفیوزرهای واقعی مقداری اتلافات انرژی اجتناب ناپذیر وجود دارد که با رابطه‌ی  $\Delta p_{v,1-2} = \frac{1}{2} \rho \xi_{1-2} c_1^2$  محاسبه می‌شود. در شکل‌های ۸ و ۹ مقدار  $c_p$  به ترتیب برای دیفیوزر مسطح و کانونی ارائه شده است. در این نمودارها  $c_p^*$  مقدار نسبت مساحت‌های بهینه را برای طول دیفیوزر معلوم مشخص می‌کند و  $c_p^{**}$  طول بهینه را برای مساحت‌های معلوم مشخص می‌کند. دیفیوزرها معمولاً برای طول بهینه و در نسبت مساحت کوچکتر از ۳ طراحی می‌شوند.

در نتیجه‌ی موارد بیان شده، ضریب اتلافات بین سطوح مقطع ۱ و ۳ از رابطه‌ی زیر به دست می‌آید:

$$\xi_{1-3} = 1 - \frac{1}{A_R^2} - c_p(1 - \xi_{2-3})$$



شکل ۷

شایان ذکر است اگر فرض شود که تمامی انرژی خروجی دیفیوزر مفید است آنگاه  $\xi_{2-3}$  برابر صفر است.

بازده دیفیوزر از رابطه‌ی زیر محاسبه می‌شود:

$$\eta_D = \frac{c_p}{1 - \frac{1}{A_R^2}}$$

اکنون وقت آن است که کمی به دینامیک سیال در دیفیوزر پرداخته شود. ضخامت لایه‌ی مرزی ایجاد شده با پیشروی در مقابل گرادیان مثبت فشار در مسیر جریان افزایش می‌یابد. کاهش سرعت بیش از حد باعث جدایش جریان روی دیواره می‌شود. وابسته به مقدار کاهش سرعت  $4$  رژیم جریان در دیفیوزر وجود دارد:

۱. پایین تر از خط  $a-a$ : جریان پیوسته می‌ماند. (حالت  $A$  در شکل ۱۰ و ناحیه‌ی  $A$  در شکل ۱۱)
۲. اگر ضخامت لایه‌ی مرزی از مقدار مشخصی بیشتر شود، استال موضعی تناوی رخ می‌دهد. (حالت  $B$  در شکل ۱۰ و ناحیه‌ی  $B$  در شکل ۱۱)
۳. با کاهش بیشتر سرعت جدایش جریان به صورت کامل در یک طرف اتفاق می‌افتد. (حالت  $C$  در شکل ۱۰ و ناحیه‌ی  $C$  در شکل ۱۱)
۴. واگرایی بیش از حد دیواره‌های دیفیوزر باعث جدایش کامل جریان در هر دو طرف آن می‌شود و در نتیجه سیال مانند جت از دهانه‌ی دیفیوزر به بیرون پرتاب می‌شود. (حالت  $D$  در شکل ۱۰ و ناحیه‌ی  $D$  در شکل ۱۱)

زاویه‌ی پخش شدن مجذوبات است از:

$$\theta_{al} = 16.5^\circ \sqrt{\frac{R_1}{L}}$$

عبارت فوق در واقع بیانگر رابطه‌ی منحنی  $a-a$  در شکل ۱۱ است. شایان ذکر است که زاویه‌ی پخش شدن مجذوبات یک عدد ثابت نیست و بستگی به پارامترهای هندسی دیفیوزر (خصوصاً طول آن) دارد. اتفاقات دیفیوزر نیز از روابط زیر به دست می‌آید:

$$\xi_{Le} = \xi_{2-3} + \left(\frac{c_{3q}}{u_2}\right)^2 \left\{ 0.3 \left(\frac{c_2}{c_{3q}} - 1\right)^2 + 1 - c_p - \frac{1 - \xi_{0v}}{A_R^2} \right\}$$

$$\xi_{2-3} = (c_f + 0.0015)(a_3^* + b_3^*) \frac{\pi^3 (\varphi_2 b_2^*)^2}{8(Z_{Le} a_3^* b_3^*)^3} \left(1 + \frac{c_2}{c_{3q}}\right)^3$$

با انتخاب  $1 = \frac{b}{h_1}$  بیشترین میزان بازیابی فشار قبل دستیابی است. در غیر این صورت انتخاب این نسبت در بازه‌ی  $0.8 < \frac{b}{h_1} < 2$  نیز انتخابی مناسب است. برای دیفیوزر با سطح مقطع دلخواه، نسبت ورودی معادل و زاویه‌ی پخش شدن معادل به ترتیب از روابط زیر به دست می‌آید:

$$R_{1eq} = \sqrt{\frac{A_1}{\pi}}$$

$$\tan \theta_{eq} = \frac{R_{1eq}}{L} \left( \frac{A_2}{A_1} - 1 \right)$$

اگر دیفیوزر به صورت محوری گسترش یابد آنگاه  $\theta_a = \theta_b = \tan \theta_a = \frac{a_4 - a_3}{2L_{3-4}}$ . ولی دیفیوزرها معمولاً به صورت منحنی وار گسترش می‌یابند تا با طول بیشتر هم بازیابی فشار بیشتری را ممکن سازند و هم افت‌ها در قطر خارجی مشخص کاهش دهند. آزمایشات نشان می‌دهد که خمیدگی ۲۵ درجه، می‌توان نتایج مربوط به دیفیوزرها را به دیفیوزرها کاهش داد. البته استثنایی هم در این زمینه وجود دارد و آن هنگامی است که جریان ناپایا لایه‌ی مرزی نازک تری را منحنی تعمیم داد. پس از اینکه تمامی پارامترهای فوق تعیین شد و هندسه‌ی دیفیوزر نیز به دست آمد، ضوابط زیر باید مورد بررسی قرار گرفته و صحت آن تایید شود:

- بازیابی فشار بهینه برای دیفیوزری با طول  $L_{3-4}$  معلوم هنگامی به دست می‌آید که نسبت مساحت زیر برقرار باشد:

$$A_{R,opt} = 1.05 + 0.184 \frac{L_{3-4}}{R_{eq}}$$

که در آن:

$$R_{eq} = \sqrt{\frac{a_3 b_3}{\pi}}$$

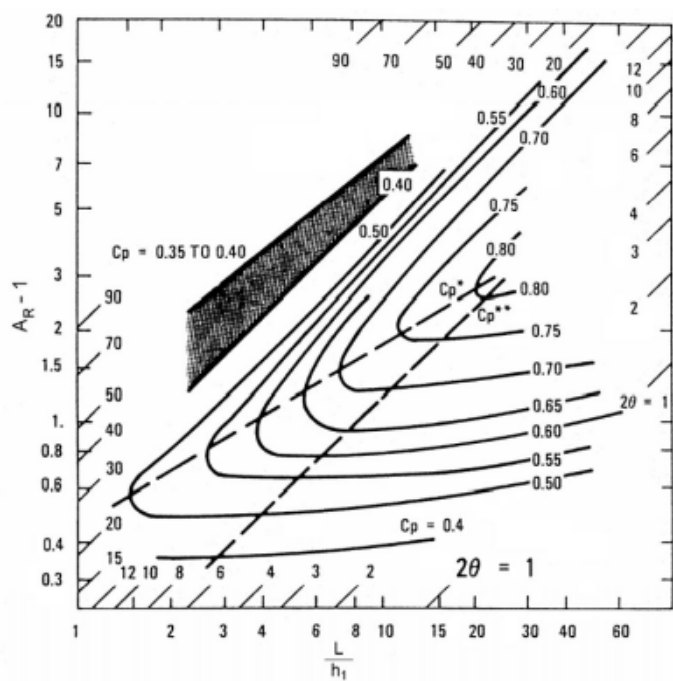
با این نسبت مساحت ضریب بازیابی فشار برابر است با:

$$c_{p,opt} = 0.36 \left( \frac{L_{3-4}}{R_{eq}} \right)^{0.26}$$

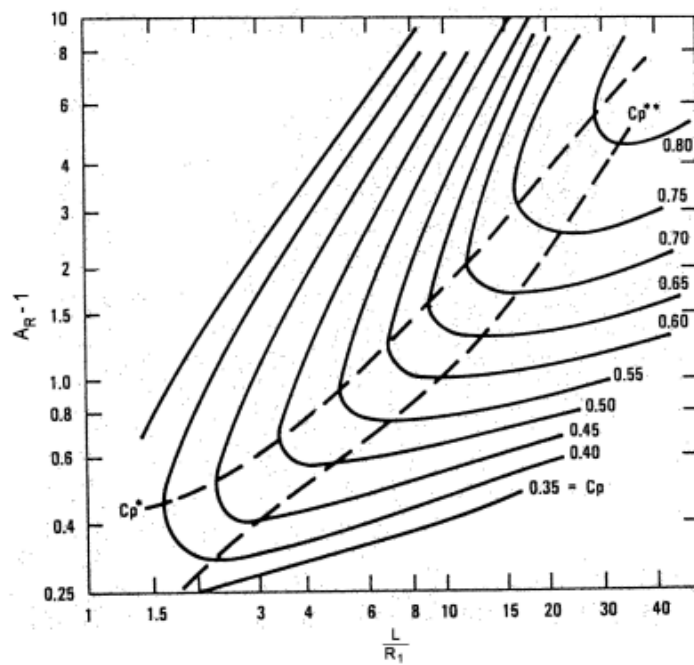
- نسبت کاهش سرعت باید در بازه‌ی زیر باشد:

$$0.7 < \frac{c_{3q}}{c_2} < 0.85$$

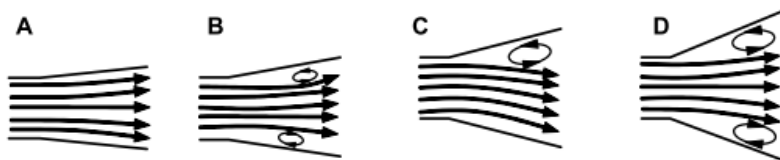
البته در مواردی که سرعت مخصوص کوچکتر از ۱۲ باشد، مقادیر بزرگتر نسبت کاهش سرعت نیز مجاز است.



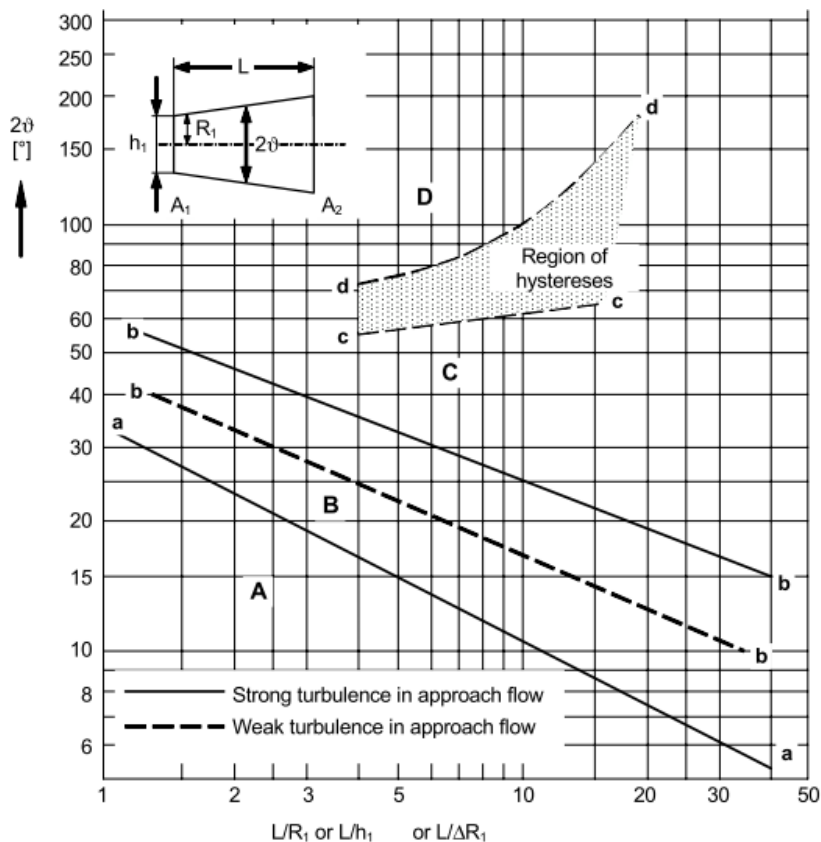
شکل ۸



شکل ۹



شکل ۱۰



شکل ۱۱

۳. نسبت طول به عرض گلویی در بازه‌ی زیر باشد:

$$2.5 < \frac{L_{3-4}}{a_3} < 6$$

۴. نسبت عرض ورودی به عرض گلویی باید در محدوده‌ی زیر باشد:

$$0.8 < \frac{b_3}{a_3} < 2$$

سطح مقاطع خیلی صاف چندان مطلوب نیستند ولی در بعضی مواقع در سرعت مخصوص پایین و پره‌ی عریض غیر قابل پرهیزند.

۵. مساحت خروجی کanal‌های پخش کننده ( $A_4$ ) برای پمپ‌های چند طبقه باید طوری طراحی شود که انرژی جنبشی در خروجی دیفسور در بازه‌ی زیر باشد:

$$0.02 < \frac{c_4^2}{2gH_{opt}} < 0.04$$

این امر سبب می شود که افت ها در جریان بالادست کاهش یابد. در کنار این ضابطه، ضابطه‌ی دیگری قرار دارد که طی آن نسبت سرعت خروجی به سرعت ورودی باید در بازه‌ی زیر باشد:

$$0.85 < \frac{c_4}{c_{1m}} < 1.25$$

#### • پره‌های بازگشت

سرعت جریان خروجی از پره‌های بازگشت ( $c_{6m}$ ) باید کمتر از سرعت ورودی به پره (*impeller*) بعدی ( $c_{1m}$ ) باشد تا جریان شتاب هموار و ملایمی داشته باشد. پس:

$$\frac{c_{6m}}{c_{1m}} = 0.85 \text{ to } 0.9$$

بنابراین عرض  $b_6$  از رابطه‌ی زیر محاسبه می شود:

$$b_6 = \frac{Q_{Le}}{\pi d_6 c_{6m}}$$

مسیر جریان بین کanal بازگشت و ورودی پره (*impeller*) باید جهت شتاب دهی پیوسته طراحی شود. به همین دلیل عرض ورودی پره‌های بازگشت ( $b_5$ ) می‌تواند مساوی با عرض خروجی آن در نظر گرفته شود. مولفه‌ی مریدیونال سرعت ورودی از رابطه‌ی زیر به دست می‌آید:

$$c_{5m} = \frac{Q_{Le}}{\pi d_5 b_5}$$

سرعت  $c_4$  با استفاده از مقادیر  $b_4$  و  $a_4$  از رابطه‌ی پیوستگی به دست می‌آید. روابط زیر برای محاسبه مولفه‌های سرعت در ورودی پره‌های بازگشت و همچنین زاویه‌ی خمش جریان در آن ناحیه به کار می‌روند:

$$c_{5u} = \frac{c_{4u} r_{4m}}{r_{5m}}$$

$$\alpha_5 = \tan^{-1} \frac{c_{5m}}{c_{5u}}$$

شایان ذکر است که برای دستیابی به زاویه‌ی جریان مطلوب در خروجی پره‌های بازگشت، مقداری اغراق در محاسبه لازم است. مثلاً اگر زاویه‌ی جریان  $90^\circ$  درجه لازم است، در محاسبات از زاویه‌ای بین  $94^\circ$  تا  $95^\circ$  درجه استفاده شود. همچنین اگر ایجاد جریان چرخشی برای پره‌ی بعدی مورد نظر طراح باشد، می‌توان از رابطه‌ی زیر استفاده کرد:

$$\alpha_6 = \sin^{-1} \frac{a_6}{t_6}$$

#### منابع و مراجع

- Centrifugal pumps, Johhan F.Gulich, Springer, Leipzig, 2007.

# شرکت آریا پژوهشی

آدرس دفتر مرکزی: تهران، میدان آرژانتین، خیابان الوند، کوچه برمک، پلاک ۴، طبقه ۲

تلفن: ۰۳۶۱۳۴۶۸۸۷۷-۰۵۷-۸۸۷۸۱۶۷۹

تلفکس: ۰۳۶۴۱۳۸۸

